

صلى الله عليه وسلم



دانشگاه شاهرود

دانشکده کشاورزی

گروه پژوهشی بیوتکنولوژی

پایان نامه کارشناسی ارشد

کلونینگ ژن $\Delta 15$ desaturase برای افزایش تولید اسید چرب آلفا لینولنیک اسید

در گیاهان (ALA, C18:3)

مرضیه حسنی

استاد راهنما:

دکتر شاهرخ قرنجیک

استاد مشاور:

دکتر حمیدرضا صمدلوئی

شهریور ۱۳۹۴

دانشگاه شاهرود

دانشکده : کشاورزی بسطام

گروه : پژوهشی بیوتکنولوژی

پایان نامه کارشناسی ارشد آقای / خانم مرضیه حسنی

تحت عنوان: کلونینگ ژن $\Delta 15\text{desaturase}$ برای افزایش تولید اسید چرب آلفا لینولنیک
اسید (ALA, C18:3) در گیاهان

در تاریخ توسط کمیته تخصصی زیر جهت اخذ مدرک کارشناسی ارشد
مورد ارزیابی و با درجه مورد پذیرش قرار گرفت.

امضاء	اساتید مشاور	امضاء	اساتید راهنما
	نام و نام خانوادگی : دکتر حمیدرضا صمدلوئی		نام و نام خانوادگی : دکتر شاهرخ قرنجیک

امضاء	نماینده تحصیلات تکمیلی	امضاء	اساتید داور
	نام و نام خانوادگی : مصطفی حیدری		نام و نام خانوادگی : دکتر ناصر فرخی
		نام و نام خانوادگی : دکتر مهدی رضایی	
		نام و نام خانوادگی :	
		نام و نام خانوادگی :	

تقدیم بہ

مقدس ترین واژہ مادر لغت نامہ دلم، مادر مہربانم کہ زندگیم را دیدیون مہر و عطوفت آن می دانم،

پدرم، بہ او کہ نمی دانم از بزرگی اش بگویم یا مردانگی سخاوت، سکوت، مہربانیش،

برادر و خواہرم بہر امان، ہمیشگی و پشتوانہ های زندگیم....

شکر و قدردانی

راز و رمز پویای علم و کشف معانی بدیع و تجلی جلوه های شهودی معرفت کیمیایی است که آسمان علم به برکت سیاه سیره ی نورانی نبی مکرم صلی الله علیه و آله و سلم، انسان در بند خاک را به معراج حضور می خواند. و چه خرم علمی که از چشمه ی معارف سیراب شود و چه زیادانشی که قبابی برینانش به عطر و بوی گلستان محمدی معطر شود و چه معماری باشکوهی، بنایی که سنگ همت و فزینگی آن ریشه دینیه انبی باشد. و امر و ترکح آباد علم به سرش معنوی و مفهوم پیام اویش از پیش محتاج راهنمایی است که علاوه بر حفظ آبادانی آن در راه اعتلای آن به فرزندان خویش محبت نماید.

از اساتید راهنما جناب آقای دکتر شاهرخ قرنجیک که همیشه مورد لطف و مرحمت ایشان بوده ام و اجرای این پیمان نامه بدون راهنمایی ها و مساعدت های ایشان میسر نبود و بدون شک رفقا ایشان چراغ راهنمای اینجانب در تمام مراحل زندگی خواهد بود شکر و سپاسگزاری می نمایم. از استاد مشاور جناب آقای دکتر حمید رضا صد لونی به خاطر کمک های فکری و راهنمایی های ارزنده ایشان قدردانی می نمایم.

از اساتید داور جناب دکتر ناصر فرخی و جناب دکتر مهدی رضایی که زحمت دآوری این رساله را متقبل شدند؛ همچنین جناب آقای دکتر مصطفی حیدری مانند تحصیلات تکمیلی کمال شکر و قدردانی را دارم. باشد که این خردترین، نجشی از زحمات آنان را پاس گوید.

از کلیه دوستان و دیگر عزیزانی که مراد انجام این پیمان نامه یاری نمودند نهایت شکر و قدردانی را دارم و با شکر خالصانه خدمت همه کسانی که به نوعی مراد به انجام رساندن این مهم یاری نموده اند.

تعهد نامه

اینجانب مرضیه حسنی دانشجوی دوره کارشناسی ارشد رشته بیوتکنولوژی گیاهی دانشکده کشاورزی دانشگاه شاهرود نویسنده پایان نامه کلونینگ ژن $\Delta 15\text{desaturase}$ برای افزایش تولید اسید چرب آلفا لینولنیک اسید (ALA; C18:3) در گیاهان تحت راهنمایی دکتر شاهرخ قرنجیک متعهد می شوم.

- تحقیقات در این پایان نامه توسط اینجانب انجام شده است و از صحت و اصالت برخوردار است.
- در استفاده از نتایج پژوهشهای محققان دیگر به مرجع مورد استفاده استناد شده است.
- مطالب مندرج در پایان نامه تاکنون توسط خود یا فرد دیگری برای دریافت هیچ نوع مدرک یا امتیازی در هیچ جا ارائه نشده است.
- کلیه حقوق معنوی این اثر متعلق به دانشگاه شاهرود می باشد و مقالات مستخرج با نام « دانشگاه شاهرود » و یا « Shahrood University of » به چاپ خواهد رسید.
- حقوق معنوی تمام افرادی که در به دست آمدن نتایج اصلی پایان نامه تأثیرگذار بوده اند در مقالات مستخرج از پایان نامه رعایت می گردد.
- در کلیه مراحل انجام این پایان نامه ، در مواردی که از موجود زنده (یا بافتهای آنها) استفاده شده است ضوابط و اصول اخلاقی رعایت شده است.
- در کلیه مراحل انجام این پایان نامه، در مواردی که به حوزه اطلاعات شخصی افراد دسترسی یافته یا استفاده شده است اصل رازداری ، ضوابط و اصول اخلاق انسانی رعایت شده است .

تاریخ

امضای دانشجو

مالکیت نتایج و حق نشر

- کلیه حقوق معنوی این اثر و محصولات آن (مقالات مستخرج، کتاب، برنامه های رایانه ای، نرم افزارها و تجهیزات ساخته شده است) متعلق به دانشگاه شاهرود می باشد. این مطلب باید به نحو مقتضی در تولیدات علمی مربوطه ذکر شود.
- استفاده از اطلاعات و نتایج موجود در پایان نامه بدون ذکر مرجع مجاز نمی باشد.

چکیده:

آلفالینولنیک اسید به عنوان یک اسید چرب اشباع نشده مهم متعلق به خانواده امگا۳ است که در انسان تولید نمی‌شود و از این رو باید به عنوان بخشی از رژیم غذایی برای حفظ سلامت انسان در نظر گرفته شود. منبع اصلی تامین این گروه از اسیدهای چرب ماهی‌ها می‌باشند که به دلیل وجود آلودگی‌های موجود در زیست بوم ماهیان، تولید گیاهان دانه روغنی با توانایی تولید اسید چرب امگا۳ بالا می‌تواند منبع ارزان و ارزشمندی را در اختیار قرار دهد. هدف از این مطالعه همسانه‌سازی ژن دلتا ۱۵ دسچوراز (*Δ15desaturase*) جهت انتقال به گیاهان روغنی به منظور افزایش محتوای آلفالینولنیک اسید به عنوان پیش‌ساز اسیدهای چرب غیر اشباع بلند زنجیر می‌باشد. بدین منظور جهت خالص‌سازی و تکثیر ژن دلتا ۱۵ دسچوراز ابتدا RNA کل از سلول‌های مخمر *پیکیا پاستوریس* استخراج و cDNA سنتز شد. ژن دلتا ۱۵ دسچوراز توسط انجام واکنش زنجیره‌ای پلیمرز با آغازگرهای اختصاصی تکثیر و در ناقل *pTZ57R/T* در باکتری *اشرشیا کولی* کلون شد. پس از انتخاب کلونی‌های رشد یافته بر روی محیط انتخابی حاوی آنتی‌بیوتیک آمپی‌سیلین و انجام کلونی PCR کلون‌های مثبت انتخاب شدند. هضم توسط آنزیم‌های برشی *XbaI* و *SacI* و توالی‌یابی قطعه کلون شده، وجود ژن در ناقل همسانه‌سازی تایید کرد. سپس این سازه ژنی در ناقل نوترکیب *pKS* حاوی پروموتور ناپین ویژه بذر کلون گردید. برش آنزیمی با آنزیم‌های *HindIII* و *SacI* انجام و قطعه‌ی ژن مورد نظر از ناقل جدا و درون ناقل *pBII21* قرار گرفت و سپس در باکتری *اشرشیا کولی* کلون گردید. کلون‌های رشد یافته در محیط انتخابی حاوی آنتی‌بیوتیک کانامایسین گزینش و یکپارچگی سازه حاوی ژن دلتا ۱۵ دسچوراز و پروموتور ناپین توسط انجام کلونی PCR تایید شد. پلاسمید نوترکیب حاصل به *اگروباکتریوم* انتقال داده شد. پس از هم‌کشتی با *اگروباکتریوم* جهت تراریزش گیاه توتون، رشد ریزنمونه‌های گیاه توتون در محیط انتخابی حاوی غلظت‌های مختلف کانامایسین و سفوتاکسیم

تراریختی آنها را تایید نمود. واکنش PCR تراریخت بودن گیاهان توتون را هم در سطح DNA تایید نمود.

کلمات کلیدی: آنزیم دلتا ۱۵ سچوراز، آلفالینولنیک اسید، مخمر پیکیاپاستوریس، پروموتر ناپین،

اسید چرب، انتقال ژن به گیاه توتون

لیست مقاله‌های مستخرج از پایان‌نامه

- ۱) کلونینگ ژن *Δ15desaturase* برای افزایش تولید اسید چرب آلفا لینولنیک اسید (ALA;)
در گیاهان، اولین همایش بین‌المللی و نهمین همایش ملی ایران، تهران، ۱۳۹۴/۳/۳
- ۲) بررسی ساختار پروتئینی ژن *Δ15Desaturase* استخراج شده از مخمر *Pichia pastoris*. دومین همایش ملی فناوری‌های نوین در کشاورزی و منابع طبیعی، رشت، ۱۳۹۴/۶/۴

فصل اول مقدمه و کلیات

- ۱-۱ بیوتکنولوژی گیاهی ۱
- ۲-۱ انتقال ژن ۱
- ۱-۲-۱ روش‌های انتقال ژن ۲
- ۳-۱ اسیدهای چرب ۴
- ۴-۱ اسیدهای چرب غیر اشباع ۸
- ۱-۴-۱ اسیدهای چرب امگا ۶ ۸
- ۲-۴-۱ اسیدهای چرب امگا ۳ ۸
- ۵-۱ اسیدهای چرب ضروری ۱۰
- ۶-۱ نقش بیولوژیکی اسیدهای چرب ۱۱
- ۷-۱ مسیر بیوسنتزی اسیدهای چرب ۱۵
- ۸-۱ مسیر بیوسنتزی اسیدهای چرب غیراشباع ۱۷
- ۹-۱ آنزیم‌های دسچوراز ۲۱
- ۱۰-۱ بیوسنتز اسیدهای چرب در مخمرها ۲۳
- ۱۱-۱ ضرورت انجام تحقیق ۲۵

فصل دوم مروری بر منابع

- ۱-۲ بازسازی مسیر بیوسنتزی اسیدهای چرب غیراشباع در مخمرها و گیاهان تراریخته ۳۰

۲-۲ تولید اسیدهای چرب غیر اشباع نو ترکیب در گیاهان تراریخته ۳۲

۳-۲ بررسی بیان ژن‌های دسچوراز در سطح RNA ۳۶

فصل سوم مواد و روش‌ها

۱-۳ مواد شیمیایی ۴۰

۲-۳ تجهیزات مورد استفاده ۴۰

۳-۳ میکروآرگانیزم‌ها ۴۱

۴-۳ ناقلین مورد استفاده ۴۱

۵-۳ طراحی آغازگرهای اختصاصی و داخلی ۴۴

۶-۳ کشت مخمر پیکیاپاستوریس ۴۵

۱-۶-۳ استخراج DNA ژنومی از پیکیاپاستوریس ۴۵

۷-۳ واکنش زنجیره‌ای پلیمرز جهت تکثیر ژن *Δ15de* ۴۷

۱-۷-۳ الگوی دمای واکنش زنجیره‌ای پلیمرز ۴۸

۸-۳ استخراج RNA ۴۸

۱-۸-۳ بررسی کمیت و کیفیت DNA و RNA استخراجی ۴۹

۲-۸-۳ الکتروفورز ژل آگاروز با دستگاه الکتروفورز افقی ۴۹

۳-۸-۳ تعیین کمیت و کیفیت RNA ۵۰

۹-۳ تیمار DNaseII برای حذف آلودگی DNA ۵۰

۱-۹-۳ سنتز cDNA ۵۰

۲-۹-۳ واکنش زنجیره‌ای پلیمرز جهت تکثیر ژن *Δ15de* دسچوراز از روی cDNA ۵۱

- ۳-۹-۳ انجام الکتروفورز با استفاده از ژل آگارز و جداسازی قطعه تکثیری از روی ژل ۵۱
- ۳-۱۰-۳ الحاق ژن $\Delta 15de$ به درون ناقل *PTZ57R/T* ۵۲
- ۳-۱۰-۳ تهیه سلول‌های مستعد در شرایط استریل ۵۳
- ۳-۱۰-۳ تراریختی سلول‌های مستعد باکتری *E.coli* ۵۳
- ۳-۱۰-۳ استخراج پلاسمید ۵۴
- ۳-۱۰-۴ هضم آنزیمی با آنزیم‌های برشی *SacI* و *XbaI* ۵۵
- ۳-۱۱-۳ الحاق ژن به درون ناقل *pBluescript II ks(+)* حاوی پرموتر *Napin* ۵۵
- ۳-۱۱-۱ اتصال سازه به ناقل *PKS* حاوی ژن *Napin* ۵۶
- ۳-۱۲-۳ آماده سازی ناقل گیاهی ۵۷
- ۳-۱۳-۳ انتقال کاست ژنی *Nap+ Δ15de* برش خورده به ناقل *pBI121* ۵۷
- ۳-۱۳-۱ انتقال سازه نوترکیب به باکتری *E.coli* ۵۹
- ۳-۱۳-۲ انتقال سازه نوترکیب به آگروباکتریوم ۵۹
- ۳-۱۴-۳ تهیه محیط کشت گیاهی MS ۶۱
- ۳-۱۴-۱ ضد عفونی و کشت توتون ۶۱
- ۳-۱۴-۲ تهیه ریزنمونه ۶۳
- ۳-۱۴-۳ تراریزش توتون با استفاده از آگروباکتریوم ۶۳
- ۳-۱۴-۴ استخراج DNA ژنومی از گیاهان تراریخته احتمالی ۶۵
- ۳-۱۴-۵ استخراج RNA ۶۵
- ۳-۱۴-۶ سنتز cDNA ۶۵

۷-۱۴-۳ انجام واکنش PCR برای DNA و cDNA گیاه تراریخت احتمالی حاوی سازه ژنی *Napin*

۶۵ + *Δ15de*

۶۶ *Δ15de* ژن بیوانفورماتیکی

فصل چهارم نتایج و بحث

۶۸ ۱-۴ بررسی نتایج استخراج DNA و RNA

۶۸ ۱-۱-۴ بررسی نتایج حضور ژن *Δ15de* در سچوراز از DNA استخراج شده

۶۹ ۲-۴ بررسی نتایج تکثیر ژن *Δ15de* با استفاده از cDNA سنتز شده

۷۰ ۳-۴ غربالگری کلون‌های حاوی سازه نو ترکیب *Δ15de* : *pTZ57R/T*

۷۱ ۱-۳-۴ تایید حضور ژن *Δ15de* در ناقل *pTZ57R/T* با انجام کلونی PCR

۷۱ ۲-۳-۴ تایید سازه از طریق توالی‌یابی

۷۳ ۴-۴ Exepasy translate

۷۳ ۱-۴-۴ ProtParam

۷۴ ۲-۴-۴ TMHMM

۷۵ ۳-۴-۴ SignalP

۷۶ ۵-۴ Psipreid

۷۸ ۱-۵-۴ Sopma

۷۹ ۶-۴ بررسی دومین ژن *Δ15de* به کمک سایت pfam

۸۱ ۱-۶-۴ بررسی درختچه فیلوژنتیکی

۸۳ ۲-۶-۴ نتیجه هضم آنزیمی *pTZ57R/T* با دو آنزیم *XbaI* و *SacI*

۷-۴	غربالگری کلون‌های حاوی سازه نو ترکیب <i>pKS:Napin + Δ15de</i>	۸۴
۱-۷-۴	تایید کلونی‌های نو ترکیب حاوی سازه ژنی <i>pks: Napin + Δ15de</i> با انجام کلونی PCR ...	۸۵
۱-۷-۴	تایید سازه از طریق هضم آنزیمی توسط دو آنزیم برشی <i>SacI</i> و <i>HindIII</i>	۸۶
۸-۴	غربالگری کلون‌های حاوی پلاسمیدهای نو ترکیب <i>pBI121</i> در باکتری <i>E.coli</i>	۸۷
۱-۸-۴	تایید کلون‌های <i>E.coli</i> حاوی پلاسمید نو ترکیب با انجام کلونی PCR	۸۸
۲-۸-۴	بررسی حضور سازه ژنی از طریق هضم آنزیمی با دو آنزیم <i>SacI</i> و <i>HindIII</i>	۸۸
۹-۴	غربالگری کلون‌های حاوی پلاسمیدهای نو ترکیب <i>pBI121: Napin+ Δ15de</i> در آگروباکتریوم	۸۹
۱-۹-۴	تایید کلون‌های آگروباکتریوم حاوی سازه مورد نظر با انجام کلونی PCR	۹۰
۱۰-۴	انتقال آگروباکتریوم حاوی سازه ژنی <i>pBI121: Napin+ Δ15de</i> به گیاه توتون	۹۱
۱۱-۴	تایید DNA و cDNA بدست آمده از توتون تراریخت احتمالی	۹۲
۱۲-۴	بحث و پیشنهادات	۹۳

فصل اول

مقدمه و کلیات

۱-۱ بیوتکنولوژی گیاهی

بیوتکنولوژی گیاهی فرآیند تولید گیاهانی با تغییرات ژنتیکی است که این تغییرات با استفاده از تکنولوژی DNA نو ترکیب انجام می‌شود. بیوتکنولوژی گیاهی به طور عمده شامل وارد کردن ژن‌های خارجی به گونه‌های گیاهی تجاری است که منجر به اصلاح محصولات زراعی و تولید فرآورده‌های جدید در این گیاهان می‌شود. امروزه، از بیوتکنولوژی به عنوان یک ابزار برای اعطای صفات جدیدی، که برای تولیدات کشاورزی، محیط زیست، تغذیه و سلامت بشر سودمند هستند، استفاده می‌شود. بیوتکنولوژی گیاهی به دو حوزه کشت بافت گیاهی و مهندسی ژنتیک گیاهی محدود می‌شود. یک محصول تراریخته حاوی ژن یا ژن‌هایی است که، به جای آنکه گیاه آن‌ها را از طریق گرده افشانی و تلاقی کسب کند، با استفاده از مهندسی ژنتیک به صورت مصنوعی دریافت می‌کند. توالی ژن داخل شده (که به آن ترانسژن گویند) می‌تواند از گیاه غیر خویشاوند دیگری و یا حتی گونه‌ای کاملاً متفاوت باشد. به عنوان مثال در ذرت تراریخته Bt، که آفت کش را خود تولید می‌کند، حاوی ژنی از باکتری *باسیلوس تورینجینسیس* است. گیاهان حاوی ترانسژن غالباً محصولات تغییر یافته ژنتیکی^۱ یا GM نامیده می‌شوند (۳).

۱-۲ انتقال ژن

انتقال ژن به سلول‌های گیاهی و کشت بافت امکان انتقال ژن‌های با صفات مطلوب به گیاهان میزبان را فراهم و باعث ایجاد گیاهان تراریخت با صفات بهبود یافته، شده است. این روش پتانسیل بسیار زیادی در بهبود ژنتیکی محصولات گیاهان مختلف با ادغام در برنامه‌های بیوتکنولوژی گیاهی و تولید و تکثیر آنها دارد. این تکنیک نقش امیدوارکننده‌ای برای معرفی صفات مهم زراعی مانند افزایش عملکرد، کیفیت بهتر و افزایش مقاومت در برابر آفات و بیماری‌ها را دارد.

1 - genetically modified (GM) crops

۱-۲-۱ روش‌های انتقال ژن

بسیاری از روش‌های مورد استفاده در بیوتکنولوژی گیاهی را می‌توان تحت عنوان کشت بافت گیاهی و مهندسی ژنتیک گیاهی دسته‌بندی نمود. یک مشکل کار با گیاهان این است که گیاهان دارای دیواره سلولی هستند و بنابراین باید راهی پیدا کرد تا پلاسمید نو ترکیب را از این مانع عبور داد. برخی از روش‌های مورد استفاده به این منظور عبارتند از: ریز تزریقی به سلول‌های منفرد، انتقال به روش بیولیستیک: که در این روش تفنگ ژنی یا بیولیستیک، که ترکیبی از علم بیولوژی و بالستیک می‌باشد، ذرات ریز میکروسکوپی از جنس طلا با ژن مورد نظر پوشانده می‌شوند و به کمک یک پالس هلیوم به داخل سلول گیاهی شلیک می‌گردند. در داخل سلول قطعه ژن از روی ذره جدا و به داخل ژنوم سلول تلفیق می‌گردد. الکتروپوراسیون سلول‌های رشد یافته بدون دیواره سلولی (پروتوپلاست): الکتروپوراسیون عبارت از مخلوط نمودن ژن دلخواه با پروتوپلاست‌های سلول گیاهی و سپس ایجاد منافذ ریزی در سلول به کمک پالس‌های الکتریکی، به طوریکه DNA بتواند از آنها عبور نموده و وارد سلول گردد. متعاقباً ژن مورد نظر به عنوان قسمتی از ژنوم گیاهی در آمده و سلول نیز قادر است منافذ را ترمیم نماید. امتزاج پروتوپلاست‌ها (کشت بافت گیاهی): کشت بافت گیاهی عبارت از کشت سلول‌ها یا بافت‌های گیاهی روی محیط غنی‌شده با فرمول‌های خاص می‌باشد. تحت شرایط مطلوب، هر سلول منفرد گیاهی می‌تواند به یک گیاه کامل باززایی شود. این پدیده امکان تولید سریع انبوهی از گیاهان کاملاً مشابه را فراهم می‌آورد. پروتوپلاست، یک سلول گیاهی بدون دیواره سلولزی است. پروتوپلاست‌ها قادرند با یکدیگر ترکیب شوند و حتی در گیاهانی که از لحاظ ژنتیکی ناسازگار هستند هیبریدهای سوماتیکی تولید نمایند. پروتوپلاست‌های هیبرید سپس از طریق کشت بافت به صورت گیاهان هیبرید کامل باززا می‌شوند. به عنوان مثال گیاه بوکوفلاور یک هیبرید سوماتیکی است که حاصل دو رگ‌گیری بین کلم بروکلی و کلم گل می‌باشد. روش دیسک برگ: سلول‌های گال طوقه دو ویژگی را کسب می‌کنند که سلول‌های عادی فاقد آن هستند. این دو خصوصیت یکی از توانایی رشد

در محیط‌های عاری از هورمون خارجی و دیگری تولید ترکیبات غیر عادی با اوپین‌ها می‌باشد. اوپین‌ها به عنوان منابع کربن و نیتروژن توسط باکتری مورد استفاده قرار می‌گیرند. به این ترتیب باکتری در محیط گال طوقه یک محیط غذایی مناسب را برای رشد ایجاد می‌کند. اساس مولکولی بیماری گال طوقه در سال ۱۹۷۴ با کشف یک پلاسمید ۲۰۰ کیلو بازی به نام پلاسمید T کشف گردید. حذف این پلاسمید سبب غیربیماریزا شدن باکتری و انتقال آن سبب بازگشت خاصیت بیماریزایی می‌گردد. این پلاسمید می‌تواند با کمک ژن‌های نشانگر مقاومت به آنتی‌بیوتیک و یا ژن‌های حامل ویژگی‌های زراعی مفید مانند تحمل به علف‌کش، مقاومت به ویروس‌ها و حشرات، ساخته شود. یک یافته مهم در مورد پلاسمید T این است که قطعه‌ای به طول ۱۳ کیلوباز از آن به داخل سلول پذیرنده منتقل می‌شود. انتقال این قطعه که T-DNA نامیده می‌شود به سلول‌های گیاهی مرحله کلیدی در استفاده از *آگروباکتریوم تومفاشینس*^۱ به عنوان عامل تراریختی مستقیم و دستورزی‌های ژنتیکی در گیاهان عالی می‌باشد. پلاسمید این باکتری به عنوان ابزاری ایده‌آل برای انتقال DNA عمل می‌کند. به طوریکه تاکنون شمار رو به افزایشی از گونه‌های گیاهی با استفاده از این گونه ناقلین پلاسمیدی به گونه‌ای موفقیت آمیز با ژن‌های خارجی تراریخت شده‌اند. این عمل غالباً از طریق کشت قطعات کوچک برگ در محیط حاوی *آگروباکتریوم*های دستورزی شده ژنتیکی انجام می‌شود. محدودیت اصلی این روش این است که *آگروباکتریوم* نمی‌تواند روی گیاهان تک‌لپه مثل ذرت عمل کند اما به راحتی قادر است گیاهان دولپه‌ای مانند گوجه‌فرنگی، سیب‌زمینی و سویا را آلوده سازد (۳).

۱-۲-۱ انتقال به کمک *آگروباکتریوم*

روش تراریختی مبتنی بر *آگروباکتریوم*^۲ شامل خلع سلاح باکتری قرار دادن ژن‌های جدید به

1 - *Agrobacterium tumefaciens*

2- *Agrobacterium*

داخل آن و استفاده از باکتری به منظور انتقال ژن‌های دلخواه به ژنوم گیاهی می‌باشد. آگروباکتریوم یک باکتری خاکزی است که از طریق انتقال بخشی از ماده ژنتیکی (DNA) خود به گیاهان میزبان سبب ایجاد بیماری گال طوقه می‌گردد. DNA انتقال یافته (که به آن T-DNA گفته می‌شود) به طور پایدار در ژنوم گیاه تلفیق می‌گردد. بیان ژن‌های موجود در این قطعه باعث تولید هورمون‌های گیاهی شده و در نهایت رشد توموری سلول‌ها را سبب می‌گردد. پس از کشف این پدیده، دانشمندان توانستند با خلع سلاح باکتری و قرار دادن ژن‌های جدید به داخل آن، از این باکتری برای انتقال بی‌خطر ژن‌های دلخواه به ژنوم گیاهان استفاده نمایند. انتقال ژن به واسطه‌ی آگروباکتریوم در مقایسه با روش‌های مکانیکی بمباران ذرات دارای مزیت‌های بسیاری است که از جمله آن‌ها انتقال یک قطعه DNA با توالی‌های مشخص در دو انتها، تعداد نسخه کم از تراژن و نیز امکان انتقال قطعات بزرگ DNA است. موفقیت این روش به نوع و سن بافت گیاهی برای آلودگی، نوع ناقل استفاده شده برای انتقال ژن، سویه‌ی آگروباکتریوم، مراحل و جزئیات عمل آلودگی به خصوص استفاده از ترکیب فنولی استوسرینگون وابسته است (۲۲). روش دیگر استفاده از آگروباکتریوم در انتقال ژن گیاهان، روش درون بوته^۱ است که بدین منظور از آگروباکتریوم در شرایط *in vivo* برای تلقیح بذور در حال جوانه‌زنی استفاده می‌شود و نیازی به کشت سلول‌ها و بافت‌های گیاهی وجود ندارد. با استفاده از روش *in planta* تنوع سوماکلونال به حداقل رسیده و به طور قابل توجهی در زمان، هزینه‌ها و مراحل طولانی کشت بافت صرفه‌جویی می‌شود (۲۴). این روش برای گیاهان تک لپه‌ای مانند برنج و گندم که از دیدگاه کشت بافت و باززایی سرسخت هستند بسیار مفید بوده و می‌تواند جایگزین روش کشت بافت شود. این روش در غلاتی مانند برنج، گندم و ذرت گزارش شده است (۸۲، ۸۱، ۷۶، ۷۰، ۲۲، ۱۹).

1 - in plant

۱-۳ اسیدهای چرب

در سال‌های اخیر با وجود نگرانی‌های مربوط به آلودگی در محیط زیست دریایی تحقیقات به سمت یک منبع پایدار و جایگزین مناسب برای اسیدهای چرب توسعه پیدا کرده است. به عنوان مثال یکسری از نتایج نشان می‌دهد که، در چندین دهه گذشته فعالیت بیوسنتزی بسیاری از ژن‌های کد کننده اسیدهای چرب غیر اشباع شناسایی و مشخص شده‌اند. این انتقال ژن اجازه بازسازی مسیر بیوسنتزی اسیدهای چرب غیر اشباع را در محصولات دانه روغنی داده است، و کمک به تولید گیاهان تراریخت مهندسی شده برای تولید و ذخیره‌سازی سطوحی از این اسیدهای چرب امگا ۳ غیر اشباع در دانه‌های روغنی نزدیک به سطوح تولیدی این اسیدهای چرب در موجودات دریایی بومی شده است (۱۲). اسیدهای چرب، هیدروکربن‌های با زنجیره بلند هستند که یک گروه کربوکسیل در ابتدای زنجیره آن‌ها قرار گرفته است و در اثر استری شدن گلیسرول‌ها ایجاد می‌شوند، که اجزای اصلی تشکیل دهنده روغن‌ها و چربی‌ها هستند. تقریباً اسیدهای چرب به طور کامل زنجیره‌ای خطی از اسیدهای کربوکسیلیک آلیفاتیک می‌باشند. اسیدهای چرب دارای دو پایانه می‌باشند، پایانه اسید کربوکسیلیک (-COOH) که در ابتدای زنجیره قرار دارد و آلفا نامیده می‌شود و پایانه متیل (CH₃)، که در دم آلیفاتیک در نظر گرفته شده و بنابراین به آن امگا گویند. در نامگذاری اسیدچرب محل اولین پیوند دوگانه تعیین می‌کند که شمارش از انتهای متیل، که همان پایانه امگا یا پایانه N است صورت پذیرد. در بیوشیمی، یک اسید چرب کربوکسیلیک با دم بلند آلیفاتیک (زنجیره)، اشباع^۱ یا غیراشباع^۲ است. به طور طبیعی اسیدهای چرب یک زنجیره از ۱۲ کربن تا ۲۸ کربن (C₁₂-C₂₈) تشکیل شده‌اند. اسیدهای چرب معمولاً از تری‌گلیسریدها یا فسفولیپیدها مشتق می‌شوند. وقتی که به مولکول‌های دیگر متصل نباشند، به عنوان اسیدهای چرب آزاد شناخته می‌شوند. اسیدهای چرب از منابع مهم انرژی محسوب می‌شوند، بدلیل اینکه وقتی متابولیزه می‌شوند، بیشترین مقدار محصول

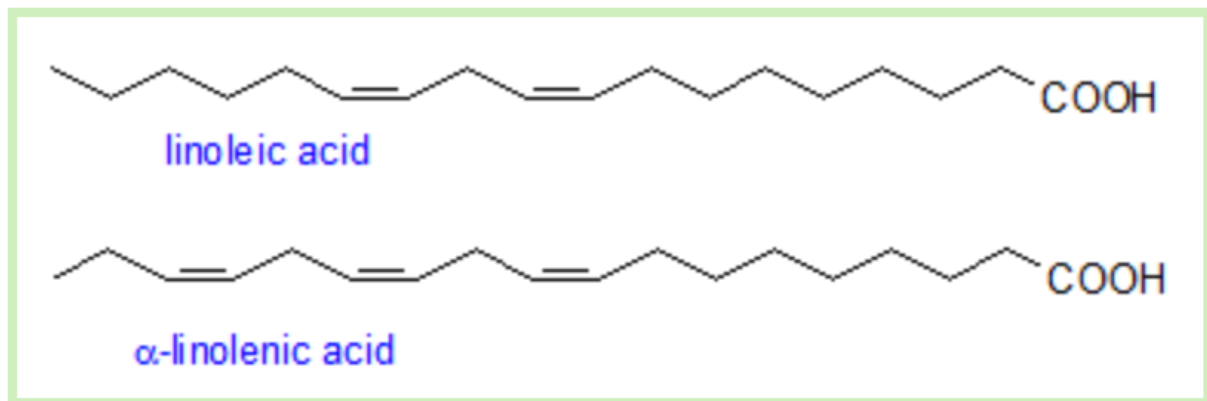
1 - Saturation

2 - Unsaturated

تولیدیشان^۱ ATP است (۴۶). اسیدهای چربی که دارای پیوندهای دوگانه کربن - کربن هستند به عنوان اسیدهای چرب غیراشباع^۲ شناخته شده‌اند. اسیدهای چرب بدون پیوند دوگانه را اسیدهای چرب اشباع^۳ می‌نامند. این دو نوع اسید چرب همچنین از نظر طول زنجیره اسید چرب نیز متفاوت هستند. اسیدهای چرب از نظر طول زنجیره به چند دسته تقسیم می‌شوند که عبارتند از: اسیدهای چرب با زنجیره کوتاه^۴ (SCFA) اسیدهای چربی هستند که دم آلیفاتیک آن‌ها از ۶ کربن تشکیل شده است. اسیدهای چرب با طول زنجیره متوسط^۵ (MCFA) اسیدهای چربی که دارای زنجیره‌ای با ۶-۱۲ کربن هستند. اسیدهای چرب با زنجیره بلند^۶ (LCFA) دم آلیفاتیک این گروه از ۱۳-۲۱ کربن تشکیل شده است و اسیدهای چرب با طول زنجیره بسیار بلند^۷ (VLCFA) این اسیدهای چرب با دنباله‌های آلیفاتیک بلندتر از ۲۲ کربن هستند. در نامگذاری سیستماتیک اسیدهای چرب غیر اشباع پس از ذکر تعداد کربن و تعداد پیوند دوگانه پسوند *-enoic acid* اضافه می‌گردد. با استفاده از سیستم دلتا (Δ) محل پیوندهای دوگانه را نیز می‌توان مشخص کرد. برای اینکار ابتدا کربن‌های اسید چرب از طرف کربن گروه کربوکسیل شماره گذاری می‌گردند. سپس محل پیوندهای دوگانه مشخص می‌گردد. از این جمله می‌توان به دو خانواده اصلی اسیدهای چرب اشباع نشده لینولئیک اسید^۸ ((C18:2)) و آلفالینولئیک اسید^۹ (*Cis*- $\Delta^9, \Delta^{12}, \Delta^{15}$ -octadecatrienoic) و (*Cis*- Δ^9, Δ^{12} , -octadecadienoicacid) در طبیعت اشاره نمود (شکل (۱-۱)) (۴۶). بسیاری از اسیدهای چرب طبیعی دارای ۱۸ کربن می‌باشند. اکثر محصولات روغنی حاوی اسیدهای چرب با طول زنجیره‌ای ما بین C₁₆ و C₂₂ می‌باشند. در اکثر روغن‌های گیاهی غالباً اسیدهای چرب C₁₈ دیده می‌شوند. هسته خرما و نارگیل، منابع اسیدهای

-
- 1 - Adenosine triphosphate (ATP)
 - 2 - Polyunsaturated fatty acids (PUFA)
 - 3 - Saturated fatty acids (SFA)
 - 4 - Short chain fatty acids (SCFA)
 - 5 - Medium chain fatty acids (MCFA)
 - 6 - Long-chain fatty acids (LCFA)
 - 7 - Very long chain fatty acids (VLCFA)
 - 8 - Linoleic acid (LA)
 - 9 - Alpha-linolenic acid (ALA)

چرب با زنجیره متوسط هستند، که روغن موجود در آن‌ها بصورت اسید لوریک^۱ می‌باشد. در گیاهان عالی، تعداد پیوندهای دوگانه در اسیدهای چرب به ندرت به بیش از سه پیوند می‌رسد، اما در جلبک‌ها و حیوانات می‌تواند تا شش پیوند برسد.



شکل ۱-۱ ساختار آلیفاتیک اسید لینولنیک و آلفا لینولنیک اسید، و محل قرار گیری پیوندهای دوگانه در طول زنجیره اسید چرب (<http://www.gbhealthwatch.com>)

چربی‌های حیوانی دارای طیف وسیعی از اسیدهای چرب بلند زنجیر هستند. همانند انواع مختلفی از اسیدهای اوریک‌ها، به عنوان مثال گونه‌های مختلف شلغم روغنی، غنی از C₂₂ مونونوئیک اسید است. پتانسیل محصولات روغنی جدید که با غیر اشباعیت غیر معمول و یا عملکردهای فراوان در حال توسعه هستند. امروزه مجموعه‌ای از ترکیبات اسیدهای چرب موجود در روغن‌ها و چربی‌ها و اسیدهای چرب عمومی و نادر در دسترس می‌باشد (۲۳،۳۱). منابع طبیعی چربی‌ها شامل گیاهان، حیوانات و میکروارگانیسم‌ها هستند. روغن گیاهان (به عنوان مثال، روغن زیتون، روغن آفتابگردان) و حیوانات (مانند کره، گوشت گاو) همیشه در زندگی انسان بعنوان تامین کننده منابع متعدد برای متابولیسم دخیل می‌باشند. بیشترین کاربرد این اسیدهای چرب در تغذیه می‌باشد ولی به عنوان مواد اولیه در فرایندهای صنعتی نیز کاربرد دارند (۶،۱). در حال حاضر روغن‌های گیاهی، اکثر روغن‌ها و چربی‌های مصرفی در جهان را به طور طبیعی به خود اختصاص داده‌اند. طبق گزارش فاو در حدود ۱۵۰ میلیون تن از روغن‌های گیاهی سالانه مصرف می‌شود و این تعداد در آینده افزایش می‌یابد.

1 - Lauric acid

روغن‌های گیاهی نسبتاً کم هزینه بوده و معمولاً سالم‌تر از چربی‌های حیوانی به عنوان حاوی مقادیر نسبتاً بالایی از اسیدهای چرب غیر اشباع در نظر گرفته می‌شوند (۵،۶). بنابراین، ارزش تغذیه‌ای اسیدهای چرب غیر اشباع در حال حاضر به طور گسترده‌ای مورد توجه قرار گرفته است.

۴-۱ اسیدهای چرب غیر اشباع

اسیدهای چرب غیر اشباع (PUFA) اسیدهای چربی هستند که در طول زنجیره خود حداقل دارای یک پیوند دوگانه هستند. این اسیدهای چرب به دو نوع اسید چرب غیر اشباع تقسیم می‌شوند که عبارتند از: اسیدهای چرب تک غیر اشباعی^۱ که دارای یک پیوند دوگانه هستند و چند غیر اشباعی^۲ که بیش از یک پیوند دوگانه دارند. اسیدهای چرب چند غیر اشباعی خود به دو دسته اسیدهای چرب امگا^۳ و اسیدهای چرب امگا^۴ تقسیم می‌شوند (۵،۶).

۱-۴-۱ اسیدهای چرب امگا ۶

اسیدهای چرب امگا ۶ (به نام‌های ω6 اسید چرب یا n-6 اسید چرب) که یک پیوند دوگانه کربن - کربن در موقعیت انتهایی n-6، متصل به ششمین کربن دارند که از پایانه متیل شمارش می‌شود. اسید لینولئیک (18:2, n-6) یک اسید چرب امگا ۶ با کوتاهترین زنجیر و یکی از اسیدهای چرب بسیار ضروری است، و جزء اسیدهای چرب ضروری که بدن انسان قادر به سنتز آن نیست طبقه بندی می‌شود. سلول‌های پستانداران فاقد آنزیم امگا ۳ دسچوراز^۵ هستند، بنابراین قادر به تبدیل اسیدهای چرب امگا ۶ به اسیدهای چرب امگا ۳ نمی‌باشند. امگا ۶ پیش‌سازهای ایندوکانابینوئیدها، لیپوکسین‌ها و ایکوزانوئیدهای خاصی هستند. بزرگترین منابع امگا ۶، تخم مرغ، ماکیان، سبزیجات، روغن ذرت و آفتابگردان هستند (۵،۶).

1 - Monounsaturated fatty acids
2 - Polyunsaturated fatty acids (PUFA)
3 - ω3
4 - ω6
5 - ω3 desaturase

۱-۴-۲ اسیدهای چرب امگا ۳

اسیدهای چرب امگا ۳ (به نام‌های $\omega 3$ اسید چرب یا n-3 اسیدچرب) اسیدهای چرب چند غیراشباعی هستند که دارای یک پیوند دوگانه ($C=C$) در سومین اتم کربن انتهایی از زنجیره کربنی هستند. اسیدهای چرب امگا ۳ به صورت فزاینده‌ای به عنوان بخش مهمی از رژیم غذایی جهت سلامت و پیشگیری از بیماری به کار گرفته می‌شوند. شمار فزاینده‌ای از مواد غذایی که معمولاً منبع اسیدهای چرب امگا ۳ به شمار نمی‌روند (مانند محصولات لبنی و نان) را می‌توان با مقادیر کمی از این اسیدهای چرب، غنی کرد. جستجو در مورد مکانیسم‌های مولکولی و سلولی تاثیر اسیدهای چرب امگا ۳ بر روی سلامت و بیماری حاکی از آنند که این چربی‌های موجود در رژیم غذایی، فرآیندهای متعددی را تنظیم می‌نمایند، از آن جمله می‌توان نمو مغز و شبکه چشم، واکنش‌های التهابی را نام برد. سه نوع از اسیدهای چرب امگا ۳ مهمی که در فیزیولوژی انسان نقش مهمی دارند عبارتند از: آلفالیونولیک اسید (ALA) (موجود در گیاهان)، ایکوزاپنتانوئیک اسید (EPA)^۱ و دوکوزاهگزانوئیک اسید (DHA)^۲ (موجود در روغن‌های دریایی مانند ماهی). جلبک‌های دریایی و فیتوپلانکتون‌ها از منابع اولیه اسیدهای چرب امگا ۳ هستند. روغن‌های گیاهی از بیشترین منابع تولید کننده اسیدهای چرب امگا ۳ بویژه آلفالیونولیک اسید هستند که از آن جمله می‌توان به گردو، دانه‌های خوراکی، روغن بذر کتان، کلزا و شاهدانه اشاره نمود. روغن ماهی و تخم مرغ از منابع جانوری هستند که دارای اسیدهای چرب امگا ۳ ایکوزاپنتانوئیک اسید (EPA) و دوکوزاهگزانوئیک اسید (DHA) می‌باشند (۵۶).

۱-۵ اسیدهای چرب ضروری

در سال ۱۹۶۳ هانسن و همکاران برای اولین بار نشان دادند که در رژیم غذایی جوامع بشری نیاز به اسیدهای چرب اشباع نشده (PUFA) خاصی است، که اسیدهای چرب ضروری (FAS) نام

1 - Eicosapentaenoic acid (EPA)

2 - Docosahexaenoic acid (DHA)

گرفتند (۷۷، ۸۷). اصطلاح اسیدهای چرب ضروری^۱ اشاره به یک نوع خاصی از اسیدهای چرب اشباع نشده دارد که فرد برای سلامت خود باید آن‌ها را مصرف کند، اسید لینولئیک (LA) (ω6) و آلفا لینولنیک اسید (ω3) اسیدهای چرب ضروری هستند که بدن انسان قادر به سنتز آن‌ها نمی‌باشد و باید آن‌ها را از طریق رژیم غذایی خود بدست آورد (۴۲). همچنین می‌توان به آراشیدونیک اسید (ARA)^۲ (ω6) و دوکوزاهگزانوئیک اسید (ω3) اشاره کرد که جزء اسیدهای چرب ضروری شناخته شده محسوب می‌شوند که در رشد بافت مغز و بویژه در رشد و توسعه شبکه عصبی و عملکرد شبکه چشم در نوزادان دخالت دارند (۲۶، ۴۲). در ۱۵۰ سال اخیر، تغییراتی در میزان نسبت امگا ۶ به امگا ۳ در فرآورده‌های غذایی ایجاد شده است. که تا حدی ژنتیک انسان‌ها تحت تاثیر این تغییرات و در پاسخ به این رژیم غذایی بوده است. در طی تکامل، تقریباً اسیدهای چرب امگا در تمامی غذاهای مصرفی از جمله گوشت، گیاهان، تخم مرغ، ماهی، انواع آجیل و مغزها وجود داشته است. بسیاری از مطالعات اپیدمیولوژیک و آزمایش‌های بالینی رابطه بین مصرف اسیدهای چرب ضروری امگا ۳ و اثرات سودمندی در بیماری‌های مختلف نشان داده‌اند: از آن جمله می‌توان به اختلالات قلبی و عروقی، سرطان‌های مختلف، آسم، بیماری التهابی روده، پوکی استخوان را اشاره نمود. جنبه مهم و مورد بحث که در تمام این بیماری‌ها بیشتر مشاهده شد ارتباط بین مصرف امگا ۶ و امگا ۳ بوده است. چون اسیدهای چرب امگا-۳ تقریباً منحصراً در بافت آبزیان و بالطبع در روغن ماهی یافت می‌شوند، جهت تامین نیازهای ضروری روزمره هر فرد یا باید در هفته بین ۳ تا ۶ وعده ماهی دریایی تازه مصرف کند و یا از فرآورده‌های خوراکی حاوی روغن ماهی که دارای اسیدهای چرب امگا ۳ بهره جست (۱). سر دسته اسیدهای چرب غیر اشباع امگا ۳، ایکوزاپنتانوئیک اسید (EPA) و دوکوزاهگزانوئیک اسید (DHA) هستند. EPA برای ساخته شدن پروستا گلاندین‌ها، کنترل فعالیت‌های عروقی، کنترل فرآیندهای التهابی و کنترل فرایندهای انعقاد خون ضروری است و DHA با شرکت در ساختار شبکه چشم، بافت خاکستری مغز و سیستم تولید مثل باعث عملکرد صحیح آنها می‌شود، همانطور که

1 - Essential fatty acids

2 - Arachidonic acid (ARA)

کمبود آن به اختلالات عملکرد رایج ارگان‌های یاد شده می‌انجامد. در جوامع صنعتی عصر حاضر، رژیم غذایی مردم سرشار از اسیدهای چرب امگا۶ (روغن‌ها و چربی‌های گیاهی) و متأسفانه فاقد اسیدهای چرب امگا۳ ارزیابی شده است. در یک بررسی که در کشور کانادا انجام شده، هر فرد کانادایی حداکثر فقط ۲۰٪ نیاز واقعی روزانه به ترکیبات امگا۳ را از رژیم غذایی خود دریافت می‌کند یعنی در واقع امگا۳ برای هر فرد روزانه ۷۵۰-۶۵۰ میلی‌گرم برآورد گردیده است. توصیه می‌شود این ناهنجاری تغذیه‌ای با استفاده منظم از فراورده‌های خوراکی حاوی ماهی، روغن ماهی و یا آبزیان سردابی ترمیم شود. با توجه به نسبت تاثیر امگا۳ به امگا۶، یک نسبت مناسب و متعادل بین امگا۶ و اسیدهای چرب ضروری امگا۳ برای پیشگیری و درمان بیماری‌های قلبی و عروقی باید در نظر گرفت که بسیار مهم است. برای پیشگیری از بیماری‌های قلبی و عروقی، نسبت ۱:۱ امگا۳ به امگا۶ با کاهش ۷۰٪ در کل مرگ و میرها در ارتباط است (۸۱، ۸۰). برای آنکه بدن ما بتواند از امگا۳ و امگا۶ موجود در مواد غذایی، مشتقات مورد نیاز خود را بسازد بایستی آن دو ماده را به نسبت متعادل با یکدیگر دریافت کند. نسبت ایده‌آل امگا۶ به امگا۳ می‌بایست ۱:۱ و حداکثر ۴:۱ ω6:ω3 باشد، اما متأسفانه این مقدار در افراد جامعه ۱۱:۱ تا ۳۰:۱ است یعنی مصرف امگا۶ در اغلب موارد سی برابر بیش از امگا۳ است. بنابراین، می‌توان گفت که PUFAها اسیدهای چرب ضروری هستند که برای حفظ سلامتی و همچنین برای رشد و عملکرد طبیعی بدن انسان ضروری هستند (۶).

۱-۶ نقش بیولوژیکی اسیدهای چرب

در طول زمان تغییراتی در رژیم غذایی رخ داده است که باعث تغییر در نوع چربی مصرفی و افزایش مصرف چربی‌های اشباع شده به خصوص مصرف چربی‌های حیوانی و کاهش مصرف چربی‌های غیراشباع (روغن‌های گیاهی و دریایی) شده است (۷، ۹۹). ممکن است این تغییر در ترکیب رژیم غذایی تاثیر زیادی در ترکیب اسیدهای چرب بافت‌های انسانی داشته و متابولیسم بدن و سلامت آن را تحت تاثیر قرار دهد (۱۰). لیپیدها (روغن و اسیدهای چرب) برای رشد و بقای تمام موجودات ضروری

هستند. آنها اجزای مهم ساختار غشاء هستند و همچنین نقش حیاتی در ذخیره‌سازی انرژی و سیگنالینگ دارند. علاوه بر این، اسیدهای چرب اشباع نشده می‌توانند به عنوان پیش‌سازهای سوخت و ساز بدن برای عملکردهای ایکوزانوئیدها عمل کنند. گنجاندن روغن بذر کتان یا روغن ماهی در رژیم غذایی منجر به کاهش سنتز ایکوزانوئیدهای پیش‌التهابی در بیماری‌های التهابی می‌شود. اسیدهای چرب نقش‌های متعددی در زندگی و سلامت انسان و حیوانات دارند. مهمترین آن‌ها، اسیدهای چرب ضروری هستند که بخشی از لیپیدها بوده و یکی از سه جزء اصلی ماده بیولوژیکی (به همراه پروتئین‌ها و کربوهیدرات‌ها) را تشکیل می‌دهند (۱۱). اسیدهای چرب سوبستراهای مهمی برای تامین انرژی هستند که ۳۰٪ از کل انرژی مصرفی در انسان را تامین می‌کنند. مقادیر اضافی اسیدهای چرب می‌توانند در بافت‌های چربی ذخیره شوند، به ویژه هنگامی که مصرف غذاهای حاوی چربی و کالری بالا افزایش پیدا می‌کند که باعث ایجاد چاقی می‌شود. در بافت‌های حیوانی و گیاهی، فراوانترین اسیدهای چرب که دارای تعداد اتم‌های کربن ۱۶ و ۱۸ هستند یعنی پالمیتیک‌ها، شامل استئاریک، اولئیک و لینولئیک است. اسیدهای چرب در موجودات به زنجیره‌ای با طول ۱۲-۲۴ کربن، با ۶-۱ پیوند دوگانه می‌رسند. با این حال، اسیدهای چرب با زنجیره‌ای با طول کوتاه‌تر از ۱۴ و بیشتر از ۲۲ کربن در حال حاضر تنها در غلظت‌های جزئی شناسایی شده‌اند. حدوداً نیمی از اسیدهای چرب گیاهان و حیوانات غیر اشباع و شامل ۶-۱ پیوند دوگانه هستند. در جانوران آنزیم دسچورازی^۱ که روی کربن شماره ۹ پیوند دوگانه ایجاد کند وجود دارد و دسچورازهای دیگر پیوندهای دوگانه بعدی را همیشه بین پیوند دوگانه اولی و عامل اسیدی ایجاد می‌کنند. در جانوران و انسان دسچورازی (112 and 115-desaturase) که بتواند بین کربن ۱۰ و کربن انتهایی پیوند دوگانه ایجاد کند وجود ندارد، در حالی که چنین آنزیم‌هایی در گیاهان و میکروارگانیسم‌های مانند قارچ‌ها و مخمرها، و ریزجلبک‌ها وجود دارند. بنابراین اسیدهای چرب لینولئیک اسید که یک پیوند دوگانه روی کربن ۹ و پیوند دوگانه دیگری روی کربن ۱۲ دارد و آلفالینولئیک اسید که دارای پیوند دوگانه روی کربن‌های ۱۵، ۱۲، ۹،

1- Desaturase

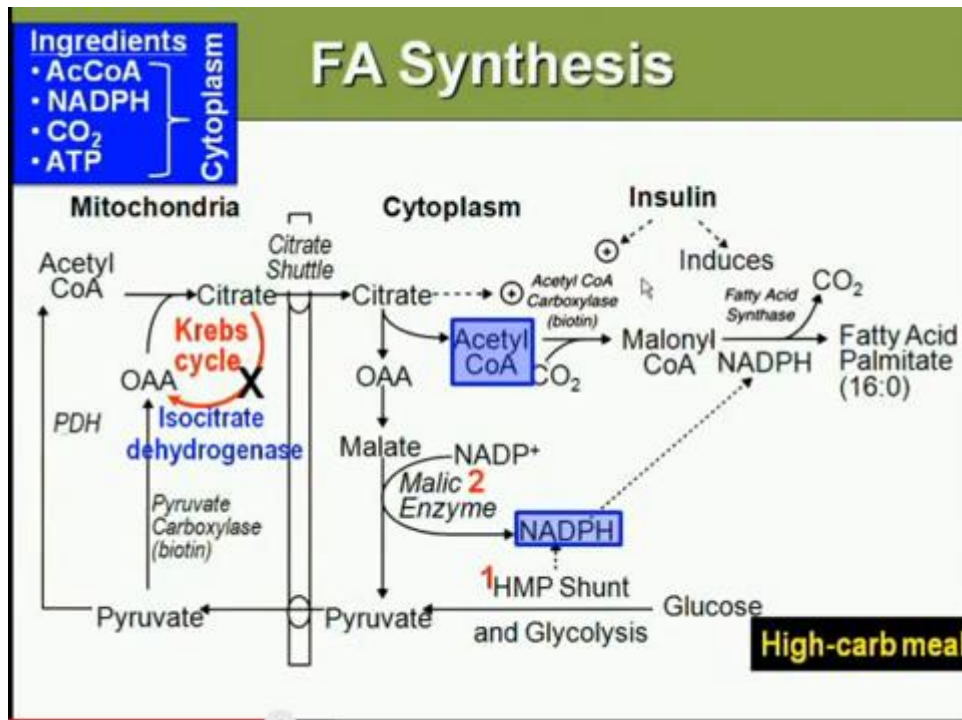
است در انسان ساخته نمی‌شوند. به همین دلیل لینولئیک (LA; 18:2 n-6) آلفالیونولیک اسید (ALA; 18:3n-3) باید از طریق غذا تامین شوند و به همین دلیل به آنها اسیدهای چرب ضروری می‌گویند. طویل سازی و غیر اشباع سازی این اسیدهای چرب (ALA, LA) باعث تولید PUFA های بلند زنجیر، از جمله ایکوزاپنتانوئیک اسید (EPA; 20:5n-3) اسید دوکوزاهگزانوئیک (DHA; 22:6n-3) و اسید آراشیدونیک (AA; 20:4n-6)، که ممکن است در انسان بسیار موثر باشند. بنابراین، این اسیدهای چرب ممکن است با توجه به شرایط مورد نیاز در متابولیسم بدن به اسیدهای چرب ضروری تقسیم شوند. منابع غنی PUFA روغن ماهی و گوشت ماهی‌های پر چرب است (۲۵). اسیدهای چرب می‌توانند با توجه به ساختار شیمیایی، نقش فیزیولوژیکی و اثرات بیولوژیکی متفاوتی داشته باشند: از نظر شیمیایی، لیپیدها استرهای اسید چرب آلی با الکل- اسیدچرب، گلیسرول و اسفنگوزین‌ها هستند. چربی‌ها در گردش خون بشکل لیپوپروتئین، که از استرهای کلسترول، تری گلیسرول‌ها و فسفولیپیدها تشکیل شده‌اند، حضور دارند. اسیدهای چرب غیر استریفیه به آلبومین پلازما متصل هستند. اسیدهای چرب موجود در قالب فسفولیپیدها (عمدتا فسفاتیدیل کولین، فسفاتیدیل اتانول آمین، *N*-اسفنگومیلین)، بخش اصلی همه غشاها را تشکیل می‌دهند و برای سیالیت و عملکرد غشاء ضروری هستند. کل چربی‌ها و همچنین، میزان مصرف انواع چربی‌ها میزان تاثیر آن‌ها بر سلامت را تعیین می‌کنند (۲۵). در مورد اسیدهای چرب اشباع، می‌توان گفت که این نوع اسیدهای چرب به سرعت جذب می‌شوند، و اسید استیک و اسیدهای پروپیونیک که جزء این گروه هستند تا حد زیادی توسط گردش خون در سیاهرگ‌ها جذب می‌شوند و به کبد منتقل و اسید پروپیونیک به گلوکز و اسید استیک به اسید چرب تبدیل می‌شوند. این فرآیند می‌تواند ۱۰ تا ۲۰٪ از مصرف انرژی بدن انسان در حال استراحت را پوشش دهد. نکته مهم، بوتریک و تا حدی اسیدهای پروپیونیک می‌باشند که در متابولیسم، تکثیر و ترمیم (تکثیر سلولی) استفاده می‌شوند. این اسیدهای چرب عمدتاً در روغن نارگیل، روغن هسته خرما و کره کاکائو (درخت کاکائو) وجود دارند. از منابع حیوانی کره و چربی

گوشت گاو حاوی اسیدهای چرب اشباع هستند. امروزه از نظر علمی ثابت شده است که سطح و ترکیب کلسترول سرم در بروز آترواسکلروز و نهایتاً بیماریهای پیشرفته و حملات قلبی موثر است و از سوی دیگر غلظت و ترکیب کلسترول سرم از طریق تغییر در نوع و مقدار چربی مصرفی در رژیم غذایی قابل اصلاح است. نتایج تحقیقات علمی حاکی از آن است که اسیدهای چرب اشباع با تعداد اتم کربن کمتر از ۱۲ و نیز اسید استئاریک با ۱۸ اتم کربن هیچ تاثیری در تغییرات کلسترول خون ندارند. در مقابل، اسید مریستیک با ۱۴ اتم کربن بیشترین تاثیر را در افزایش لیپوپروتئین‌ها با چگالی بالا^۱ (LDL) و کاهش لیپوپروتئین با چگالی پایین^۲ (HDL) دارد که در نتیجه کلسترول هم افزایش می‌یابد و پس از آن به ترتیب اسید لوریک با ۱۲ اتم کربن و اسید پالمیتیک با ۱۶ اتم کربن اثراتی مشابه اسید مریستیک دارند. در نتیجه، مواد غذایی حاوی روغن‌های مریستیکی و لوریکی (روغن نارگیل و هسته پالم) باید بسیار مضر باشند (۴۶). اصلی‌ترین گروه‌های اسیدهای چرب غیراشباع در رژیم غذایی شامل گروه امگا ۶ (LA) و امگا ۳ (ALA, DHA, EPA) است به دلیل عدم توانایی بدن در سنتز آن‌ها، روزانه باید در مقادیر لازم به بدن برسند. کمبود این چربی‌ها عوارض بسیار جدی از جمله علائم پوستی، عصبی، گوارشی، عملکردی و مغزی را به دنبال دارد. اسیدهای چرب ضروری غیر اشباع (PUFA) اثرات ضد انعقادی و ضد باکتریایی دارند. تاثیر آنها بر غلظت لیپوپروتئین، سیالیت غشاء، عملکرد آنزیم‌های غشائی و رسپتورها (گیرنده‌های غشائی)، تنظیم تولید ایکوزانوئیدها، تنظیم فشار خون و متابولیسم مواد معدنی موثر هستند. اسیدهای چرب امگا ۳ مانند ایکوزاپنتانویک اسید و دوکوزا پنتانویک اسید عمدتاً در انسان از منابع خارجی تامین می‌شوند. همچنین خواص منحصر به فرد این اسیدهای چرب نقش مهمی در مکانیزم انتقال سیگنال‌ها بازی می‌کند، احتمالاً توسط تنظیم سیگنالینگ پروتئین G. به عنوان لیگاند برای تکثیر گیرنده‌های پراکسی‌زوم فعالیت می‌کند، تعدادی از اسیدهای چرب غیراشباع امگا ۳ اثرات پلیوتروپی بر روی متابولیسم چربی و انرژی دارند (۵۴).

1 - Low- density lipoproteins
2 - Hig- density lipoproteins

۷-۱ مسیر بیوسنتزی اسیدهای چرب

در هنگام تغذیه بخشی از گلوکز و اسیدهای آمینه اضافی رژیم غذایی به اسیدهای چرب تبدیل می‌شوند. این اسیدهای چرب و اسیدهای چرب رژیم غذایی، در بافت چربی و سایر بافت‌ها به صورت گلیسیرید ذخیره می‌شوند. در هنگام ناشتا اسیدهای چرب از محل ذخیره آزاد شده و بسیاری از بافت‌ها به جای استفاده از گلوکز، آنها را مورد مصرف قرار می‌دهند. سنتز اسیدهای چرب، با استفاده از ملکول‌های استیل حاصل از تجزیه جزئی گلوکز و اسیدهای آمینه، در کبد و به مقدار کمتر در بافت‌های چربی صورت می‌گیرد. اسیدهای چرب در گردش خون به وسیله ی سلول‌ها برداشته شده و در میتوکندری با تولید NADH و FADH₂ به استیل کوآ می‌شکنند. سپس این ۳ محصول در ماتریکس میتوکندری برای تولید انرژی از طریق چرخه‌ی تری کربوکسیلیک اسید و فسفوریلاسیون اکسیداتیو استفاده می‌شوند. استفاده از اسیدهای چرب برای تولید انرژی به طور قابل توجهی از بافتی به بافت دیگر متفاوت بوده و به طور قابل توجهی به حالت متابولیکی مثل سیری و ناشتا بستگی دارد. قبلاً تصور می‌شد که سنتز اسیدهای چرب (لیپوزنز) صرفاً به صورت معکوس واکنش‌های اکسیداسیون در داخل میتوکندری‌هاست، امروز مشخص شده که یک سیستم بسیار فعال خارج میتوکندری برای سنتز کامل پالمیتات از استیل کوآنزیم A در سیتوزول صورت می‌گیرد (شکل ۱-۲). سیستم دیگری برای تولید زنجیره‌ی اسیدهای چرب نیز در شبکه‌ی آندوپلاسمیک کبد وجود دارد.

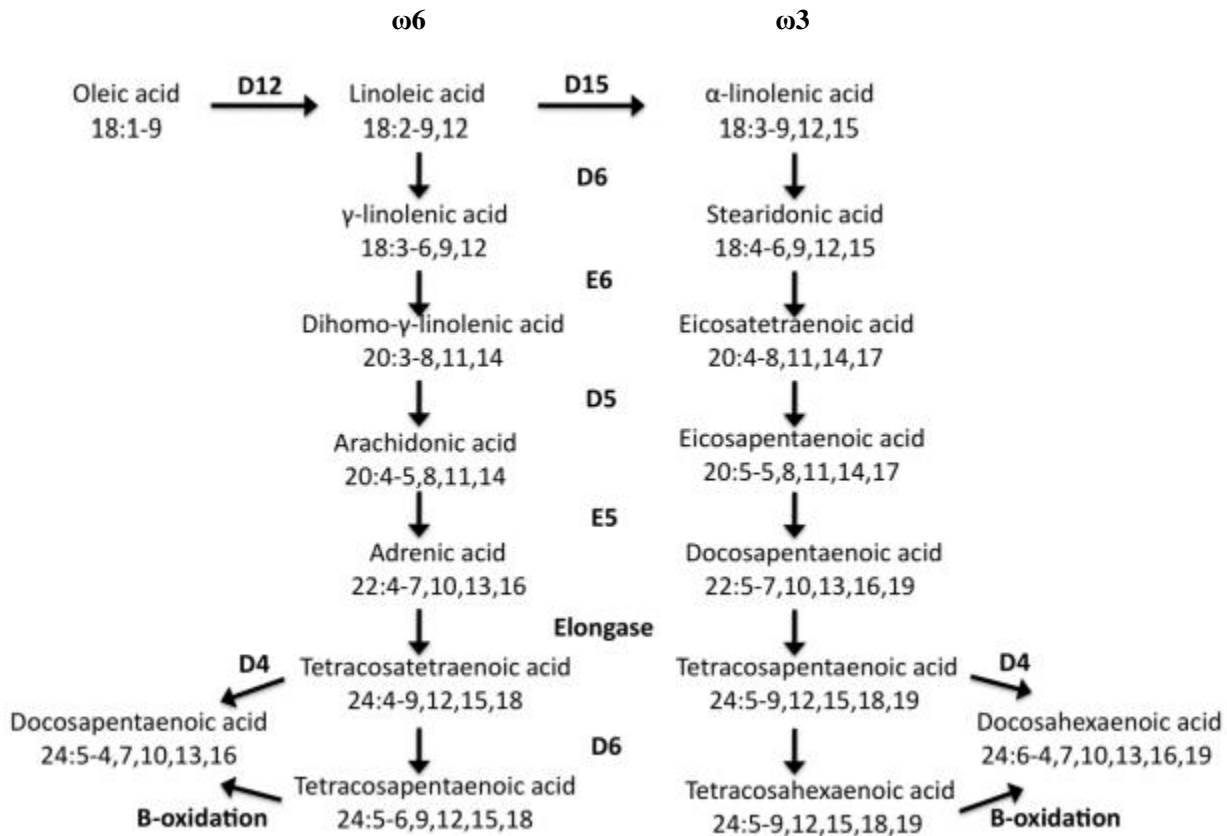


شکل ۲-۱ مسیر بیوسنتزی اسید چرب در سلول ، (https://www.studyblue.com)

کمپلکس آنزیمی اسید چرب سنتاز واکنش‌های مربوط به سنتز اسیدهای چرب را کاتالیز می‌کند. با وجودی که تقریباً در تمامی موجودات واکنش‌های سنتز اسیدهای چرب یکسان هستند، اما این کمپلکس آنزیمی در گیاهان در مناطق دیگری صورت می‌گیرد. محل اصلی تولید اسید چرب در گیاهان پلاستید سلول‌های گیاهی تشخیص داده شده است. این پلاستیدها در بافت‌های فتوسنتز کلروپلاست و در بافت‌های غیر فتوسنتزی لوکوپلاست و یا آمیلوپلاست می‌باشد. در سال‌های اخیر گزارش‌هایی مبنی بر تولید اسید چرب در داخل میتوکندری منتشر شده است، اما میزان فعالیت میتوکندری در این جهت نسبت به فعالیت پلاستیدها بسیار کم و ناچیز برآورد شده است.

۸-۱ مسیر بیوسنتزی اسیدهای چرب غیر اشباع

اصطلاح مسیر بیوسنتزی اسیدهای چرب غیر اشباع (ω3/ω6) اشاره به مجموعه‌ای از ژن‌های دارد که اگر تحت شرایط مناسب بیان شوند، آنزیم‌های کاتالیز کننده یک یا هر دو اسید چرب امگا ۳ و امگا ۶ را تولید می‌کنند (۲۵). به طور معمول ژن‌های دخیل در کدگذاری مسیر بیوسنتزی اسیدهای چرب، برخی یا همه آنزیم‌های زیر می‌باشند: $\Delta 12$ desaturase, $\Delta 15$ desaturase, $\Delta 6$ desaturase, $\Delta 5$ desaturase, *elongase*, $\Delta 17$ desaturase, $\Delta 9$ desaturase, $\Delta 8$ desaturase, $\Delta 4$ desaturase. یک نمونه از مسیر تولیدی (شکل ۱-۳) برای تولید دوکوزاهگزانوئیک اسید از طریق واسطه‌های مختلف که با تبدیل اسید اولئیک به لینولنیک اسید شروع می‌شود، نشان داده شده است که چگونه هر دو اسید چرب امگا ۳ و امگا ۶ ممکن است از یک منبع مشترک تولید شوند (۲۵). مسیرهای بیوسنتزی که منتهی به شکل‌گیری EPA و DHA می‌شوند، در طی چند سال اخیر مورد بررسی قرار گرفته‌اند. پیش‌سازهای مورد نیاز برای بیوسنتز این اسیدهای چرب لینولنیک اسید و آلفالینولنیک اسید می‌باشند، که نمی‌توانند در پستانداران سنتز شوند و از این رو تامین آنها از طریق رژیم غذایی ضروری است.

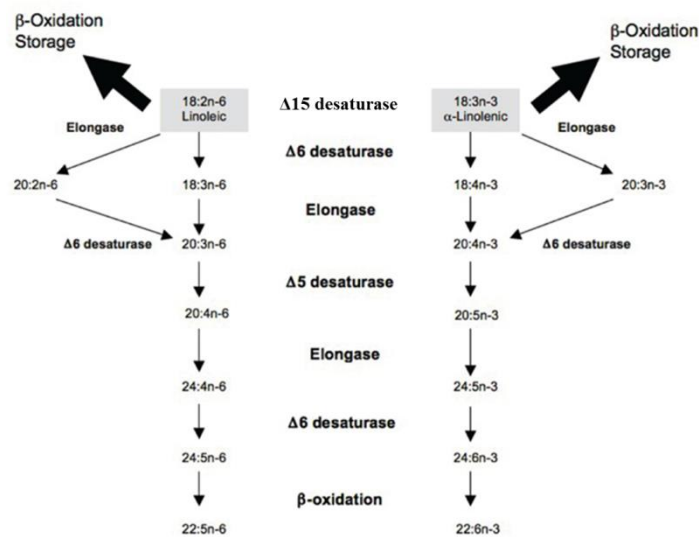


شکل ۳-۳ مسیر بیوسنتزی امگا۶ و امگا۳ برای تولید اسیدهای چرب غیراشباع (PUFA)

تولید اولیه PUFAها می‌تواند در محیط زیست دریاها مانند ریز جلبک‌های فتوسنتزی، آغازیان هتروتروف و باکتری‌ها رخ دهد. سنتز مجدد PUFAها در جلبکها تا حد زیادی از طریق یک مسیر هوازی شامل اضافه شدن متوالی پیوندهای دوگانه به زنجیره اسیدهای چرب اشباع انجام می‌شود. به طور عمده اسیدهای چرب ۱۸ کربنه (۱۸:۰) و همچنین (۱۶:۰)، از طریق دلتا۹ و دلتا۱۲ (ω6) دسچورازها اسیدهای چرب امگا۶ ۱۸:۲ (لینولئیک اسید) را تولید می‌کنند، که پس از آن در مراحل

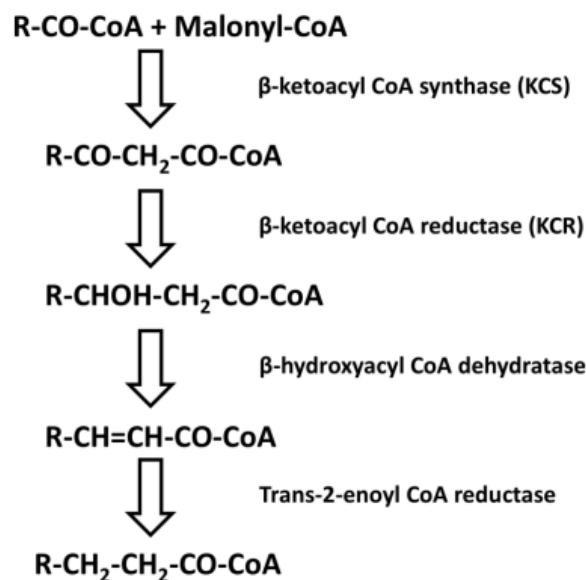
بعدی غیر اشباع سازی می‌توان به کمک دلتا ۱۵ یا ($\omega 3$) دسچوراز تولید ۱۸:۳ n-3 (آلفالینولنیک اسید) کرد. یک توالی از دسچورازها در ابتدا و انتهای مسیر بیوسنتزی قرار دارند که پیوندهای دوگانه را ما بین پیوند دلتا ۹ و پایانه کربوکسیل اضافه می‌کنند و با طویل سازی آلفالینولنیک اسید آن را تبدیل به ایکوزاپنتانوئیک اسید و دوکوزاهگزانوئیک اسید می‌کنند. به طور معمول این توالی در ادامه شامل آنزیم‌های دلتا ۶ دسچوراز، الانگاز، دلتا ۵ دسچوراز، الانگاز، دلتا ۴ دسچوراز است، اما در برخی از گونه‌ها مرحله اول طویل سازی می‌تواند تا اسیده‌های چرب ۲۰:۳ n-3 کربنه افزایش پیدا کند و پس از آن توسط دلتا ۱۸ غیر اشباع سازی انجام شود، و آن گونه که نشان داده شده است عدم اشباع سازی n-3 ۲۰:۴۶ کربنه توسط دلتا ۱۷ تولید ایکوزاپنتانوئیک اسید می‌کند. با این حال برخی از PUFAها مانند ۱۸:۵ n-3 کربنه و ۱۶:۴ n-3 کربنه در برخی از جلبک‌ها فراوان است. در سال‌های اخیر، که PUFAها یافت شده است در هر دو پروکاریوت‌ها و یوکاریوت‌ها به طور کاملاً جدید از طریق مسیر بی‌هوازی شامل پلی‌کتید سنتتازها می‌توانند سنتز شوند (۱۴). گیاهان عالی بزرگترین منبع از این اسیده‌های چرب‌اند، بیوسنتز این اسیده‌های چرب در پلاستیدهای گیاهان انجام می‌گیرد. به طور گسترده‌ای تصور می‌شود که این اندامک‌ها از همزیستی باکتری‌های فتوسنتزی سرچشمه می‌گیرند و از این رو متابولیسم اسیده‌های چرب در گیاهان شباهت زیادی با باکتری‌ها دارد (۷۴). مجموعه‌ای از واکنش‌های تکرار شونده که استیل با بخشی از آسیل کوآ ترکیب می‌شود، که نتیجه آن زنجیره‌هایی با طول‌های ۱۶ یا ۱۸ کربنی هست. آنزیم‌های دخیل در سنتز آن‌ها استیل کوآ کربوکسیلاز و اسیدچرب سنتتازها هستند. استتاریک اسید، یک اسید چرب اشباع ۱۸ کربنی است، که به اسید اولئیک تبدیل می‌شود، که یک اسید چرب تک غیر اشباعی است. دلتا ۱۲ دسچوراز اسید اولئیک را به لینولئیک اسید تبدیل می‌کند و پس از آن دلتا ۱۵ دسچوراز آن را به آلفالینولنیک تبدیل می‌کند. این مسیر عموماً هوازی است، که بیشترین عملکرد آن در ارگانسیم‌های یوکاریوتی (سنتز PUFA) صورت می‌پذیرد.

مسیر دیگر، که شناخته شده است به طور گسترده به عنوان یک مسیر مستقل از دلتا ۴ دسچوراز است (شکل ۱-۴). این مسیر شامل دو سیکل متوالی طولی سازی زنجیره دو کربنه با تولید اسیدهای چرب $\Delta^{7,10,13,16,19}$ 24:5 که به دنبال آن به بوسیله دلتا ۶ دسچوراز و یک سیکل کوتاه شدگی دو کربنه از طریق بتا اکسیداسیون در پراکسی زوم باعث تولید DHA می شود (۸۱).



شکل ۱-۴ مسیر بیوسنتزی اسید چرب DHA بدون حضور آنزیم دلتا ۴ دسچوراز (http://www.frontiersin.org)

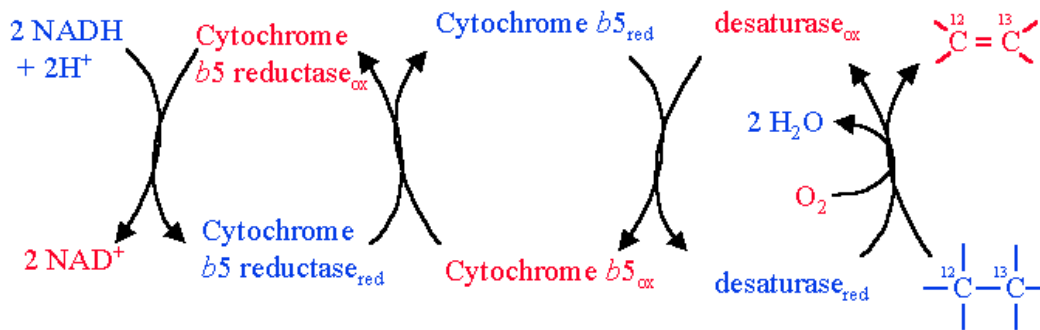
به نظر می رسد مسیر جایگزین برای بیوسنتز اسیدهای چرب غیر اشباع ۲۰ کربنه (C20 PUFAs) در موجودات دلتا ۶ دسچوراز باشد، که فعالیت می کند. در آغازیان، *Tetrahymena*، *pyriformis*، *Euglena gracilis* و *Acanthamoeba sps.* سنتز PUFAs توسط این مکانیسم صورت می پذیرد. به تازگی، یکی دیگر از مسیرها برای DHA مسیر بیوسنتزی بی هوازی پلی کتید سنتتاز گزارش شده است (شکل ۱-۵) که در برخی از باکتری های دریایی و یوکاریوت های اولیه مانند *Schizochytrium*، عضوی از آغازیان *Thr austochtriidae* رخ می دهد.



شکل ۵-۱ مسیر بیوسنتزی پلی کتید جهت تولید اسید چرب در برخی از آغازیان و باکتری‌ها

۹-۱ آنزیم‌های دسچوراز

دسچورازها آنزیم‌های حاوی آهن هستند که یک پیوند دوگانه را به زنجیره اسیدهای چرب بلند زنجیر می‌افزایند. آنها یک پیوند دوگانه را در یک موقعیت ثابت به پایانه کربونیل اسیدهای چرب به صورت هوازی اضافه می‌کنند. این واکنش نیاز به مولکول اکسیژن، NADH، یک سیستم انتقال الکترون NADPH فرودوکسن ردوکتاز و فرودکسین، یا سیتوکروم b5 ردوکتاز و سیتوکروم b5 و یک پایانه دسچورازی دارد. تمام دسچورازها، آسیل دسچورازهای حاوی یک دومین با پایانه N در سیتوکروم b5 هستند، که به عنوان دهنده الکترون به دسچورازها عمل می‌کنند (شکل ۱-۶) (۷۷).



شکل (۶-۱) مسیر تامین الکترون برای آنزیم‌های دسچوراز جهت آغاز فعالیت غیراشباع‌سازی اسیدهای چرب (<http://www.uky.edu>)

آنزیم‌های دسچوراز به دو گروه محلول و متصل به غشاء تقسیم می‌شوند. دسچورازهای متصل به غشاء به دو زیر گروه تقسیم می‌شوند: Acyl-Fatty desaturase و Acyl-CoA desaturase. گروه اول در شبکه آندوپلاسمی (ER) و پلاستید گیاهی حضور دارند. دسچورازهای آسیل چرب در سیانوباکتری‌ها و پلاستید گیاهان می‌توانند غیراشباع‌سازی استئاریک و اولئیک گروه‌های آسیل را در مونوگالاکتوزیل دی آسیل گلیسیرویل (سیانوباکتری‌ها و پلاستید گیاهان) و فسفوتیدیل گلیسیرویل (پلاستید گیاهی) انجام دهند، در حالی که دسچورازهای شبکه آندوپلاسمی گیاهی بیشتر از اسیدهای چرب موجود درون فسفاتیدیل کولین‌ها استفاده می‌کنند. دیگر زیر گروه‌ها مربوط به دسچورازهای آسیل کوآ در درون غشاء شبکه آندوپلاسمی حضور دارند و از اسید چرب آسیل کوآ به عنوان سوبسترا استفاده می‌کنند. این‌ها در حال حاضر در جانورانی مانند حشرات و نماتدها و همچنین قارچ‌ها حضور دارند. هویت همه دسچورازهای پستانداران به کمک آسیل کوآ دسچورازها قابل شناسایی هستند. گزارش‌های زیادی از همسانه‌سازی و شناسایی ژن‌های دسچوراز در دسترس است. در مقابل، کار

برروی پروتئین‌های دسچوراز به علت مشکلات عمده بر روی خالص‌سازی آنها بسیار کم بوده است. در اینجا دلتا ۱۵ دسچوراز غیر اشباع‌سازی یک اسید چرب را ما بین کربن‌های شماره ۱۵ و ۱۶ از پایانه کربوکسیل انجام می‌دهد و تبدیل اسید لینولئیک به آلفالینولئیک اسید را تسریع می‌کند. آلفالینولئیک اسید یک جزء از چربی‌های غشاء گیاهی است و همچنین ذخیره ساز تری آسیل گلیسرول می‌باشد. این اسید چرب با غیراشباع‌سازی گلیسرولیپیدهای مرتبط با لینولئیک اسید (18:2) توسط دلتا ۱۵ دسچوراز سنتز می‌شود. دو مسیر جدا برای سنتز اسیدهای چرب 18:3 کربنه در گیاهان وجود دارد، که یکی در پلاسمید و دیگری در شبکه آندوپلاسمی (ER) قرار دارد. در نتیجه، دو ایزوفرم مختلف از دلتا ۱۵ دسچوراز در اندامک‌های مختلف وجود دارد. ژن کد کننده برای ایزوفرم دلتا ۱۵ دسچوراز موجود در شبکه آندوپلاسمی از کلزا، آرابیدوپسیس تالیانا و همچنین ایزوفرم پلاستیدی از سویا، کرچک و گلرنگ جدا شده‌اند. (۷، ۱۳، ۱۵، ۴۸، ۸۸). دلتا ۱۲ و دلتا ۱۵ دسچوراز نقش مهمی در سنتز چربی‌های غشائی به منظور پشتیبانی از فتوسنتز دارند و این آنزیم‌ها در تمام گیاهان وجود دارند. بنابراین، گیاهان عالی غنی از AL و ALA به عنوان یک پیش‌ساز در متابولیسم PUFA می‌باشند (۷۷). برای موفقیت تبدیل اسیدهای چرب ضروری در گیاهان بومی مانند LA و ALA به اسیدهای چرب غیر اشباع PUFA مانند EPA و DHA در دانه‌ها نیاز به هماهنگی بیان ژن‌های متعدد به عنوان مثال حداقل تاثیر سه واکنش آنزیمی پی‌درپی می‌باشد (۹۰).

۱-۱۰ بیوسنتز اسیدهای چرب در مخمرها

سلول‌های مخمر کارآمدتر برای تولید محصول در مقیاس بزرگ و وسیع هستند و معیارهای ایمنی و قرابت نزدیک با محصولات تازه دارند و همچنین تمامی سلول‌های مخمر بر اساس فن‌آوری بیوکاتالیتیک برای تولید انبوهی از انواع مواد شیمیایی و ترکیبات بیولوژیکی مناسب هستند (۶۰). بنابراین، سلول‌های مخمر به طور بالقوه به عنوان یک انتخاب جالب توجه برای تولید و توسعه PUFA

نیز می‌باشند. غشاء سلول‌های مخمری از سه قسمت اصلی تشکیل شده‌اند که عبارتند از: فسفولیپیدها، استرول‌ها و پروتئین‌های درون غشائی (۵۷). چربی‌ها نه تنها جزئی از اجزای غشای سلولی‌اند، بلکه در انتقال سیگنال‌ها نیز درگیر هستند. در مخمر *Pichia pastoris* نشان داده شده که میزان اسیدهای چرب اشباع نشده خیلی زیاد است. بسیاری از میکروارگانیسم‌ها قادر به تولید PUFAهای هستند که تا به امروز از آنها استخراج و شناسائی شدند. اما نقش دقیق مولکولی و بیوشیمیایی PUFAهای ذخیره شده در این میکروارگانیسم‌ها روغنی به طور دقیق مشخص نشده است. مقدار اطلاعات در دسترس در تحقیقات صورت گرفته در این زمینه در مقایسه با سلول‌های پستانداران بسیار کم است. ثابت شده است که مخمر *Methylotrophic Pichia pastoris* دارای یک سیستم عالی برای بیان سطح بالایی از پروتئین‌های هترولوگ به دلیل مزایای بالای که دارد، می‌باشد. تجزیه و تحلیل اولیه از ترکیبات اسید چرب در *P.pastoris* GS115 نشان داد که اسیدهای چرب آن از یک اسید چرب نسبتاً ساده که به طور عمده شامل اسیدهای چرب پالمیتیک اسید (PA, C16:0)، استئاریک اسید (SA, C18:0)، اولئیک اسید (OA, C18:1 n-9) می‌باشد و تنها از دو نوع PUFAs. اولئیک اسید (LA, C18:2 n-6) و آلفا لینولنیک اسید (ALA; C18:3 n-3) تشکیل شده است. بنابراین، برخلاف مخمر ساکارومایسس سرویسیه، که تنها یک ژن کد کننده دسچورازی (*D9FAD*) دارد، پیکیا پاستوریس دارای یک سیستم نسبتاً کامل بیوسنتزی PUFAs است (۴۴). مطالعات نشان می‌دهد که *P.pastoris* GS115 دارای مسیر منحصر به فردی از سنتز PUFA می‌باشد: در گام نخست، احتمالاً هر دو ژن *Fad9A* و *Fad9B* کد کننده دلتا ۹ دسچوراز^۱ (*FAD9*) اسیدهای چرب اشباع (SFA) را به اسیدهای چرب تک غیر اشباعی تبدیل می‌کند، یعنی ابتدا اسید استئاریک را به اولئیک اسید تبدیل می‌کند و سپس اولئیک اسید توسط دلتا ۱۲ دسچوراز^۲ (*FAD2*) به لینولنیک

1 - delta9 desaturase (FAD9)

2 - delta12 desaturase (FAD2)

اسید تبدیل می‌شود، و در نهایت توسط دلتا 15 اسچورز/ اسید چرب سنتز و تبدیل به آلفالینولنیک اسید می‌شود. مشخص شدن مسیر متابولیک PUFA مطالعات متابولیسمی و تنظیمی بیوسنتز PUFAs را در سیستم مدلی *P.pastoris* را آسان می‌کند (۹۰).

۱-۱-۱ ضرورت انجام تحقیق

پروژه حاضر مربوط به ایجاد یک ساختار نو ترکیب برای زمینه‌سازی تغییر مشخصات کل اسیدهای چرب در دانه گیاهان بالغ برای تولید دانه‌های روغنی که دارای میزان امگا ۶ بالای نسبت به امگا ۳ در روغن تولیدی درون دانه‌های خود هستند. روش‌ها و ترکیباتی که تا به امروز ارائه شده است اجازه اصلاح و دستکاری اسیدهای چرب زنجیر بلند اشباع نشده (PUFA) موجود در ترکیبات روغنی گیاهان، و حتی در مخمرهای روغنی و گیاهان روغنی (کلزا، سویا و...) را به ما می‌دهد. در این پروژه استخراج و همسانه‌سازی ژن دلتا 15 اسچوراز صورت گرفت، که امکان دستکاری مسیرهای بیوشیمیایی اسیدهای چرب و افزایش تولید آلفالینولنیک اسید به عنوان سوبسترا برای تولید اسیدهای چرب غیراشباع ضروری را می‌دهد. بنابراین، این موضوع دارای کاربردهای فراوانی است. از PUFAها و مشتقات آنها توسط روش‌های که تا به امروز شناخته شدند به عنوان جایگزین در رژیم غذایی، یا مکمل‌های آنها، به خصوص در تولید شیرخشک نوزادان، یا برای جلوگیری و درمان بیماری‌های ناشی از سوء تغذیه استفاده می‌شود. علاوه بر اینکه PUFAها در فرمول غذایی نوزادان و یا سایر محصولات غذایی گنجانده می‌شوند و به عنوان داروهای ضد التهاب و یا عوامل کاهش کلسترول استفاده شوند. حتی، در ترکیبات دارویی نیز کاربرد دارند (انسان و یا دامپزشکی). در این مورد، به طور کلی PUFAها به صورت خوراکی تجویز می‌شوند، اما توسط هر مسیر که جذب آنها را ممکن می‌سازد به عنوان مثال از طریق تزریق و یا به شکل موضعی به عنوان یک پماد یا لوسیون نیز

تجویز می‌شود. مکمل‌های PUFAهای نو ترکیب تولید شده انسانی و حیوانی می‌توانند باعث افزایش سطح PUFAها در داخل بدن جاندار شوند، همچنین به عنوان فرآیندهای متابولیکی به کار روند. در حال حاضر آلفالینولنیک اسید به عنوان یک اسید چرب اشباع نشده مهم متعلق به خانواده امگا ۳ می‌باشد که توسط بدن انسان تولید نمی‌شود و از این رو باید به عنوان یک بخشی از رژیم غذایی برای حفظ سلامت انسان در نظر گرفته شود. حداقل اسید آلفالینولنیک مورد نیاز برای یک فرد ۰/۲٪ از انرژی مورد دریافتی توسط غذا است. از سوی دیگر FAO حداقل مصرف اسید آلفالینولنیک را ۰/۵٪ برای هر فرد توصیه کرده است. این مقادیر قابل توجه گویای این واقعیت است که ساختار بیوشیمیایی این اسید چرب مهم بوده و باعث می‌شود که نقش کلیدی در ایمنی بدن، حفاظت غشای سلولی و تولید ترکیباتی مانند هورمون‌ها داشته باشد. در حال حاضر در رژیم غذایی کمبود اسیدهای چرب غیر اشباع امگا ۳ مشاهده می‌شود. در دسترس‌ترین منابع تولیدی این اسید چرب گیاهان می‌باشند، بنابراین بیان ژن در گیاهان روغنی *Δ15desaturas* به تنهایی مستعد افزایش سطوح آلفالینولنیک اسید در دانه‌های روغنی می‌باشد. علاوه بر پرداختن به تمام شرایط فوق، آلفا لینولنیک اسید به عنوان "مولکول پیش ساز اصلی برای بیوسنتز اسیدهای چرب اشباع نشده می‌باشد که بسیار برای رشد ضروری است. هدف نهایی از انجام این پروژه افزایش میزان تولید آلفا لینولنیک اسید در دانه‌های گیاهان روغنی برای تجمع روغن‌های غنی شده از اسیدهای چرب امگا ۳ در میزبان است. شناسایی *دلتا ۱۵* دسچوراز و سایر امگا ۳ دسچورازها برای دستکاری نسبت امگا ۳ به امگا ۶ در سلول‌های میزبان لازم است. مناطق کدگذاری سازه حاوی ژن مورد نظر را می‌توان در گیاهان، بویژه در گیاهان دانه روغنی بیان کرد. ژن *دلتا ۱۵* دسچوراز استخراج شده از مخمر *P.pastoris* که تحت کنترل توالی تنظیمی پروموترنایپین در وکتور بیانی بوده و این سازه به میزبان مناسب گیاهی (توتون) انتقال یافت. بیان این ژن در گیاه می‌تواند موجب افزایش تولید آلفالینولنیک اسید شود. سازه مورد نظر

مربوط به یک ساختار نو ترکیب می تواند برای تغییر مشخصات کل اسیدهای چرب دانه بالغ گیاهی برای تولید دانه های روغنی جهت تولید امگا ۳ بکار برده شود. یکی از اهداف این پروژه در ارتباط با روشی برای افزایش نسبت اسیدهای چرب امگا ۳ در گیاه دانه روغنی می باشد. همچنین جنبه دیگر، مربوط به روشی برای تولید و افزایش آلفالینولنیک اسید در بذر گیاهان روغنی است که میزان آلفالینولنیک اسید آنها حداقل (کمتر از) ۲۵٪ از مقدار کل اسید چرب در دانه های روغنی است. محتوای آلفا لینولنیک اسید در دانه های روغنی از حداقل ۲۵٪ تا ۸۹٪ و یا بین ۲۵٪ و ۸۹٪ به عنوان مثال ۲۶٪، ۲۷٪ و ... متغیر است. روغن های تغییر یافته در این گیاهان نو ترکیب را می توان در ترکیبات غذایی مانند مکمل های غذایی، محصولات غذایی، خوراک دام و در صنایع داروئی بکار برد. (۲۵). در مقایسه با سایر روغن های نباتی، تصور می شود که روغن های بدست آمده از این طریق را بتوان از نظر فیزیولوژیکی در برنامه های غذایی به کاربرد (۲۵).

فصل دوم

مروری بر منابع

۲-۱ بازسازی مسیر بیوسنتزی اسیدهای چرب غیراشباع در مخمرها و

گیاهان تراریخته

بیان ژن‌های دسچوراز برای تامین اساس مولکولی متابولیسم در موجودات، مانند سازگاری به تغییرات محیط زیستی همانند درجه حرارت، به ویژه در مورد گیاهان، سیانوباکتری‌ها، مخمرها و سایر موجودات بسیار مهم است. شبیه‌سازی ژن‌های دسچوراز از انواع موجودات بیش از ۱۰ سال است که انجام می‌شود. (۹۳) اولین مورد تغییر چربی در سیانوباکتری‌ها را توسط مهندسی ژنتیک گزارش کردند، آنها اثبات کردند که به کمک این روش امکان تغییر ترکیب چربی در موجودات وجود دارد. در ابتدا تعدادی از محققین بر روی گیاهان مدل غیر روغنی مانند آرابیدوپسیس (۵۲،۶۸) و توتون (۵۱) تمرکز کردند که کاربرد کمی برای تولید روغن به طور مستقیم در سطح زراعی داشت. در حال حاضر روش‌های انتقال کارآمدتری برای گیاهان دانه‌روغنی در دسترس مانند سویا، کلزا، ذرت (۳۲،۴۳،۶۳) ایجاد شده است و بدین ترتیب طیف وسیعی از گیاهان دانه روغنی اصلاح شده از نظر محتوای چربی رو به افزایش است. افزایش میزان تولید اسیدهای چرب غیر اشباع به کمک تکنیک دستکاری ژنتیکی در دانه‌های روغنی بوجود آمده است (۱۸) به عنوان مثال فرآورده‌های حاصل از مهندسی دانه‌های روغنی برای تولید PUFAهای خاص مانند EPA، ALA به صورت تجاری تولید می‌شوند. اولین بازسازی مسیر بیوسنتزی گامالینولنیک اسید در مخمر ساکارومایسیس سرویسیه با بیان مشترک دلتا ۱۲ دسچوراز و دلتا ۶ دسچوراز استخراج شده از قارچ *Mortierella alpina* بدست آمده است. (۴۷). بدنبال این موفقیت، تعداد دیگری از ژن‌های دسچوراز مسیر بیوسنتزی اسیدهای چرب غیر اشباع نیز کلون و در موجودات مختلف بیان گردیدند. تولید ARA و EPA در مخمر ساکارومایسیس سرویسیه با بیان همزمان دلتا ۵ دسچوراز و دلتا ۶ الانگاز به همراه تامین اسیدهای چرب مکمل صورت گرفت (۶۶،۴۷).

بعد از آن (۲۷، ۱۳) هر کدام بطور جداگانه از طریق بیان همزمان سه ژن تولید مقدار کمی از ARA و EPA را در مخمر ساکارومایسیس را گزارش کردند، این مسیر بیوسنتزی با بیان ژن دلتا ۶ دسچوراز در حضور اسیدهای چرب پیش‌ساز AL و ALA آغاز می‌شد. (۲۸) با بازسازی مسیر بیوسنتزی ARA و تجزیه و تحلیل دقیق غیراشباع‌سازی و طول‌سازی در واکنش ترانسفورم مخمر ساکارومایسیس سرویسیه تایید کرد که طول‌سازی در حضور آسیل‌کوآ رخ می‌دهد. عملکرد ضعیف ARA به محدودیت در سوسترای در دسترس برای طول‌سازی زنجیره اسیدچرب نسبت داده شد. تولید مقدار کم GLA / SDA به ناتوانی میزبان مخمر در انتقال ذخایر آسیل‌کوآ به شکلی موثر نسبت داده شد. (۵۳) مسیر تولیدی اسیدچرب DHA را که با فعالیت کم آنزیم طول‌ساز دلتا ۶ الانگاز شروع می‌شود را طراحی کردند. ژن دلتا ۵ دسچوراز مربوط *Phaeodactylum tricornutum* و ژن دلتا ۴ دسچوراز مربوط به آغازی *Euglena gracilis* همزمان توسط دو ژن طول‌ساز دلتا ۶ و دلتا ۵ الانگاز از ماهی *Oncorhynchus mykiss* و همچنین ژن دلتا ۶ الانگازاز دیاتوم *T. pseudomonas* و ژن دلتا ۵ الانگاز مربوط به *Osteococcus tauri* جداسازی و در دو مسیر بیوسنتزی جداگانه بیان نمودند. نتایج نشان داد که هر دو مسیر در هر دو مجموعه ژنی منجر به تولید مقدار کمی DHA در حضور پیش‌سازهای اگزوزن AL، ALA شدند. در بسیاری از آزمایش‌ها برای بازسازی مسیر بیوسنتزی PUFAها در مخمر ساکارومایسیس سرویسیه اسیدهای چرب غیر اشباع تولید شده‌اند اما همگی نیازمند مکمل‌های بیرونی برای تولید این اسیدهای چرب در مخمر بودند. (۹۷) برای اولین بار بازسازی مسیر کلی تولید اسیدچرب GLA بدون نیاز به مکمل‌های بیرونی اسیدچرب با استفاده از ژن دلتا ۱۲ دسچوراز *Kluyveromyces lactis* و ژن‌های دلتا ۶ دسچوراز و دلتا ۶ الانگاز مربوط به *Rattus norvegicus* را انجام دادند. پس از بازسازی موفقیت آمیز مسیر بیوسنتزی PUFA در مخمر، محققان به طور طبیعی توجه خود را به بازسازی این مسیر بیوسنتزی در گیاهان معطوف کردند. (۷) به کمک وکتورهای دوگانه ترکیبات مختلفی از ژن‌های دلتا ۶ دسچوراز مربوط به *Physcomitrella patens*، *Buddleja officinalis* و *Phaeodactylum tricornutum* دلتا ۶ الانگاز مربوط به *Physcomitrella patens* و

Caenorhabditis elegans و دلتا ۵ دسچوراز مربوط به *Mortierella alpina* و *Phaeodactylum tricornutum* در گیاهان توتون و کتان تحت کنترل پروموتور ویژه دانه ترانسفورم و بیان کردند. با این حال، تنها مقدار بسیار کمی از PUFA در بذر گیاهان تراریخته تولید شد. تولید سطح پایین این اسیدهای چرب به دلیل ناکارآمد بودن طویل سازی پیش‌سازهای ۱۸ کربنه فرض شد، تجزیه و تحلیل منابع آسیل‌کوآ مقدار کمی از این پیش‌سازها را در مخازن تولیدی آسیل‌کوآ نشان داد. هنگامی که آسیل‌کوآ و مانوئیل‌کوآ از میکروزوم دانه‌های گیاهان تراریخته در حال رشد استخراج گردید، به یک سوبسترای موثر برای طویل‌سازی تبدیل شد. پس از حذف این داده‌ها این احتمال را دادند که سطح پایین بهره‌وری طویل‌سازی زنجیره اسیدهای چرب بدلیل فعالیت کم ژن تراریخت شده الانگاز می‌باشد.

۲-۲ تولید اسیدهای چرب غیر اشباع نو ترکیب در گیاهان تراریخته

باز سازی مسیر بیوسنتزی DHA در گیاه زراعی دانه روغنی خردل هندی *Indian mustard* (*Brassica juncea*) به کمک وکتورهای دوگانه که ۳ تا ۹ ژن را حمل می‌کردند، که هر یک از ژن‌ها تحت کنترل مستقل پروموتور ویژه دانه بود. فرآیند مهندسی گام به گام هر یک از ژن‌ها فرصتی برای بررسی اثرات منفرد هر ژن در مسیر بیوسنتزی PUFA را ارائه داد و باعث جمع‌آوری اطلاعاتی مربوط به مراحل و آنزیم‌های واسط مسیر پیچیده بیوسنتزی این اسیدهای چرب شد (۹۵). گیاهان مربوط به خانواده کلزا (*Brassica juncea*) به طور طبیعی دارای مقدار کمی اسیدهای چرب لینولنیک اسید (۱۸:۳) هستند. در ابتدا با سه ژن سازهای با حداقل ژن‌های لازم برای بیوسنتز PUFA های ۲۰ کربنه برای ترانسفورم تشکیل دادند. این سازه شامل ژن‌های دلتا ۶ دسچوراز مربوط به *Pythium irregulare*، دلتا ۶ الانگاز مربوط به *Physcomitrella patens* و دلتا ۵ دسچوراز مربوط به *Thraustochytrium sp* بود. دانه‌های ترانس ژنیک به طور متوسط قادر به تولید ۷٪ ARA و مقادیر

کمی EPA شدند. علاوه بر این دلتا ۱۲ دسچوراز مربوط به *Calendula officinalis* نشان داد که اسیدهای چرب ۱۸:۱ کربنه (امگا۹) به ۱۸:۲ کربنه (امگا۶) تبدیل شد، که در نتیجه تولید ARA در دانه ۱۲٪ افزایش یافت. بر اساس نتایج مشاهده شد که طویل‌سازی خود یک عامل محدودکننده در طی مراحل بیوسنتزی است، که باعث افزایش یک مرحله در مسیر بیوسنتزی غیراشباع-سازی دلتا ۶ شد. برای افزایش عملکرد اسیدهای چرب امگا۳ ژن دلتا ۱۵ دسچوراز (امگا۳ دسچوراز) مربوط به *Phytophthora infestans* به مسیر بیوسنتزی PUFAها افزوده شد که منجر به تبدیل موثر ARA به EPA شد. برای تولید کافی EPA، ژن دلتا ۴ دسچوراز، (به نام لیزوفسفوتیدیل کولین آسیل ترانسفراز) مربوط به *Thraustochytrium sp* و ژن دلتا ۵ الانگاز مربوط به *Oncorhynchus mykiss* به صورت یک سازه در مسیر بیوسنتزی برای تولید DHA افزوده شدند. این سازه از ژن‌ها نشان دادند که بیشترین تعداد ژن‌های بیان شده مربوط به یک سازه در گیاهان هستند، که میانگین بازده DHA در کل ۰/۲ ثبت شد (۹۵). ژن دلتا ۶ دسچوراز را از *Spirulina platensis* جداسازی و توسط وکتور بیانی تحت کنترل پروموتور CAMV35S در سویا بیان کردند، که منجر به تجمع ۳/۸٪ GLA در مقایسه با گیاهان شاهد شد. همچنین (۶۷) یک سازه ژنی متشکل از ژن‌های دسچوراز و الانگاز را از چندین میکرواروگانسیم جداسازی تحت یک سازه ژنی و تحت کنترل پروموتورهای ویژه دانه در گیاه آرابیدوپسیس جهت افزایش تولید DHA بیان کردند. در این سازه ژنی دلتا ۱۵ دسچوراز از مخمر *Pichia pastoris* جهت افزایش میزان تولید ALA استفاده گردید. با افزایش میزان قابل توجهی از ALA در گیاه منجر به افزایش تولید ۱۲٪ DHA در این گیاه گردید. بیان دلتا ۶ دسچوراز تحت کنترل پروموتور 35S در کتان منجر به تجمع بسیار بالایی از GLA و SDA در کتان شد. کتان دارای آلفالینولنیک بسیار بالایی است و در نتیجه دارای پتانسیل خوبی برای تولید SDA، می‌باشد، همچنین بیان دسچورازهای حامل گل‌گاوزبان تحت کنترل پروموتور ناپین باعث تجمع ۱۰ برابری SDA نسبت به GLA در دانه شد (۶۲). با توجه به نقش غیراشباع‌سازی دسچورازها ژن‌های

دلته ۱۵ دسچوراز قادر به استفاده از اسیدهای چرب C18-C20 به عنوان سوبسترا برای تولید ALA در میکروارگانیسیم‌های مانند مخمرها، باکتری‌ها و گیاهان دانه روغنی مختلف می‌باشند (۳۰، ۴۶) بر طبق گزارشات تعدادی از مخمرها، همانند *S.kluyveri*، *C.albicans*، *Kluyveromyces*، *Pichia pastoris*، *lactia* قادر به تولید ALA در سطوح مختلف هستند (۲۰، ۳۷، ۳۸، ۹۸).

پیشرفت‌های زیادی در همسانه‌سازی و دستکاری ژن‌های دسچوراز اسید چرب و الانگازها در گیاهان مختلف در طول چند سال گذشته از جمله گیاهانی مانند آرابیدوپسیس، کلزا، سویا و دیگر گیاهان صورت گرفته است (۸۹، ۱۰). در طی چندین سال دانه‌های روغنی تراریخته به صورت مهندسی متابولیک دارای ظرفیت تولیدی هترولوگ برای سنتز اسیدهای چرب امگا۳ LC-PUFA در یک سیستم تولیدی جدید کاربرد داشته، که می‌توانند جایگزین همه یا تعدادی از برنامه‌های کاربردی شوند که از روغن ماهی استفاده می‌کنند. مهندسی متابولیک، برای متابولیسم دانه‌های روغنی را می‌توان از طیف گسترده‌ای از روش‌ها بدست آورد. شایع‌ترین روش استفاده از آلودگی آگروباکتریوم و انتقال ژن به کمک این باکتری می‌باشد. این باکتری گرم منفی به طور گسترده و طبیعی در خاک باعث ایجاد گال طوقه می‌کند و دارای توانایی انتقال بخشی از DNA خود از طریق القا تومور توسط پلاسمید به سلول‌های گیاهی می‌باشد (۴۴). تا سال‌ها پس از طراحی و ساخت موفقیت آمیز سازه حاوی مسیر بیوسنتز $\omega 3$ PUFA در گیاهان با استفاده از چندین ژن دسچوراز و الانگاز، به تازگی دانه‌های روغنی طراحی شدند که سطح تولیدی EPA و DHA در آنها هم سطح با میزان تولید این اسیدهای چرب در روغن ماهی می‌باشد. برای اولین بار برای افزایش EPA و کاراتنوئیدها با حجم بالا، استاگزانتین در سویا یک سازه ژنی حاوی ژن‌های دلتا۶ و دلتا۱۵ دسچوراز را در سویا انتقال و بیان کردند. نتایج آنها بیانگر تجمع ۳۵٪ استئاریدونیک اسید در روغن دانه‌های سویا بود (۶۵).

دلتا۶ دسچوراز، دلتا۶ الانگاز و دلتا۵ دسچوراز جداسازی شده از *Mortierella alpine* به همراه

دلته ۱۵ دسچوراز آرابیدوپسیس و دلته ۱۷ دسچوراز *Saprolegnia diclina* تحت پروموتور ویژه دانه در سویا بیان شدند. محتوای EPA در روغن بذر به طور قابل توجهی در سطح ALA به ۲۰٪ رسید (۳۹). مسیر ثانویه طویل ساز دلته ۹ الانگاز و غیر اشباع ساز دلته ۸ برای تولید اسیدهای چرب غیر اشباع LC-PUFA کاربرد دارد. ژن دلته ۹ الانگاز *Euglena gracilis* ، *protest* ، دلته ۸ دسچوراز *Isochrysis galbana* و دلته ۵ دسچوراز *M. alpina* را تحت کنترل پروموتور 35s در آرابیدوپسیس بیان و جایگزین مسیر بیوسنتزی غیر اشباع ساز دلته ۸ کردند. تجمع ۶/۶٪ ARA و ۳٪ EPA از کل اسیدهای چرب در بافت برگ نشان داد که سنتز PUFA در گیاهان امکان پذیر بوده و می تواند جایگزین مسیرهای بیوسنتزی موجود در گیاهان شود. این نتیجه نشان داد غیر اشباع سازی امگا ۳ و امگا ۶ توسط مسیر دلته ۸ برای تولید PUFA در گیاهان دارای فعالیت بالایی است و همچنین امکان از میان بردن عوامل محدود کننده سرعت طویل سازی و مسیر عمومی غیر اشباع ساز دلته ۶ دسچوراز/ الانگاز وجود دارد (۶۸). این نتایج نشان داد که مهندسی متابولیک مسیر بیوسنتز اسید چرب برای تولید بسیاری از اسیدهای چرب غیر اشباع بلند زنجیر در دانه های روغنی امکان پذیر است. برای تولید آراشیدونیک اسید در سویا نیاز به تبدیل آلفا لینولنیک اسید به آراشیدونیک اسید می باشد. این امر نیاز به بیان سه ژن دلته ۶ ، دلته ۵ دسچوراز و ژن دلته ۹ الانگاز دارد. همچنین لینولنیک اسید به عنوان یک سوبسترا برای ژن دلته ۱۵ دسچوراز در سویا برای تولید آلفالینولنیک اسید لازم می باشد. بنابراین، به منظور تسهیل در تولید ARA، تغییر در محتوای آلفالینولنیک اسید توسط تنظیم بیان ژن دلته ۱۵ دسچوراز در گیاه ضروری است. در تعدادی از کلزاهای تراریخته *Brassica juncea* با افزایش تعداد ژن های موجود در مسیر سنتزی PUFA منجر به تجمع ARA تا ۲۵٪ و EPA تا ۱۵٪ از اسیدهای چرب در دانه شده است (۹). کمبود آلفالینولنیک اسید و نامتوازن بودن نسبت اسیدهای چرب امگا ۳ به امگا ۶ در رژیم غذایی یک عامل برای شیوع بیماری های قلبی و عروقی و بیماری های التهابی و خود ایمنی است. بنابراین نیاز به افزایش محتوای آلفالینولنیک اسید و

کاهش نسبت اسید لینولئیک به آلفالینولئیک وجود دارد (۴۲). شش ژن امگا۳ (دلتا۱۵) دسچوراز در سویا و برنج کلون نمودند (۳۸). که محل فعالیت این پروتئین‌ها در درون سلول مشخص بود. ژن در برنج تحت کنترل پرموتر ویژه آندوسپرم برای ارزیابی افزایش محتوای آلفالینولئیک اسید در دانه بیان شد. محتوای آلفالینولئیک اسید منحصر در شبکه آندوپلاسمی دانه‌ها، در لاین‌های ترانسفورم شده از ۰/۳۶ میلی گرم تا ۸/۵۷ میلی گرم افزایش یافته و ۱۰/۰۶ میلی گرم، بیشتر از لاین‌های غیر ترانسفورم شده بود. صفت محتوای بالای آلفالینولئیک اسید در بیش از سه نسل ارثی و پایدار ماند. تعدادی از همولوگ‌های فعالیت بیشتری در تبدیل لینولئیک به آلفالینولئیک را در دانه‌های برنج نشان دادند. پرموتر ویژه آندوسپرم در شبکه آندوپلاسمی اثر زیادی بر بیان ژن دلتا۱۵ و تولید آلفالینولئیک اسید و در کلروپلاست اثر کمتری بر بیان این ژن و تولید آلفالینولئیک اسید در دانه برنج داشت. بخش عمده‌ای از برنج غذای روزانه انسان‌ها را شامل می‌شود که بالای ۸۰٪ آلفالینولئیک اسید رژیم غذایی را می‌تواند تامین کند. برنج غنی از آلفالینولئیک انتظار می‌رود در بهبود بسیاری از رژیم‌های غذایی که کمبود آلفالینولئیک دارند را جبران کند (۳۸).

۲-۳ بررسی بیان ژن‌های دسچوراز در سطح RNA

دو ژن اسید چرب دسچورازی که کلون شدند: شامل دلتا۱۲ (FAD2) و دلتا ۱۵ دسچوراز (FAD3) بودند که از *Hansenula polymorpha* جداسازی شدند، این دو ژن مسئول تولید لینولئیک اسید و آلفا لینولئیک اسید هستند. تصور می‌شود که توالی اسید آمینه‌ای دلتا۱۲ و دلتا ۱۵ دسچوراز بیشتر از ۶۰٪ با هم شباهت دارند و دارای سه موتیف جعبه هیستیدین در نواحی حفاظت شده در مقایسه با دسچورازهای همولوگ شناخته شده در مخمرهای دیگر هستند. حذف ژن FAD2 باعث عدم تولید لینولئیک اسید و آلفالینولئیک اسید می‌شود، در حالی که حذف ژن FAD3 تنها باعث عدم تولید آلفالینولئیک اسید در موجود می‌شود.

نتایج نشان داد که با بیان هترولوگ هر دو ژن دلتا ۱۲ و دلتا ۱۵ دسچوراز در ساکارومایسس سرویسیه زمانی که پیش سازهای لینولئیک اسید به محیط اضافه شوند، باعث تولید لینولئیک اسید و آلفالینولئیک اسید در این مخمر می‌شوند. در مجموع این مطالعات نشان داد که FAD2 و FAD3 کد کننده دلتا ۱۲ و دلتا ۱۵ دسچوراز اسید چرب‌های هستند که تنها عمل غیر اشباع سازی اولئیک اسید و لینولئیک اسید را در *H. polymorpha* انجام می‌دهند (۱۰۰). از آنجائیکه ژن دلتا ۹ دسچوراز اسید چرب مسئول تنظیم نواحی تنظیمی اسید چرب و عناصر گیرنده در پاسخ به مقدار کم اکسیژن در ساکارومایسس سرویسیه است، آنها بررسی کردند آیا حضور این نواحی تنظیمی در نواحی بالادست این ژن‌ها، تاثیری بر عملکرد سطوح رونویسی FAD2 و FAD3 در شرایط کمک اکسیژن یا با مکمل-های مواد مغذی اسیدهای چرب غیر اشباع دارد؛ که در مجموع نتایج نشان داد که هر دو ژن در شرایط کم اکسیژن فعال بوده و تنها رونویسی ژن FAD3 بدلیل وجود بیش از حد اسیدهای چرب اولئیک، لینولئیک و آلفالینولئیک سرکوب شد. ولی سطح رونویسی FAD2 به طور قابل توجهی تغییر نکرد. این مشاهدات نشان می‌دهد که بیان FAD2 در سطح رونویسی توسط میزان حضور اسیدهای چرب کنترل نمی‌شود. این مطالعات نشان می‌دهد که امکان تنظیم بیان FAD2 توسط مکانیسم پس از رونویسی وجود دارد، در حالی که امکان کنترل بیان FAD3 در سطح رونویسی وجود دارد (۳۸). تکنیک‌های انتقال ژن در مهندسی ژنتیک برای دستکاری ترکیب اسید چرب کلزا با استفاده از *Brassica napus* انجام شد. پروتئین حامل استرول آسیل دسچوراز اولین کاتالیزگر در مسیر غیر اشباع سازی در بیوسنتز روغن در دانه‌ها است، که Acyl-(acyl-carrier-protein) desaturase را به stearoyl-acyl-carrier-protein (Oleoyl-(acyl-carrier-protein) hydrolase) تبدیل می‌کند. ژن آنتی‌سنس stearoyl-acyl-carrier-protein desaturase (Stearoyl-ACP) ویژه دانه براسیکا برای کاهش غلظت پروتئین و فعالیت آنزیم Stearoyl-ACP دسچوراز برای بیوسنتز لیپیدهای ذخیره‌ای در طی رشد و نمو جنین در دانه‌های کلزا مورد استفاده قرار گرفت. سطح اسید استاریک به طور چشمگیری در دانه‌های گیاهان تراریخت

افزایش یافت و یک توزیع پیوسته از سطح اسید استاریک از ۲٪ تا ۴۰٪ در دانه گیاهان تراریخت *Brassica napus* مشاهده شد. کلزا و روغن های گیاهی دیگر عمدتاً از اسیدهای چرب ۱۸ کربن اشباع نشده: اسیدهای اولئیک و لینولنیک و آلفا لینولنیک تشکیل شده‌اند. علاوه بر این اسیدها چرب ، بسیاری از روغن ها نیز حاوی مقدار کم، اما مهمی از اسیدهای چرب اشباع و استئاریک هستند. آنزیم استرول اسیل موجود در پلاستید گیاهان حامل پروتئین Stearoyl-ACP دسچوراز کاتالیز اولیه واکنش‌های غیر اشباع سازی در بیوسنتز اسیدهای چرب را بر عهده دارد و در نتیجه نقش کلیدی در تعیین نسبت کل اسیدهای چرب غیر اشباع به اسیدهای چرب اشباع در گیاهان را دارد. فن آوری RNA سنس ثابت کرده است که یک ابزار موثر برای کاهش سطح بیان آنزیم های خاص در گیاهان می‌باشد. از آنجا که مسیر بیوسنتزی اسیدهای چرب در تمام بافت‌های گیاه ضروری هستند، اصلاح بیوسنتز روغن دانه ممکن است نیاز به کنترل بیان RNA آنتی سنس در بافت‌های خاصی باشد. در گیاهان، اصلاح مسیر بیوسنتزی روغن دانه ممکن است نیاز به کنترل بیان RNA آنتی سنس در بافت‌های خاصی باشد. کاهش ACP-stearoyl desaturase در دانه ها نسبت اسیدهای چرب غیر اشباع به اشباع را تغییر می دهد و منجر به تولید یک روغن ذخیره‌ای جدید بدون به خطر انداختن یکپارچگی لیپیدهای غشایی در برگ و دیگر بافت های گیاهی می‌شود (۳۷).

فصل سوم

مواد و روش ها

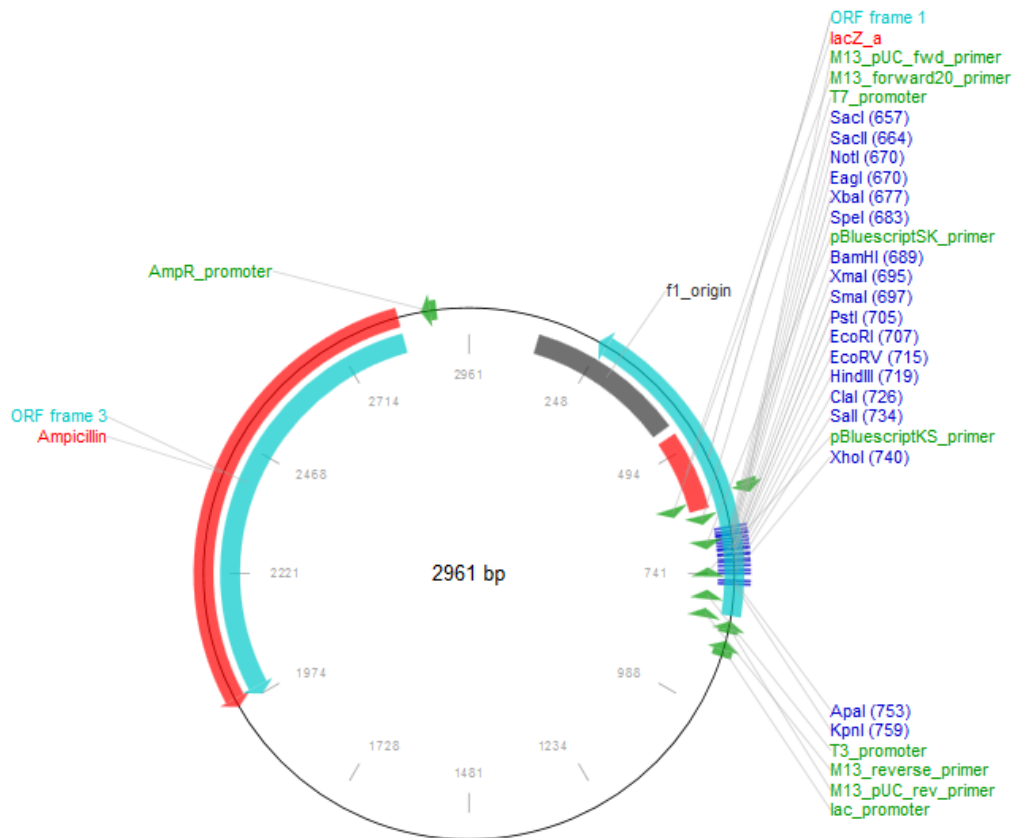
۳-۳ میکروارگانیزم‌ها

برای استخراج RNA و تکثیر ژن مورد نظر از مخمر پیکیا پاستوریس (*Pichia pastoris*) سویه GS115 (انیستیتوپاستور، تهران، ایران) استفاده گردید. برای تهیه سلول‌های مستعد و سپس تکثیر پلاسمید نوترکیب از باکتری اشریشیا کولی (*E. coli*) سویه DH5 α و برای انتقال سازه ژنی به گیاه از باکتری آگروباکتریوم تومفاسینس سویه LBA4404 پژوهشکده بیوتکنولوژی کشاورزی کرج مورد استفاده قرار گرفت.

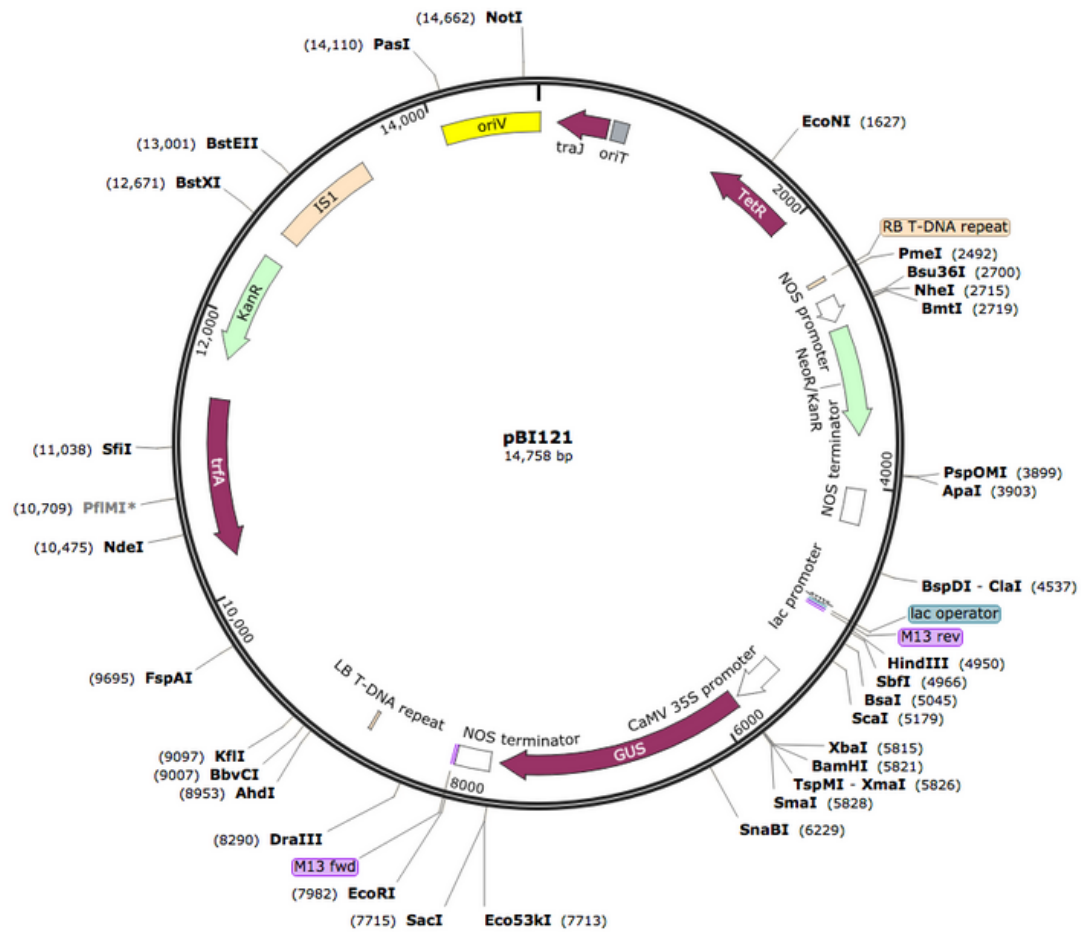
۴-۳ ناقلین مورد استفاده

از پلاسمید (+) *pBluescript II KS* نوترکیب پروموتور ژن ناپین (شکل ۳-۱) تهیه شده از دانشگاه رازی کرمانشاه به عنوان ناقل همسانه‌سازی در باکتری *E. coli* سویه DH5 α استفاده گردید. این ناقل به دلیل دارا بودن پروموتور ویژه دانه برای بیان اختصاصی در دانه گیاه بکار برده شد. ناقل *pks* دارای نشانگر مقاومت به آمپی‌سیلین و ژن *LacZ* می‌باشد که باعث تولید کلونی‌های سفید در باکتری‌های دارای ژن نوترکیب می‌شود.

از پلاسمید دوگانه pBI121 به عنوان ناقل بیانی و تراریزش با آگروباکتریوم در گیاه استفاده شد. ناقل pBI121 دارای نشانگر انتخابی مقاومت به کانامایسین و تحت کنترل راه‌انداز CaMV35S و خاتمه دهنده NOS است. در شکل (۳-۲) نمای کلی پلاسمید pBI121 نشان داده شده است.



شکل ۳-۱ و کتور pBluescript II KS(+) یک و کتور بیانی در باکتری می باشد. دارای توالی های T7 و T3 و همچنین دارای توالی اپران LacZ و ژن مقاومت به آمپی سیلین به عنوان ژن های نشانگر انتخابی در توالی خود می باشد. توالی برشی آنزیم های محدود کننده مورد نظر *HindIII* و *XbaI* و *SacI* دارار می باشد.



شکل ۳-۲ وکتور دوگانه pBI121، این ناقل دارای راه انداز Camv35s و خانه دهنده NOS است. همچنین توالی برشی سه آنزیم محدودکننده *HindIII*، *SacI*، *XbaI* را نیز دارد. از ناقل *pBI121* برای انتقال ژن در گیاهان مورد استفاده قرار می گیرد.

۳-۵ طراحی آغازگرهای اختصاصی و داخلی

توالی ژن دلتا ۱۵ دسچوراز^۲ به شماره دسترسی EF116884 از پایگاه اطلاعاتی NCBI (<http://www.ncbi.nlm.nih.gov/>) بدست آمد و از روی توالی cDNA و به کمک نرم افزار Primer3 (<http://primer3.sourceforge.net/>) آغازگرهایی به طول ۳۹ جفت باز و طول محصول ۱۲۴۶ جفت باز و با در نظر گرفتن دمای ایجاد ساختارهای ثانویه^۳، اتصال دو آغازگر به همدیگر^۴، دمای ذوب^۵، محتوای GC^۶ طراحی شد. در طراحی آغازگرهای رفت و برگشتی که جایگاه تشخیص آنزیمهای برشی *XbaI* و *SacI* در انتهای ۵' آنها در نظر گرفته شد، که قطعه‌ای به طول تقریبی ۱۲۴۶ جفت باز را تکثیر می‌کند. همچنین در آغازگر رفت بعد از سایت برشی و قبل از کدون ATG ابتدایی، توالی کوزاک تعبیه گردید. این توالی جهت افزایش بیان ژن در یوکاریوت‌ها می‌باشد که در توالی ژنومی اکثر یوکاریوت‌ها وجود دارد. همچنین آغازگرهای داخلی IF و IR به منظور شناسایی وجود یا عدم وجود ژن در سطح DNA ژنومی در نظر گرفته شد که قطعه‌ای به طول ۳۲۲ جفت باز و توالی داخلی سازه حاوی ژن دلتا ۱۵ دسچوراز و پروموتور ناپین جهت تائید اتصال ژن دلتا ۱۵ دسچوراز به پروموتور ناپین به طول محصول ۱۲۱۰ جفت باز طراحی گردید. خصوصیات آغازگرهای مورد استفاده جهت تکثیر ژن مورد استفاده در جدول ۳-۱ آورده شده است.

-
- 1 - Primer
 - 2 - $\Delta 15$ desaturase ($\Delta 15de$)
 - 3 - Hairpin
 - 4 - Primer dimer
 - 5 - Melting temperature
 - 6 - GC content

جدول ۱-۳: توالی اختصاصی و داخلی ژن *Δ15de*، (FW و RW پرایمرهای اختصاصی)؛ (IRWD و IFWD پرایمرهای داخلی ژن *Δ15de*)؛ (IRWD و IFNP پرایمرهای داخلی ژن *napin* و *Δ15de*)

Primer	Sequense	Tm	Primer
FW	GCCTCTAGAATGTCAAAAAGTCACTGTTTCGGGGTTCGGG	65	39
RW	GGCTCTAGAGCCACCATGTCAAAAAGTCACTGTTTCGGG	65	39
IRWD	TTG CCA CGA ATG CTA CTG GT	57	20
IFWD	GGATTCTTGGACACGAATGC	57	20
IFWNP	AAA CCG TTC GGC TCC TAT CC	57	20

۳-۶ کشت مخمر پیکیاپاستوریس

مخمر *Pichia pastoris* سویه GS115 در ۲۵ ml محیط کشت^۱ YPD (حاوی ۱٪ عصاره مخمر، ۲٪ پپتون و ۲٪ دکستروز) و به مدت ۱۶ ساعت در دمای ۳۰ درجه سانتی‌گراد و دور شیکر ۱۵۰ rpm کشت گردید تا به OD₆₀₀ رسید.

۳-۶-۱ استخراج DNA ژنومی از پیکیاپاستوریس

استخراج DNA ژنومی از سلول‌های مخمري به روش CTAB انجام شد. ترکیب اصلی در این روش یک ماده شوینده CTAB می‌باشد، که علاوه بر این خاصیت، با دارا بودن بارهای مثبت می‌تواند اطراف مولکول‌های DNA را که بار منفی دارند بپوشاند که این عمل DNA را تا حد زیادی از سایر ترکیبات جدا می‌کند، مراحل استخراج DNA به شرح زیر است:

1 - yeast peptone dextrose

در ابتدا محیط کشت حاوی سلول‌های مخمری کشت شده به فالكون‌های ۵۰ میلی‌لیتری انتقال داده شدند و به مدت ۵ دقیقه در ۴۰۰۰ rpm و دمای اتاق سانتریفیوژ گردیدند. مایع رویی دور ریخته شد و ۱۰ میلی‌لیتر آب مقطر استریل به منظور شست و شوی محیط کشت به فالكون‌های حاوی رسوب سلولی اضافه و ورتکس شد تا یک مخلوط همگن بدست آید. سپس به مدت ۳ دقیقه در ۴۰۰۰ rpm و دمای اتاق سانتریفیوژ گردید. مایع رویی دور ریخته شد و به منظور خشک کردن و آبگیری ۳ دقیقه در ۴۰۰۰ rpm سانتریفیوژ شد. حدود ۵۰۰ تا ۶۰۰ میلی‌گرم از رسوب سلولی مخمر به هاون انتقال داده شد و توسط ازت مایع کوبیده شد. سپس ۸۰۰ میکرولیتر از بافر^۱ CTAB (حاوی CTAB ۲٪، PVP 40 ۲٪، Tris-HCl ۱۰ میلی‌مولار، EDTA ۴ میلی‌مولار و NaCl ۲۸ مولار) اضافه شد و ورتکس گردید، تا یک مایع هموژنیزه بدست آید و به مدت ۱۰ دقیقه در بن ماری در دمای ۶۵ درجه سانتی‌گراد نگهداری شد. سپس ۲/۵ میلی‌لیتر مرکاپتواتانول^۲ اضافه گردید و ۳۰ دقیقه در بن ماری قرار داده شد. سپس به مدت ۱۰ دقیقه در دمای ۴ درجه سانتی‌گراد و ۱۲۰۰۰ rpm سانتریفیوژ شد. فاز رویی به میکروتیوب‌های جدید و استریل منتقل گردید. مخلوط کلروفرم^۳: ایزوآمیل‌الکل^۴ به نسبت ۱:۲۴ به هر میکروتیوب افزوده شد و عمل معکوس کردن به آرامی ۴ تا ۵ مرتبه انجام گرفت. سانتریفیوژ به مدت ۱۰ دقیقه و ۱۲۰۰۰ rpm در ۴ درجه سانتی‌گراد انجام شد و در این مرحله سه فاز تشکیل گردید. فاز رویی که حاوی DNA با دقت به میکروتیوب جدید منتقل و مجدداً کلروفرم: ایزوآمیل‌الکل هم حجم با مایع فاز رویی اضافه و سانتریفیوژ به مدت ۸ دقیقه در ۴ درجه سانتی‌گراد و ۱۲۰۰۰ rpm انجام گردید. در این مرحله دوباره مایع رویی را جدا کرده و به میکروتیوب ۱/۵ میلی‌لیتری انتقال داده شد و ۳۰۰ میکرولیتر آمونیوم استات^۵ و ۵۰۰ میکرولیتر ایزوپروپانول^۶ سرد به میکروتیوب‌ها افزوده شد تا رسوب تشکیل شود. نمونه‌ها داخل فریزر ۲۰- درجه سانتی‌گراد به مدت

1 - Cetyl Trimethyl Ammonium Bromide (CTAB)
 2 - β-Mercaptoethanol
 3 - Chloroform
 4 - Isoamyl alcohol
 5 - Aminiom acetat
 6 - Cold Isopropanol

یک شبانه‌روز نگهداری شد. پس از سانتریفیوژ به مدت ۱۰ دقیقه در ۴ درجه سانتی‌گراد و ۱۲۰۰۰ rpm رسوب سفیدرنگی ته تیوب دیده شد. سپس ۷۰۰ میکرولیتر اتانول ۱۰۰٪ سرد اضافه شد و ۱۵ دقیقه در دمای اتاق انکوبه گردید. سانتریفیوژ ۵ دقیقه در ۴ درجه سانتی‌گراد و ۱۲۰۰۰ rpm انجام شد. بار دوم شست و شو با الکل (۷۰٪ (v/v) و سانتریفیوژ به مدت ۲ دقیقه در ۱۲۰۰۰ rpm صورت پذیرفت. به مدت یک ساعت میکروتیوب‌ها را به صورت معکوس و در باز روی دستمال استریل قرار داده تا خشک شدند. بعد از خشک شدن مقدار ۵۰ میکرولیتر آب مقطر دیونیزه^۱ اضافه گردید تا DNA حل شود. سپس نمونه DNA استخراجی در -۲۰ درجه سانتی‌گراد به منظور بررسی کیفیت و اندازه‌گیری غلظت نگهداری شد.

۷-۳ واکنش زنجیره‌ای پلیمراز جهت تکثیر ژن *A15de*

واکنش PCR با استفاده از آغازگرهای داخلی و DNA ژنومی استخراج شده از مخمر *P.pastoris* و به منظور شناسایی وجود یا عدم وجود ژن در سطح DNA ژنومی قبل از انجام استخراج RNA و ساخت cDNA انجام پذیرفت. برای انجام واکنش PCR، از دستور العمل ویلیامز^۲ و همکاران (۱۹۹۰) با اندکی تغییرات استفاده شد. مخلوط ۲۰ میکرولیتری PCR محتوی: ۱ میکرولیتر، ۱۰۰ نانوگرم DNA الگو، ۱/۵ میکرولیتر $MgCl_2$ ۵۰ میلی مولار، ۰/۵ میکرولیتر dNTP ۱۰ میلی مولار، ۰/۵ میکرولیتر آنزیم Taq DNA polymerase با غلظت ۲/۵ unit/ μ l، آغازگرهای رفت و برگشت با غلظت 10 ppm، ۲ میکرولیتر، 1× PCR Buffer دارای غلظت 10× ۲/۵ میکرولیتر، ۱/۵ میکرولیتر منیزیم کلرید ($MgCl_2$) و ۱۲.۵ میکرولیتر آب دو بار تقطیر استریل بود.

1 - Dionized Water
2- Williams

۳-۷-۱ الگوی دمای واکنش زنجیره‌ای پلیمرز

پروتکل PCR با ۹۴ درجه سانتی‌گراد و ۵ دقیقه آغاز گردید و ۳۵ سیکل (۹۴ درجه سانتی‌گراد: ۱ دقیقه، ۶۵ درجه سانتی‌گراد: ۱ دقیقه برای آغازگرهای اختصاصی و ۵۷ درجه سانتی‌گراد برای آغازگرهای داخلی، ۷۲ درجه سانتی‌گراد: ۱:۳۰ دقیقه و ۷۲ درجه سانتی‌گراد: ۲ دقیقه) ادامه یافت.

۳-۸ استخراج RNA

استخراج RNA از سلول‌های مخمر به روش فنل اسیدی گرم (۲۱) به قرار زیر انجام گرفت. ابتدا یک تک کلونی از مخمر به ۱۰ میلی‌لیتر محیط کشت مایع YPD افزوده شد و به مدت یک شبانه روز در شیکر انکوباتور در دمای ۲۷ درجه سانتی‌گراد قرار داده شد تا به مقدار رشد مورد نظر رسید. محیط کشت به فالكون‌های ۵۰ میلی‌لیتری منتقل شد و سلول‌ها به مدت ۵ دقیقه با ۷۰۰۰ rpm در دمای ۴ درجه سانتی‌گراد سانتریفیوژ گردید و مایع رویی حذف و رسوب ته‌نشین شده نگاه‌داری شد. ۱ میلی‌لیتر آب مقطر استریل سرد به پلیت‌ها افزوده و مخلوط گردید و سوسپانسیون حاصله به میکروتیوب‌های ۱/۵ میلی‌لیتری منتقل شدند، به مدت ۱ دقیقه در دمای ۴ درجه سانتی‌گراد و ۷۰۰۰ rpm سانتریفیوژ گردیدند، مایع رویی حذف گردید و ۴۰۰ میکرولیتر محلول بافر TES (۱۰ میلی مولار Tris-Hcl - PH 7/5، ۱۰ میلی مولار EDTA، 0/5% SDS) و ۴۰۰ میکرولیتر فنول اسیدی با (pH = 5) افزوده و به مدت یک دقیقه ورتکس شدید گردید و در بن‌ماری در دمای ۶۵ درجه سانتی‌گراد به مدت ۵ دقیقه قرار داده شد. این مرحله ۶ بار تکرار گردید. میکروتیوب‌ها از بن‌ماری خارج گردیدند و به مدت ۵ دقیقه روی یخ قرار داده شدند. سانتریفیوژ به مدت ۵ دقیقه در ۱۴۰۰۰ rpm در دمای ۴ درجه سانتی‌گراد انجام شد. فاز بالایی به میکروتیوب‌های جدید ۱/۵ میلی‌لیتری منتقل شدند. ۴۰۰ میکرولیتر فنول اسیدی به هر میکروتیوب افزوده شد و به مدت ۵ دقیقه ورتکس شد. میکروتیوب‌ها به مدت ۵ دقیقه روی یخ قرار گرفتند و به مدت ۵ دقیقه در ۱۴۰۰۰ rpm

در ۴ درجه سانتی‌گراد سانتریفیوژ شدند. فاز بالایی به میکروتیوب‌های جدید منتقل و ۴۰ میکرولیتر استات سدیم ۳ مولار (pH=5.3) جهت رسوب دهی RNA افزوده شد و سپس اتانول ۱۰۰٪ به میزان دو برابر حجم هر میکروتیوب جهت شستشوی رسوب مخمر اضافه شد. سانتریفیوژ به مدت ۵ دقیقه در ۱۴۰۰۰ rpm در دمای ۴ درجه سانتی‌گراد صورت گرفت. شستشوی پلیت RNA با اتانول ۷۰٪ و سپس سانتریفیوژ به مدت ۵ دقیقه در ۱۴۰۰۰ rpm در دمای ۴ درجه سانتی‌گراد انجام شد. تخلیه کامل میکروتیوب‌ها انجام و به مدت ۳۰ دقیقه به صورت بر عکس تحت شرایط استریل جهت خشک شدن کامل پلیت قرار داده شد. ۲۵ میکرولیتر آب دیونیزه به پلیت افزوده شد تا پس از گذشت ۳۰ دقیقه پلیت کاملاً حل گردید. میکروتیوب‌ها در دمای ۲۰- درجه تا زمان استفاده مجدد نگهداری گردیدند.

۳-۸-۱- بررسی کمیت و کیفیت DNA و RNA استخراجی

۳-۸-۱-۱- بررسی کمیت DNA به روش اسپکتوفتومتری

برای بررسی کمیت DNA، از دستگاه اسپکتروفتومتر استفاده شد. ابتدا با آب DEPC دستگاه کالیبره شد، سپس ۲ میکرولیتر از نمونه استخراج شده به همراه ۱۹۸ میکرولیتر آب مقطر درون کوت کوارتز قرار داده شد و میزان جذب نور در طول موج ۲۶۰ نانومتر قرائت شد.

۳-۸-۲- الکتروفورز ژل آگاروز با دستگاه الکتروفورز افقی

جهت بررسی کیفیت DNA ژنومی از نظر شکستگی از الکتروفورز ژل آگارز ۱ درصد استفاده شد. جریان الکتریکی با ولتاژ ۱۰۰ و به مدت ۴۰ دقیقه برقرار گردید.

۳-۸-۳ تعیین کمیت و کیفیت RNA

به منظور تعیین خلوص و غلظت RNA استخراج شده از روش‌های اسپکتوفتومتری و الکتروفورز ژل آگاروز استفاده گردید.

۳-۸-۳-۱ الکتروفورز ژل آگاروز

جهت تائید استخراج RNA از سلول مخمر، نمونه RNA استخراج شده روی ژل الکتروفورز ۱/۲ درصد بارگذاری شدند.

۳-۹-۹ تیمار با DNaseI برای حذف آلودگی DNA

جهت از بین بردن DNA ژنومی در نمونه RNA از آنزیم DNaseI استفاده گردید. ابتدا کمیت هر نمونه RNA اندازه‌گیری شد و به ازای هر یک میکروگرم RNA استخراجی یک واحد آنزیم DNaseI را به نمونه RNA اضافه شد و به مدت ۳۰ دقیقه درون حمام آب گرم با دمای ۳۷ درجه سانتی‌گراد انکوبه گردید. برای غیر فعال شدن آنزیم آن را به مدت ۱۰ دقیقه در دمای ۶۵ درجه سانتی‌گراد قرار گرفت.

۳-۹-۱ سنتز cDNA

جهت سنتز cDNA، ۰/۵ میکروگرم oligodT به ۱۰ میکرولیتر از RNA مرحله قبل افزوده شد و به مدت ۵ دقیقه در دمای ۶۵ درجه سانتی‌گراد قرار داده شد. سپس ۲ میکرولیتر بافر ساخت cDNA10x و ۲ میکرولیتر dNTP و ۱ میکرولیتر آنزیم Reverse transcriptase افزوده و با آب عاری از نوکلئاز به حجم ۲۰ رسانده شد. به مدت ۶۰ دقیقه در ۴۲ درجه سانتی‌گراد انکوبه شد. واکنش در دمای ۷۰ درجه سانتی‌گراد به مدت ۱۰ دقیقه جهت غیرفعال‌سازی خاتمه رسید و cDNA سنتز شده در دمای ۲۰- درجه سانتی‌گراد نگهداری شد.

۳-۹-۲ واکنش زنجیره‌ای پلیمرز جهت تکثیر ژن دلتا ۱۵ سچوراز از روی cDNA

واکنش PCR با استفاده از آغازگرهای اختصاصی *Δ15de* و با استفاده از cDNA ساخته شده و به منظور جداسازی ژن مورد نظر صورت گرفت مخلوط ۲۰ میکرولیتری PCR محتوی ۱ میکرولیتر از DNA با غلظت ۱۰۰ نانوگرم الگوی تهیه شده، ۱/۵ میکرولیتر $MgCl_2$ ۵۰ میلی مولار، ۰/۵ میکرولیتر dNTP ۱۰ میلی مولار، ۰/۵ میکرولیتر آنزیم Taq DNA polymerase ۵ unit/μl، ۱ میکرولیتر آغازگر رفت و ۱ میکرولیتر آغازگر برگشت ۱۰ pmm، ۲/۵ میکرولیتر PCR Buffer 1x و با ۱۲/۵ میکرولیتر آب دوبار تقطیر استریل به حجم نهایی رسید.

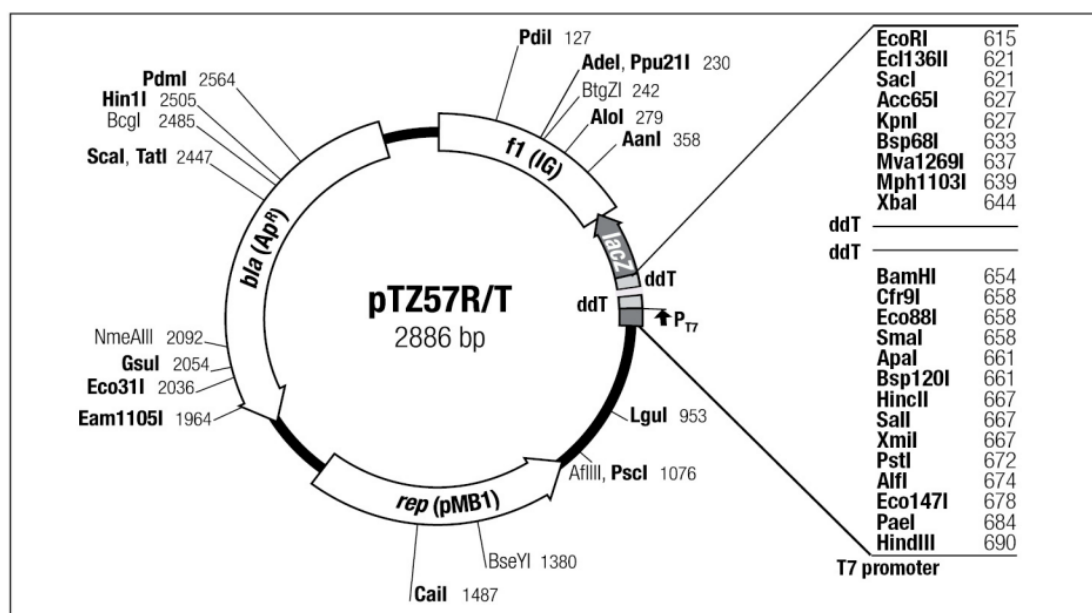
شرایط تکثیر شامل: واسرشت‌سازی اولیه ۱ دقیقه در دمای ۹۵ درجه سانتی‌گراد، ۳۵ چرخه (واسرشت-سازی ۱ دقیقه در دمای ۹۴ درجه، اتصال ۱ دقیقه در دمای ۶۵ درجه و طول‌سازی ۱ دقیقه در دمای ۷۲ درجه) سپس طول‌سازی نهایی در دمای ۷۲ درجه به مدت ۷ دقیقه در نظر گرفته شد.

۳-۹-۳ انجام الکتروفورز با استفاده از ژل آگارز و جداسازی قطعه تکثیری از روی ژل

محصول PCR روی ژل آگارز ۱٪ برده شد و به مدت ۲۰ دقیقه با ولتاژ ۱۰۴ ولت الکتروفورز انجام شد. رنگ آمیزی ژل با استفاده از اتیدیوم بروماید صورت گرفت. اندازه باند مورد نظر توسط نشانگر وزنی مولکولی واقع در کنار چاهک مربوط به محصول PCR تایید شد. پس از مشاهده‌ی باند مورد نظر و تایید اندازه‌ی ژل آگارز بر روی ترانس لومیناتور قرار گرفت و قطعه مورد نظر توسط تیغ اسکالپل جدا شد و استخراج از ژل ژن مورد نظر بر طبق پروتکل کیت شرکت تکاپوزیست - تهران (آلمان Bioneer) انجام گرفت.

۳-۱۰ الحاق ژن $\Delta 15de$ به درون ناقل *PTZ57R/T*

برای کلون کردن محصولات PCR نیاز به اتصال یک نوکلئوتید A به انتهای ۳' قطعه تکثیر شده می‌باشد. آنزیم Taq DNA polymerase توانایی انجام این اتصال بدون الگو را دارد. برای کلون کردن ژن از *pTZ57R/T* Vector (شکل ۳-۳) استفاده گردید. این ناقل به صورتی است که نوکلئوتید-های A در دو انتهای ژن به صورت مکمل در مقابل نوکلئوتیدهای T از ناقل قرار می‌گیرد و آنزیم لیگاز باعث اتصال آنها می‌شود.



شکل ۳-۳ نقشه پلاسمید *pTZ57R/T*. این پلاسمید دارای جایگاه برشی آنزیم‌های محدود کننده *XbaI* و *SacI* است. اتصال در این وکتور با جفت شدن نوکلئوتید A از محصول PCR و نوکلئوتید T از پلاسمید صورت می‌گیرد و پیوند فسفودی استر توسط آنزیم لیگاز برقرار می‌گردد.

برای واکنش اتصال ۱ میکرولیتر از ناقل، ۱۲ میکرولیتر محصول PCR، ۲ میکرولیتر بافر T4 لیگاز $\times 10$ ، ۱ میکرولیتر T4 لیگاز و در نهایت آب دوبار تقطیر به واکنش افزوده شد و حجم نهایی به ۲۰ میکرو لیتر رسانده شد. به مدت یک ساعت در دمای ۱۶ درجه سانتی‌گراد قرار گرفت. محصول اتصال بدست آمده طبق روش بعد به باکتری *E. coli* سویه‌ی DH5 α منتقل شد.

۳-۱۰-۱- تهیه سلول‌های مستعد در شرایط استریل

یک تک کلون از کشت جامد باکتری *E. coli* سویه DH5 α بر داشته و در محیط LB مایع در دمای ۳۷ درجه سانتی‌گراد به مدت ۱۸-۱۶ ساعت در دستگاه شیکر-انکوباتور با سرعت ۱۵۰rpm رشد داده شد. کشت شبانه به میزان ۱:۴۹ رقیق شده و به مدت ۲ ساعت در همان شرایط نگهداری گردید. پس از گذشت زمان مورد نیاز نمونه به مدت ۲۰ دقیقه بر روی یخ سرد شدند. محلول حاصل به میکروتیوب‌های ۱/۵ میلی‌لیتری سرد منتقل و به مدت ۵ دقیقه در ۴۰۰۰ دور در دقیقه سانتریفیوژ شدند. مایع رویی بیرون ریخته شد و به باکتری‌های رسوب داده شده مقدار ۱ میلی‌لیتر کلرید کلسیم ۱۰۰ میلی مولار سرد به رسوب اضافه گردید و به آرامی با عمل پیپتینگ مخلوط هموزن شد. نمونه‌ها به مدت یک ساعت بر روی یخ قرار گرفتند. طبق مرحله قبل نمونه‌ها سانتریفیوژ شدند. بعد از این مرحله سلول‌ها آماده دریافت DNA خارجی بودند. این نوع سلول‌ها، سلول‌های مستعد نامیده می‌شوند، زیرا آماده دریافت DNA خارجی هستند.

۳-۱۰-۲- تراریختی سلول‌های مستعد باکتری *E. coli*

به منظور تراریختی باکتری *E. coli* از روش شوک حرارتی استفاده شد. به این صورت که ۱۰ میکرولیتر محصول اتصال را به سلول‌های مستعد اضافه و پس از زدن چند ضربه آرام انگشت به تیوب، به مدت ۴۰ دقیقه مجدداً بر روی یخ قرار گرفتند. سپس نمونه‌ها به مدت ۲ دقیقه درون حمام آب گرم دمای ۴۲ درجه سانتی‌گراد قرار داده شدند و به سرعت به یخ صفر درجه سانتی‌گراد به مدت ۵ دقیقه منتقل شدند. ۱ میلی‌لیتر محیط کشت LB بدون آنتی‌بیوتیک به میکروتیوب‌ها افزوده و به

مدت ۲ ساعت در دمای ۳۷ درجه سانتی‌گراد و بروی دستگاه شیکر-انکوباتور با سرعت ۱۵۰ rpm قرار گرفتند. سلول‌های باکتری در دمای ۴ درجه سانتی‌گراد و به مدت ۳ دقیقه در ۵۰۰۰ rpm رسوب داده شدند. پس از حذف ۶۰۰ میکرولیتر از مایع رویی، رسوب به کمک ورتکس در باقیمانده محیط کشت حل شد. سپس در ۲ پتری حاوی LB جامد حاوی آنتی‌بیوتیک آمپی‌سیلین کشت گردید. و در دمای ۳۷ درجه سانتی‌گراد قرار داده شد.

۳-۱۰-۳ استخراج پلاسمید

استخراج پلاسمید به روش لیز قلیایی به شرح زیر صورت گرفت: یک کلونی از باکتری *E. coli* حاوی پلاسمید نو ترکیب مورد نظر در ۱۵ میلی‌لیتر از محیط کشت LB مایع حاوی ۵۰ میلی‌گرم بر لیتر آنتی‌بیوتیک آمپی‌سیلین کشت داده شد. این محیط به مدت یک شب در دمای ۳۷ درجه سانتی‌گراد در دستگاه شیکر-انکوباتور با سرعت ۱۵۰ rpm قرار داده شد. میکروتیوب‌های حاوی محیط کشت و باکتری رشد کرده به مدت ۵ دقیقه با سرعت ۵۰۰۰ rpm دمای ۴ درجه سانتی‌گراد سانتریفیوژ شدند. محلول رویی حذف و رسوب باکتری برای مراحل بعد نگهداری شد. در این مرحله سعی شد تا حد امکان رسوب حاصل خشک شود. ۲۰۰ میکرولیتر از محلول شماره I (۵۰ میلی‌مولار گلوکز، ۲۵ میلی‌مولار تریس (pH = 8) و ۱۰ میلی‌مولار EDTA، محلول حاصل باید اتوکلاو شود). به هر یک از میکروتیوب‌ها اضافه شد. و پس از ورتکس به مدت ۱۰ دقیقه در دمای اتاق نگهداری شد. سپس میکروتیوب‌ها بر روی یخ قرار داده شدند و مقدار ۳۰۰ میکرولیتر از محلول شماره II (۲/۰ مولار NaOH و ۱ درصد SDS) که در هر بار استخراج پلاسمید باید تازه تهیه شود، به هر تیوب اضافه شد و به مدت ۳ دقیقه بر روی یخ نگهداری شد. در این مرحله عمل ورتکس کردن نباید صورت گیرد و مخلوط با چندین بار سر و ته کردن میکروتیوب‌ها انجام می‌گیرد. بلافاصله مقدار ۴۰۰ میکرولیتر از محلول III (۵۰ میلی‌مولار پتاسیم استات، ۱۱۵ میلی‌لیتر استیک اسید)، به صورت سرد اضافه گردید. در این مرحله پس از اضافه کردن محلول III باید توده سفید رنگی (ابر مانند) تشکیل شود. سپس

میکروتیوب‌ها بر روی یخ به مدت ۲۰ دقیقه نگهداری و با سرعت ۱۲۰۰۰ rpm در دمای ۴ درجه سانتی‌گراد به مدت ۱۰ دقیقه سانتریفیوژ گردیدند. مایع روئی به میکروتیوب‌های ۱/۵ میلی‌لیتری منتقل شدند و هم حجم مایع انتقالی ایزوپروپانول سرد اضافه شد و به آرامی چند بار سر و ته شدند و به مدت یک ساعت در دمای ۲۰- درجه قرار گرفت. پس از این مرحله رسوب دهی با دستگاه سانتریفیوژ به مدت ۱۰ دقیقه و با سرعت ۱۲۰۰۰ rpm، دمای ۴ درجه سانتی‌گراد صورت گرفت. رسوب حاصل یک بار با اتانول خالص و بار دوم با اتانول ۷۰٪ شستشو داده شد. بعد از تخلیه اتانول به مدت ۳۰ دقیقه در دمای اتاق بر روی کاغذ صافی قرار گرفت تا رسوب حاصل خشک شود. رسوب حاصله در ۳۰ میلی‌لیتر آب مقطر استریل حل گردید و برای استفاده‌های بعدی در ۲۰- درجه سانتی‌گراد نگهداری شد.

۳-۱۰-۴ هضم آنزیمی با آنزیم‌های برشی *SacI* و *XbaI*

جهت تأیید اتصال قطعه ژن به وکتور و همچنین جداسازی ژن از وکتور و انتقال به وکتور *pKS* هضم آنزیمی صورت گرفت. برای انجام واکنش هضم آنزیمی بر طبق پروتکل ۹ میکرو لیتر از DNA (پلاسمید نو ترکیب استخراج شده)، ۲ میکرو لیتر بافر χ Tango1، ۰/۸ میکرو لیتر از آنزیم *XbaI* و ۱ میکرو لیتر از آنزیم *SacI* و در نهایت توسط آب دیونیز به حجم نهایی ۲۰ میکرو لیتر رسانده شد و میکروتیوب‌ها در دمای ۳۷ درجه سانتی‌گراد به مدت ۳ ساعت قرار گرفتند. غیرفعال سازی در ۶۵ درجه سانتی‌گراد به مدت ۲۰ دقیقه صورت گرفت.

۳-۱۱ الحاق ژن به درون ناقل *pBluescript II ks(+)* حاوی پروموتور *Napin*

ناقل *Pks* دارای ناحیه *LacZ* می‌باشد. همچنین دارای یک نشانگر انتخابی آمپی‌سیلین است که مقاومت به آنتی‌بیوتیک آمپی‌سیلین را القاء می‌کند. این ناقل دارای جایگاه‌های شناسایی برشی آنزیم *HindIII* و *SacI* و *XbaI* است. علاوه بر موارد بالا ویژگی دیگر وکتور بکار برده شده در این پژوهش الحاق پروموتور *Napin* در این ناقل می‌باشد (۸۰). پروموتور *Napin* بدلیل اینکه پروموتور ویژه دانه

می باشد باعث بیان ژن در بذر شده و کمک به بررسی بیان ژن در بذر گیاهان ترانسفورم شده می کند. در نواحی ۵' این ژن توالی آنزیم های برشی *HindIII* و *XbaI* تعبیه شده است. دلایلی که باعث انتخاب سایت های برشی *SacI* و *XbaI* در توالی ژن *Δ15de* گردید عبارتند از : توالی این دو آنزیم در توالی ژن *Δ15de* وجود نداشت، اگر توالی در ژن موجود باشد هنگام استفاده از آنزیم برشی باعث تکه تکه شدن ژن می گردد. بدلیل وجود توالی *XbaI* در انتهای ژن ناپین و در نظر داشتن اینکه ژن *Δ15de* در ادامه توالی این پروموتور قرار گیرد، از توالی این آنزیم های برشی استفاده گردید. دلیل استفاده از این ناقل وجود پروموتور ناپین بود تا بتوان بعد از الحاق ژن *Δ15de* به این پروموتور همزمان این سازه را به ناقل دوگانه *pBI121* جهت انتقال و بررسی بیان ژن در گیاه بکار برده شود. پلاسمید *Psk* حاوی پروموتور ناپین از باکتری *E. coli* سویه DH5α استخراج شد.

۳-۱۱-۱ اتصال سازه به ناقل *PKS* حاوی ژن *Napin*

به میزان ۱۰-۵ میکرولیتر از ناقل *pKS* و قطعه مربوط به ژن *Δ15de* مورد هضم آنزیمی قرار گرفت و سپس واکنش اتصال صورت گرفت؛ مقادیر مناسبی از ژن و پلاسمید به ترتیب به نسبت ۱:۳ ، ۲ ، میکرولیتر بافر ۱۰ لیگاز T4 ، ۱ میکرولیتر آنزیم T4 لیگاز، و در نهایت با آب دیونیزه به حجم نهایی ۲۰ میکرولیتر رسانده شد و میکروتیوب ها به مدت ۱ ساعت در دمای ۱۶ درجه سانتی گراد قرار داده شدند. تراریخت کردن باکتری با محصول واکنش اتصال به روش شوک حرارتی که در صفحات قبل ذکر شد انجام گرفت و باکتری ها بر روی محیط کشت آنتی بیوتیک آمپی سیلین دار رشد داده شدند. *pKS* حاوی ژن مقاومت به آنتی بیوتیک آمپی سیلین است. به منظور اطمینان از حضور ناقل تراریخت، به صورت تصادفی از کلونی های مختلف رشد کرده بر روی محیط آنتی بیوتیک دار به صورت تک کلون انتخاب و همزمان هم کشت مایع و هم کشت جامد انجام شد. در مرحله بعد از کلونی های مختلف که به صورت مایع کشت داده شده بودند پلاسمید استخراج شد. کلونی PCR با آغازگرهای اختصاصی ژن *Δ15de* و آغازگرهای داخلی پروموتور ناپین و *Δ15de* انجام گرفت. برای اطمینان بیشتر

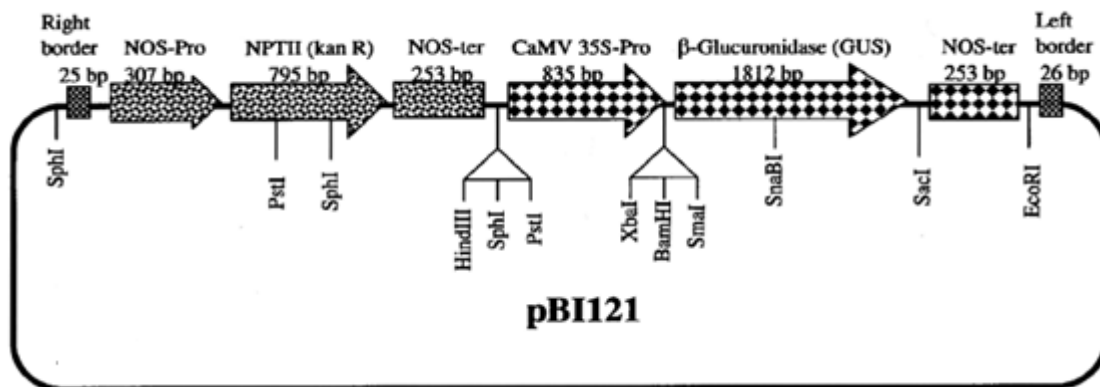
کلونی‌هایی که نتایج PCR آنها نشان دهنده قطعه مورد نظر بود. تحت هضم آنزیمی با آنزیم‌های *HindIII* و *SacI* قرار گرفت و قطعات حاصل و اندازه آن‌ها بر روی ژل آگارز مورد بررسی قرار گرفت. یکی از راه‌های مطمئن برای اطمینان از صحیح بودن سازه $\Delta 15d$ ، درست قرار گرفتن قطعه‌ی $\Delta 15d$ در جایگاه مناسب و صحیح بودن نوکلئوتیدها در قطعه‌ی $\Delta 15d$ می‌باشد که بدین منظور، ناقل حامل ژن $\Delta 15d$ برای توالی یابی ارسال گردید.

۱۲-۳ آماده سازی ناقل گیاهی

ناقل گیاهی مورد استفاده در این پژوهش پلاسمید *pBI121* بود (شکل ۳-۲). این ناقل به روش سمبروک و همکاران (۱۹۹۸) از باکتری *E. coli* سویه DH5 α استخراج شد و سپس برش با آنزیم‌های *HindIII* و *SacI* به منظور حذف ژن *Gus* صورت گرفت. مراحل اتصال ژن و ناقل بر طبق پروتکل ذکر شده در بخش ۳-۱۱-۱ صورت گرفت.

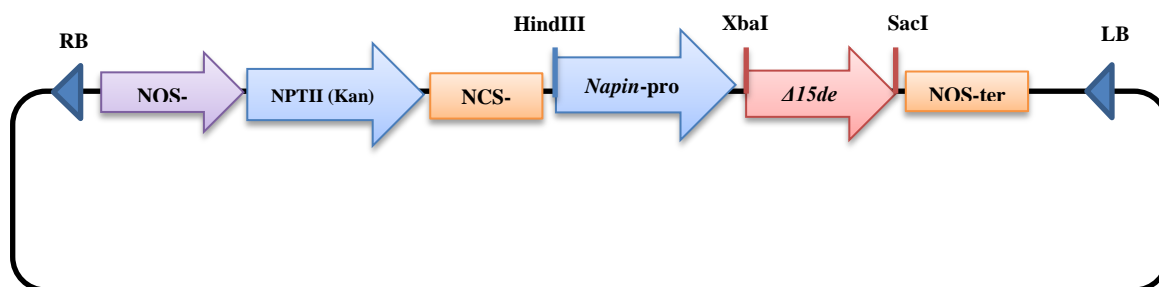
۱۳-۳ - انتقال کاست ژنی $Nap^+ \Delta 15de$ برش خورده به ناقل *pBI121*

ناقل *pBI121* با توالی به طول ۱۴۷۵۸ جفت باز به منظور استفاده در انتقال ژن ساخته شده است. این ناقل از ناحیه‌ی T-DNA که ۶۱۹۳ جفت باز طول دارد، تشکیل شده است. همچنین دارای دو نشانگر انتخابی است (شکل ۳-۴). که عبارتند از: نئومایسین فسفوترانسفراز II (NPTII) است، که مقاومت نسبت به آنتی‌بیوتیک کانامایسین را القا می‌کند و دارای راه‌انداز و خاتمه دهنده (NOS) Nopaline synthase است؛ β -گالاکتورونیداز (*GUS*) که دارای راه‌انداز CaMV35s و خاتمه دهنده NOS است. ناحیه‌ی غیر T-DNA ۸۵۶۵ جفت باز طول دارد. این ناقل دارای جایگاه‌های شناسایی آنزیم‌های برشی *HindIII* و *SacI* است. ژنی که در بین بازوی چپ و راست T-DNA قرار گیرد انتقال می‌یابد و می‌تواند هم در *E. coli* و هم در آگروباکتریوم تکثیر شود. به همین دلیل به این نوع از وکتورها، وکتور دو گانه گویند (۱۷).



شکل ۳-۴ نمایی از ناقل *pBI121* که دارای سایت‌های برشی مختلف و ژن‌های نشانگر انتخابی است. جهت وارد کردن قطعه جدید به این ناقل ، ژن *GUS* و پروموتور *CaMV* توسط آنزیم برشی *HindIII* و *SacI* از ناقل جدا شد.

همانطور که در شکل (۳-۵) نشان داده شده است؛ به منظور حذف ژن *GUS* و پروموتور *CaMV35s* ایجاد انتهای چسبنده سازگار از ناقل *pBI121* از آنزیم‌های برشی *HindIII* و *SacI* استفاده شد.



شکل ۳-۵ نمایی از سازه نو ترکیب *pBI121:nap + Δ15de* پس از برش توسط آنزیم‌های برشی *HindIII* و *SacI* الحاق سازه ژنی *nap + Δ15de* به وکتور *pBI121* صورت گرفت.

۳-۱۳-۱ انتقال سازه نو ترکیب به باکتری *E. coli*

محصول لایگشن توسط روش شوک حرارتی به باکتری *E. coli* سویه DH5 α منتقل و در محیط کشت حاوی آنتی‌بیوتیک کانامایسین کشت داده شد. به منظور اطمینان از حضور ناقل تراریخت، به صورت تصادفی از کلونی‌های مختلف رشد کرده بر روی محیط آنتی‌بیوتیک‌دار به صورت تک کلون انتخاب و همزمان هم کشت مایع و هم کشت جامد انجام شد. در مرحله بعد از کلونی‌های مختلف که به صورت مایع کشت داده شده بودند پلاسمید استخراج شد. کلونی PCR با آغازگرهای اختصاصی ژن *Δ15de* و آغازگرهای داخلی پروموتور ناپین و *Δ15de* انجام گرفت. برای اطمینان بیشتر کلونی‌هایی که نتایج PCR آنها نشان دهنده قطعه مورد نظر بود. تحت هضم آنزیمی با آنزیم‌های *HindIII* و *SacI* قرار گرفت و قطعات حاصل و اندازه آن‌ها بر روی ژل آگارز مورد بررسی قرار گرفت.

۳-۱۳-۲ انتقال سازه نو ترکیب به آگروباکتریوم

برای تراریختی گیاه هدف از روش انتقال ژن با استفاده از آگروباکتریوم استفاده شد. لذا سازه ژنی *pBI121: Δ15de and napin* به آگروباکتریوم وارد گردید. برای تراریختی آگروباکتریوم بر طبق پروتکل انجماد و ذوب و با استفاده از CaCl_2 (mM) ۲۰ و ازت مایع استفاده شد. آماده سازی سلول باکتری و تراریختی به شرح زیر انجام گرفت.

یک تک کلون از آگروباکتریوم سویه LBA۴۴۰۴ در ۱۰ میلی لیتر محیط کشت LB مایع حاوی آنتی-بیوتیک ریفامپسین (ناقل *pBI121* مقاومت به کانامایسین را القاء می کند و آگروباکتریوم ژن مقاومت به ریفامپسین را دارد) کشت شد و در مدت دو روز در دمای ۲۸ درجه سانتی‌گراد در شیکر انکوباتور قرار گرفت. ۲ میلی لیتر از سوسپانسیون سلولی به ۵۰ میلی لیتر محیط جدید در ارلن استریل اضافه شد و روی شیکر انکوباتور با ۱۵۰ rpm در دمای ۲۸ درجه سانتی‌گراد به مدت ۴ ساعت قرار داده شد. سوسپانسیون سلولی به مدت ۱۰ دقیقه بر روی یخ قرار گرفت. سوسپانسیون سلولی موجود در

میکروتیوپ در ۳۰۰۰rpm به مدت ۵ دقیقه در ۴ درجه سانتی‌گراد سانتیریوفیوژ گردید. مایع رویی حذف شد و رسوب سلولی در ۱ میلی‌لیتر محلول CaCl_2 (mM) ۲۰ سرد شده حل گردید. سوسپانسیون سلولی در ویال‌های ۱/۵ توزیع شد. ۳-۴ میکرولیتر ناقل حاوی سازه ژنی مورد نظر به هر ویال افزوده شد. به آرامی مخلوط و سپس در نیتروژن مایع به مدت ۵ دقیقه قرار داده شد. ویال‌ها با قرار دادن در بن ماری ۳۷ درجه سانتی‌گراد به مدت ۵ دقیقه ذوب شدند. ۱ میلی‌لیتر محیط کشت LB فاقد آنتی‌بیوتیک افزوده شد و در شیکر به مدت ۳-۴ ساعت در دمای ۲۸ درجه در ۱۵۰ دور در دقیقه قرار گرفت. سپس در سانتیریوفیوژ با ۵۰۰۰rpm به مدت یک دقیقه قرار گرفت و رویه بالایی حذف گردید. سوسپانسیون سلولی مورد نظر بر روی محیط کشت LB جامد حاوی مقادیر مناسبی از آنتی‌بیوتیک‌های کانامایسین و ریفامپسین کشت داده شدند. به منظور ظهور کلونی‌های نوترکیب باکتری، پتری‌ها به طور وارونه به مدت یک الی سه روز در دمای ۲۸ درجه سانتی‌گراد نگهداری شدند. حضور سازه ژنی مورد نظر در باکتری‌ها با استفاده از کلونی PCR با استفاده از آغازگرهای اختصاصی ژن *Δ15de* و آغازگرهای داخلی ژن‌های *Δ15de* و ناپین و انجام برش توسط آنزیم‌های برشی *HindIII* و *SacI* مورد بررسی قرار گرفت. برای نگهداری باکتری‌ها در دمای ۲۰-، ۸۰۰ میکرولیتر از کشت شبانه مایع باکتری مورد نظر در شرایط کاملاً استریل با ۲۰۰ میکرولیتر گلیسرول به طور کامل مخلوط گردید. مخلوط حاصل قابلیت نگهداری در دمای ۷۰- درجه سانتی‌گراد به مدت طولانی را دارد.

۳-۱۴ تهیه محیط کشت گیاهی MS

محیط کشت MS (موراشیگ و اسکوک، ۱۹۶۲) محیط کشتی است که در کشت بافت گیاهی استفاده می‌شود. تهیه محیط کشت MS با استفاده از محلول‌های مادری مواد شیمیایی انجام می‌پذیرد. این محلول‌ها به طور معمول به صورت غلیظ (۱۰٪) تهیه می‌شود و در زمان استفاده به

میزان مورد نظر رقیق می‌گردد. محیط کشت MS شامل سه دسته مواد اصلی موسوم به مواد غذایی پر مصرف^۱، مواد غذایی کم مصرف^۲ و ویتامین‌ها است. هر یک از سه دسته مواد بالا را به صورت محلول مادری و با غلظت خاص تهیه شد. به منظور تهیه محلول مادری، مواد شیمیایی باید در آب مقطر بسیار خالص و یون‌زدایی شده حل گردند. در حل مواد شیمیایی باید دقت شود تا رسوب تشکیل نگردد. در مورد محلول‌های مادری نمک‌های ماکرو و میکرو، پس از حل شدن کامل هر ماده شیمیایی ماده دوم اضافه گردید. محیط MS مورد استفاده در این پژوهش به صورت MS پایه بود که محلول‌های ذخیره مورد نیاز برای تهیه آن با توجه به جدول ۳-۲ تهیه شد و تا زمان استفاده در دمای ۴ درجه سانتی‌گراد قرار گرفتند.

۳-۱۴-۱ ضد عفونی و کشت توتون

به منظور تهیه ریز نمونه، بذرهای گیاه توتون از مرکز تحقیقات جهاد کشاورزی ارومیه تهیه شد. بذور ابتدا بوسیله مایع ظرفشویی شسته شد و سپس به مدت یک دقیقه در الکل ۷۰٪ غوطه‌ور شد. سپس با آب مقطر استریل ۱-۲ مرتبه شستشو داده شد. ضد عفونی سطحی بذور به مدت ۱۵ دقیقه با وایتکس ۲/۵٪ صورت گرفت. در نهایت شستشوی مجدد ۳-۴ مرتبه با آب مقطر استریل انجام شد.

¹ - Macronutrients

² - Micronutrients

جدول ۲-۳ تهیه محلول‌های پایه موراشیگ و اسکوک (MS)

Constituent	Concentration in MS medium (mg/l)	Concentration in the stock solution (mg/l)	Volume to be taken/Liter of medium(ml)
Macronutrient (10x)			
NH ₄ NO ₃	1650	16500	100
KNO ₃	1900	19000	
MgSO ₄ .7H ₂ O	370	3700	
CaCl ₂ .2H ₂ O	440	4400	
KH ₂ PO ₄	170	1700	
Micronutrient (100X)			
H ₃ BO ₃	6.2	620	
MnSO ₄ .4H ₂ O	22.3	2230	10
ZnSO ₄ .7H ₂ O	8.6	860	
KI	0.83	83	
Na ₂ MoO ₄ .2H ₂ O	0.25	25	
CuSO ₄ .5H ₂ O	0.025	2.5	
CoCl ₂ .6H ₂ O	0.025	2.5	
Fe.EDTA-Na salt	40	Aded fresh	
vitamins			
Nicotinic acid	0.5	50mg/100ml	1
Thiamine HCl	0.1	50mg/100ml	0.2
Pyridoxine HCl	0.5	50mg/100ml	1
Myo-inositol	100	Aded fresh	
Sucrose	30000	Aded fresh	
Agar	8000	Aded fresh	
pH	5.8		

محیط کشت MS پایه، در فشار ۱/۲ بار در دمای ۱۲۱ درجه سانتی‌گراد به مدت ۲۰ دقیقه اتوکلاو شد و پس از اینکه دمای محیط کشت به حدود ۴۰ درجه سانتی‌گراد رسید درون شیشه توزیع شدند. سپس بذور استریل پس از خشک کردن با کاغذ صافی در شرایط استریل درون این شیشه‌ها کشت شدند و در شرایط ۱۶ ساعت روشنایی و ۸ ساعت تاریکی و دمای ۲۵ درجه سانتی‌گراد به مدت ۳۰ روز نگهداری شدند. تکثیر مواد گیاهی از طریق تقسیم ساقه گیاهان توتون رشد یافته در شرایط درون شیشه‌ای به قطعات کوچکتر، که هر قطعه حداقل حاوی یک جوانه و یک برگ بود انجام شد. سپس انتقال آن به ظروف شیشه‌ای حاوی محیط کشت MS جامد حاوی 1 mg l^{-1} هورمون BAP و 0.1 mg l^{-1} هورمون NAA کشت داده شد تا گیاهان باززا شوند. بعد از دو هفته از این گیاهان جهت تلقیح استفاده گردید.

۳-۱۴-۲ تهیه ریزنمونه^۱

به منظور بدست آوردن ریزنمونه، از برگ‌های تازه و جوان گیاه توتون به اندازه تقریباً ۴ سانتی‌متر استفاده شد. جهت تلقیح با باکتری برگ‌ها به شکل چهارگوش بریده شدند و در وسط برگ نیز زخم‌هایی با نوک اسکالپل ایجاد شد.

۳-۱۴-۳ تراریزش توتون با استفاده از آگروباکتریوم

انتقال ژن به گیاه توتون به روش آگروباکتریوم و باززایی مستقیم ریزنمونه‌های گیاهی توسط کشت بافت در محیط انتخابی حاوی آنتی‌بیوتیک‌های کانامایسین و سفوتاکسیم صورت گرفت. از آنتی‌بیوتیک‌های کانامایسین (برای گزینش گیاه تراریخت احتمالی) و نیز سفوتاکسیم (به دلیل محدودیت رشد باکتری آگروباکتریوم) در محیط انتخابی استفاده شد. ابتدا تک کلونی از باکتری آگروباکتریوم به محیط کشت LB مایع حاوی ۵۰ میلی‌گرم بر لیتر آنتی‌بیوتیک‌های کانامایسین و ریفامپسین انتقال داده شد. محیط کشت حاوی باکتری به مدت یک شب در دستگاه شیکر انکوباتور با

¹ - Explant

سرعت ۱۵۰ rpm و دمای ۲۸ درجه سانتی‌گراد قرار داده شد. سوسپانسیون باکتری به داخل فالكون منتقل و توسط سانتریفیوژ در دمای ۴ درجه سانتی‌گراد و با سرعت ۲۵۰۰ rpm رسوب داده شد. فاز رویی باکتری را دور ریخته و رسوب آن را نگه داشته و به آن محیط کشت مورد استفاده برای تلقیح (MS مایع) اضافه نموده تا به حجم ۱۰ میلی لیتر رسید. برای افزایش تراکم باکتری و OD بیشتر می‌توان پس از کشت شبانه در داخل هر فالكون عمل رسوب باکتری با سانتریفیوژ را دو مرتبه تکرار کرد. امولسیون باکتری و محیط کشت تلقیح مایع را به مدت ۳۰ دقیقه در دستگاه شیکر-انکوباتور با سرعت ۱۵۰ rpm و دمای ۲۸ درجه سانتی‌گراد قرار داده تا باکتری به محیط کشت عادت کرده و ما بین $OD = 0.6-0.8$ شود. در شرایط استریل امولسیون باکتری و محیط کشت به پتری دیش‌های حاوی برگ‌های برش‌خورده توتون انتقال داده شد. پس از قرار دادن ریزنمونه‌ها به مدت ۵ دقیقه در محیط تلقیح با استفاده از کاغذ صافی استریل سوسپانسیون باکتری را حذف و ریزنمونه‌ها روی کاغذ صافی خشک شدند. سپس ریز نمونه‌ها را به محیط هم‌کشتی (محیط MS حاوی هورمون BAP و NAA و فاقد آنتی‌بیوتیک)، منتقل و به مدت ۲ روز در تاریکی و دمای ۲۵ درجه سانتی‌گراد قرار داده شد تا آلودگی توسط آگروباکتریوم انجام پذیرد. پس از طی شدن طول دوره کشت هم‌زمان ریزنمونه‌ها را به محیط کشت باززایی انتخابی که دارای آنتی‌بیوتیک سفوتاکسیم به میزان 500 mg l^{-1} و کانامایسین به میزان 25 mg l^{-1} و 1 mg l^{-1} هورمون BAP و 0.1 mg l^{-1} هورمون NAA انتقال داده شد و به مدت دو هفته در شرایط ۱۶ ساعت روشنایی، ۸ ساعت تاریکی و دمای ۲۵ درجه سانتی‌گراد قرار داده شد. پس از دو هفته گیاهچه‌های باززا شده را از ریز نمونه در شرایط استریل جدا کرده و به محیط انتخابی دوم حاوی آنتی‌بیوتیک سفوتاکسیم به میزان 500 mg l^{-1} و کانامایسین به میزان 50 mg l^{-1} و هورمون‌ها با مقادیر ذکر شده منتقل شدند. هر دو هفته یک بار عمل واکشت بر روی محیط کشت باززایی انتخابی صورت پذیرفت. و مقادیر آنتی‌بیوتیک کانامایسین تا ۷۵ و 100 mg l^{-1} در هر بار واکشت افزایش یافت. بعد از هشت هفته ساقه‌های باززا شده در محیط حاوی

کانامایسین احتمالاً تراریخت می باشند. در این مرحله گیاهچه ها را به محیط ریشه زایی محیط MS حاوی 500 mg l^{-1} سفوتاکسیم و 50 mg l^{-1} کانامایسین بدون هورمون انتقال می دهیم.

۳-۱۴-۴ استخراج DNA ژنومی از گیاهان تراریخته احتمالی

استخراج DNA ژنومی، از برگ های گیاه توتون تراریخته احتمالی و شاهد استفاده شد. DNA ژنومی همانطور که در بخش (۳-۶-۱) ذکر شد استخراج گردید.

۳-۱۴-۵ استخراج RNA

جداسازی RNA کل از برگ های گیاه توتون تراریخت احتمالی با استفاده از کیت RNA-X plus شرکت سیناژن انجام شد.

۳-۱۴-۶ سنتز cDNA

سنتز cDNA همانطور که در بخش ۳-۹-۱ گفته شد، انجام گرفت.

۳-۱۴-۷ انجام واکنش PCR برای DNA و cDNA گیاه تراریخت احتمالی حاوی سازه

ژنی *Napin + Δ15de*

جهت تایید انتقال سازه مورد نظر به گیاه توتون واکنش PCR با استفاده از آغازگرهای اختصاصی ژن *Δ15de* و آغازگرهای داخلی طراحی شده *Napin + Δ15de* برای DNA و RNA کل استخراج شده، انجام گرفت.

۳-۱۵ بررسی بیوانفورماتیکی ژن $\Delta 15de$

توالی نوکلئوتیدی حاصل با استفاده از سایت‌های زیر مورد تجزیه و تحلیل قرار گرفت:

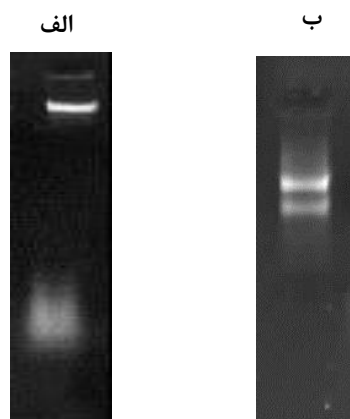
با استفاده از نرم‌افزارهای: EXPASY (<http://expasy.org/tools>), NCBI (<http://www.ncbi.nih.gov>), TMHMM, (<http://www.cbs.dtu.dk/services/TMHMM>) Signalp, (<http://www.cbs.dtu.dk/services/signal>) توالی حاصل با توالی موجود در NCBI مورد مقایسه قرار گرفت. خصوصیات بیوشیمیایی بدست آمده با استفاده از نرم‌افزار ProtParam (<http://www.expasy.org/cgi-bin/ProtParam>) و مورد تجزیه و تحلیل قرار گرفت. برای پیش‌بینی ساختار دوم از Psipred (<http://128.16.10.201/psipred/psiform.html>) و sopma (<https://npsa-prabi.ibcp.fr/cgi-bin/sopma.html>) استفاده شد. دومین پروتئینی $\Delta 15de$ از بانک اطلاعاتی pFam با آدرس اینترنتی (<http://pfam.xfam.org/search/sequence>) مورد بررسی قرار گرفت. همچنین درختچه فیلوژنتیکی با استفاده از نرم‌افزار ClustalW (<http://www.genome.jp/tools/clustalw>) رسم گردید.

فصل چہارم

نتیجہ و بحث

۱-۴ بررسی نتایج استخراج DNA و RNA

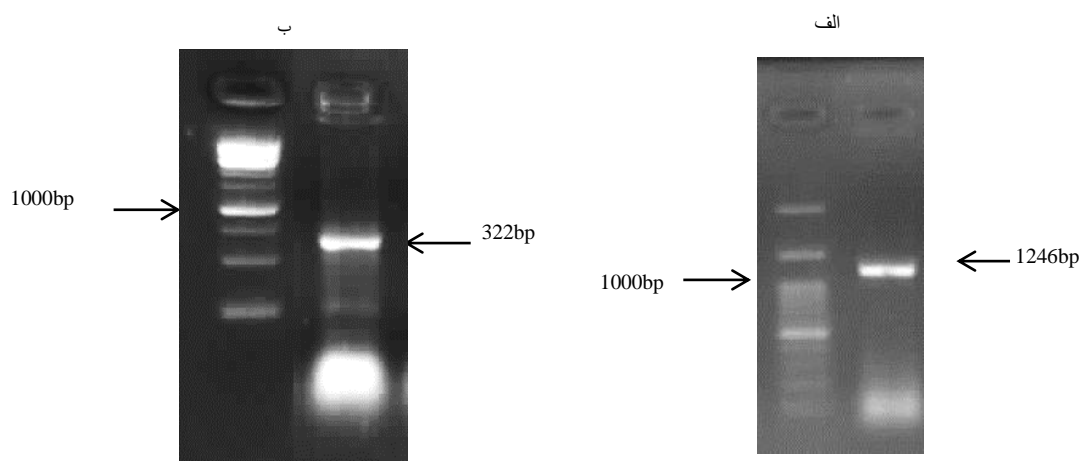
همانطور که ذکر شد DNA ژنومی به روش CTAB (شکل الف، ۱-۴) و RNA کل به روش فنل گرم (شکل ب، ۱-۴) از مخمر *P.pastoris* استخراج شد. استخراج DNA و RNA سالم برای تهیه الگوی PCR الزامی است که در این روش DNA ژنومی و RNA استخراج شده سالم و در غلظت مناسب به دست آمد.



شکل ۱-۴ الف: الگوی بانندی حاصل از استخراج DNA به روش CTAB، ب: الگوی بانندی استخراج RNA به روش فنل گرم

۱-۱-۴ بررسی نتایج حضور ژن دلتا ۱۵ دسچوراز ($\Delta 15de$) از DNA استخراج شده

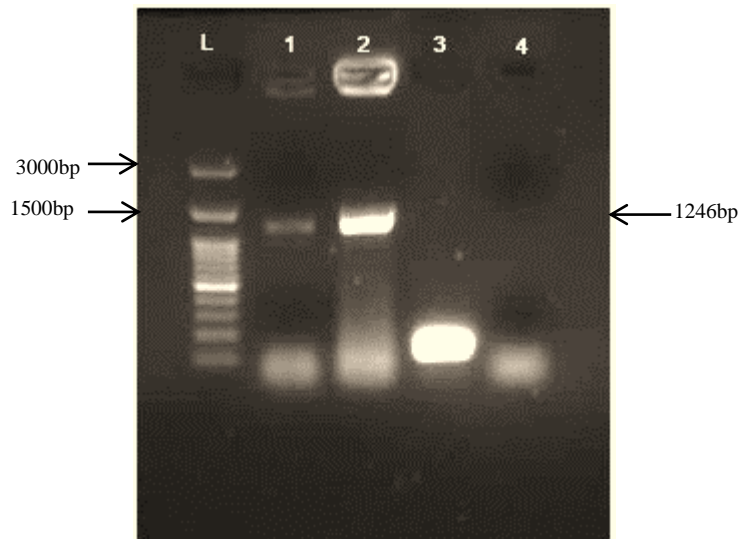
به منظور بررسی حضور ژن $\Delta 15de$ در سطح ژنوم مخمر واکنش زنجیره‌ای پلیمرز با پرایمرهای اختصاصی ژن $\Delta 15de$ (RW، FW) و پرایمرهای مربوط به توالی داخلی این ژن (IFWD، IRWD) طراحی شده صورت گرفت. محصول PCR توسط ژل آگارز الکتروفورز مورد بررسی قرار گرفت که نتایج آن به ترتیب تکثیر قطعاتی به طول ۱۲۴۶ جفت باز که مطابق با طول اصلی ژن دلتا ۱۵ دسچوراز و ۳۲۲ جفت باز ناشی از تکثیر قسمتی از توالی داخلی این ژن بود (شکل ۲-۴).



شکل ۲-۴ الف: محصول PCR حاصل از تکثیر پرایمرهای اختصاصی ژن *Δ15de* (RW، FW) ، ب: محصول PCR حاصل از تکثیر پرایمرهای داخلی (IFWD، IRWD)

۲-۴ بررسی نتایج تکثیر ژن *Δ15de* با استفاده از cDNA سنتز شده

به منظور تکثیر ژن *Δ15de* از cDNA حاصل از مخمر *P.pastoris* استفاده شد. ژن از cDNA جدا شد تا تنها قسمت‌های کارکردی ژن تکثیر شود. طول cDNA که در پایگاه داده‌ها NCBI گزارش گردیده ۱۲۴۶ جفت باز می‌باشد. همانطور که در شکل (۳-۴) نشان داده شده است ژن *Δ15de* با استفاده از آغازگرهای طراحی شده و توسط PCR تکثیر شده است. محصول این PCR بر روی ژل آگارز ۱٪ قرار گرفته است. طول قطعه ۱۲۴۶ جفت باز است.



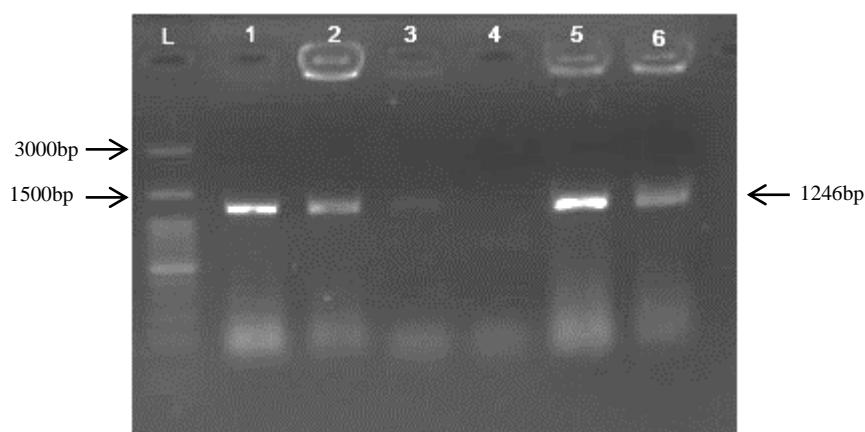
شکل ۳-۴ نتایج تکثیر ژن *Δ15de* از cDNA، به ترتیب: در چاهک شماره ۱ و ۲ قطعات مربوط به ژن *Δ15de* به طول ۱۲۴۶ bp می‌باشد. چاهک شماره ۳ کنترل مثبت که نشانگر کارکرد صحیح واکنش PCR و چاهک شماره ۴ کنترل منفی می‌باشد.

۳-۴ غربال‌گری کلون‌های حاوی سازه نو ترکیب *pTZ57R/T : Δ15de*

قطعه تکثیری بعد از انجام خالص سازی از ژل آگارز، توسط آنزیم T4 لیگاز درون ناقل *pTZ57R/T* الحاق شد. انتقال سازه به باکتری *E.coli* سویه DH5α به روش شوک حرارتی صورت گرفت و پس از رشد تک کلون‌ها بر روی محیط کشت جامد LB حاوی آنتی‌بیوتیک آمپی‌سیلین غلظت ۵۰ mg/ml برای تایید بیشتر حضور سازه در تک کلون رشد کرد. تعدادی از تک کلون‌ها برای واکنش PCR با استفاده از آغازگرهای اختصاصی استفاده شد. باکتری‌های تراریخت شده بر روی محیط کشت LB حاوی آمپی‌سیلین رشد داده شدند.

۱-۳-۴ تایید حضور ژن $\Delta 15de$ در ناقل $pTZ57R/T$ با انجام کلونی PCR

برای حصول اطمینان بیشتر عمل PCR برای قطعات کلون شده با آغازگرهای اختصاصی انجام شد و محصولات آن نیز بر روی ژل آگارز ۱٪ کنترل گردید. (شکل ۴-۴) حضور تک بانده در منطقه قابل پیش بینی (۱۲۴۶bp) که می تواند دلیلی بر تراخی بودن کلون های باکتری باشد.



شکل ۴-۴ تایید پلاسمیدهای حاوی ژن $\Delta 15de$ به روش کلونی PCR، L مارکر مولکولی ۳۰۰۰ pb، چاهک های ۱۰۲،۵۰۶ حاوی قطعه ۱۲۴۶ bp که نوترکیبی این کلون ها تایید شد. چاهک های ۳۰۴ کلون های فاقد پلاسمید نو ترکیب بودند.

۲-۳-۴ تایید سازه از طریق توالی یابی

نتایج بدست آمده از توالی یابی با توالی ژن بدست آمده از پایگاه اینترنتی NCBI تقریباً به طور کامل هماهنگی داشت. همچنین توالی ژن کلون شده با توالی ژن بدست آمده از پایگاه داده NCBI مقایسه گردید (شکل ۴-۵). نتایج حاصل نشان دهنده صحت ساخت سازه $pTZ57R/T:\Delta 15de$ است.

Query	1	ATGTCAAAGTCACTGTTTCGGGTTCAAGAGATCCTAGAAGGGTCCACCAAGACCGTCAGA	60
Sbjct	1	ATGTCAAAGTCACTGTTTCGGGTTCAAGAGATCCTAGAAGGGTCCACCAAGACCGTCAGA	60
Query	61	CGTTCAGGAAACGTTGCTTCTTTCAAGCAACAGAAAAGTCCATCGATACGTTTGGTAAT	120
Sbjct	61	CGTTCAGGAAACGTTGCTTCTTTCAAGCAACAGAAAAGTCCATCGATACGTTTGGTAAT	120
Query	121	GTTTTCAAAGTGCCAGATTACACCATCAAAGATATCCTAGACGCCATTCCAAAACACTGC	180
Sbjct	121	GTTTTCAAAGTGCCAGATTACACCATCAAAGATATCCTAGACGCCATTCCAAAACACTGC	180
Query	181	TATGAAAGATCTTTGGTCAAGTCGATGTCTACGTCGTGAGGATAT-GTTGCTATTTTC	239
Sbjct	181	TATGAAAGATCTTTGGTCAAGTCGATGTCTACGTCGTGAGGATATTTGTTGCTA-TTTC	239
Query	240	TGCTATTGCTACGTTGGGCTAACTTACATCCCTCTGCTGCCAAACGAGTTTTCTTCG-T	298
Sbjct	240	TGCTATTGCTACGTTGGGCTAACTTACATCCCTCTGCTGCCAAACGAGTTT-CTTCGTT	298
Query	299	TTGCTGCTTGGAGTGGGTATGTGTTTCAAGTATTTCTGTTTGGGATTCGGAATTTGGATTC	358
Sbjct	299	TTGCTGCTTGGAGTGGGTATGTGTTTCAAGTATTTCTGTTTGGGATTCGGAATTTGGATTC	358
Query	359	TTGGACACGAATGCGGTCACTCTGCCTTCAGCAACTATGGCTGGGTTAACGACACGGTCG	418
Sbjct	359	TTGGACACGAATGCGGTCACTCTGCCTTCAGCAACTATGGCTGGGTTAACGACACGGTCG	418
Query	419	GCTGGGTTCTTCAATCCCTGGTAATGGTCCATATTTTCTTGGAAAGTCTCCCATGCCA	478
Sbjct	419	GCTGGGTTCTTCAATCCCTGGTAATGGTCCATATTTTCTTGGAAAGTCTCCCATGCCA	478
Query	479	AGCACACAAAGCAACAGTCAATGACCAAGACATGGTCTTTGTTCCATACACCGCTG	538
Sbjct	479	AGCATATAAGGCAACAGTCAATGACCAAGACATGGTCTTTGTTCCATACACCGCTG	538
Query	539	AGGAGTTCAAGGAAAACACCAAGTACTAGTCTGCACGATATTCAGAGGAAACTCCTA	598
Sbjct	539	AGGAGTTCAAGGAAAACACCAAGTACTAGTCTGCACGATATTCAGAGGAAACTCCTA	598
Query	599	TTTATTCAGTTTTGCCCCTTTGTTCACAGCTCGGAGGACTCAGTTGTATCTTGCCA	658
Sbjct	599	TTTATTCAGTTTTGCCCCTTTGTTCACAGCTCGGAGGACTCAGTTGTATCTTGCCA	658
Query	659	CGAATGCTACTGGTCAACCGTATCCCGGGGTGCCAAGTCTTCAAAGTCAATTACTGGC	718
Sbjct	659	CGAATGCTACTGGTCAACCGTATCCCGGGGTGCCAAGTCTTCAAAGTCAATTACTGGC	718
Query	719	CATCCTCTCCTGTTTTGATAAAGAGGACTATTGGTACATTTGTTGAGTGACCTGGGAA	778
Sbjct	719	CATCCTCTCCTGTTTTGATAAAGAGGACTATTGGTACATTTGTTGAGTGACCTGGGAA	778
Query	779	TCTTGCAACCTGACTAGTGTTTACACTGCTTACAAAGTGTTCGGATTTTGGCCACAT	838
Sbjct	779	TCTTGCAACCTGACTAGTGTTTACACTGCTTACAAAGTGTTCGGATTTTGGCCACAT	838
Query	839	TCATTACTTGGTTTTGCCCTTGGATTTTGGTCAACCACTGGCTGGTATTGTACCTTCC	898
Sbjct	839	TCATTACTTGGTTTTGCCCTTGGATTTTGGTCAACCACTGGCTGGTATTGTACCTTCC	898
Query	899	TACAACACACAGACTCGTCCATGCCTCACTACGATGCCAAGAATGGACTTTCGCCAAG	958
Sbjct	899	TACAACACACAGACTCGTCCATGCCTCACTACGATGCCAAGAATGGACTTTCGCCAAG	958
Query	959	GTGCCGCCCAACAATTGATAGAGAATTTGGTATCTTAGGAATTATATTTACGACATTA	1018
Sbjct	959	GTGCCGCCCAACAATTGATAGAGAATTTGGTATCTTAGGAATTATATTTACGACATTA	1018
Query	1019	TCGAAACTCACGTTTTGCACCACATGTTAGTAGAATTCATTCTACCATGCTAGAGAGG	1078
Sbjct	1019	TCGAAACCCACGTTTTGCACCACATGTTAGTAGAATTCATTCTACCATGCTAGAGAGG	1078
Query	1079	CTACTGAGTGCATTAAGAAGTTATGGGCGAACATTACCGTCACACTGACGAGAACATGT	1138
Sbjct	1079	CTACTGAGTGCATTAAGAAGTTATGGGCGAACATTACCGTCACACTGACGAGAACATGT	1138
Query	1139	GGGTCAGTCTCGGAAGACCTGGAGGTCGTCAGTTTGTGAGAACCATGATGGTGTGT	1198
Sbjct	1139	GGGTCAGTCTCGGAAGACCTGGAGGTCGTCAGTTTGTGAGAACCATGATGGTGTGT	1198
Query	1199	ACATGTTCAAGAACTGCAACAATGTT-GTGTAAACCTAAGGATACCTAA	1247
Sbjct	1199	ACATGTTCAAGAACTGCAACAATGTTGGTGTAAACCTAAGGATACCTAA	1248

شکل ۴-۵ همسانی نتایج توالی‌یابی با توالی موجود در NCBI با توالی اصلی Blast (Align) گردید. (<http://blast.ncbi.nlm.nih.gov/Blast.cgi>)

Exepasy translate ۴-۴

توالی نوکلئوتیدی حاصل با استفاده از سایت Exepasy translate به توالی پروتئینی ترجمه گردید، که توالی حاصل دارای ۴۵ آمینواسید می باشد که مطابق با توالی پروتئینی موجود در NCBI مربوط به ژن دلتا ۱۵ دسچوراز می باشد (جدول ۴-۱).

جدول ۴-۱ توالی آمینواسیدی ژن دلتا ۱۵ دسچوراز (کلون شده) حاصل از ترجمه توالی نوکلئوتیدی این ژن توسط سایت

Exepasy translate

```
>VIRT26852
MSKVTVSGSEILEGSTKTVRRSGNVASFQKQKTAIDTFGNVFKVPDYTIKDILDALPKHC
YERSLVKSMSYVVRDMLLFSAIAYVGLTYIPLLPNEFSSFAAWSAYVFSISCFGFGIWIIL
GHECGHSAFSNYGWVNDTVGWVLHSLVMVPYFSWKFSHAKHHKATGHMTRDMVFVPTAE
EFKEKHQVTSLHDIAEETPIYSVFALLFQQLGGLSLYLATNATGQPPYGVSKFFKSHYWP
SSPVFDKDYWYIVLSDLGILATLTSVYTAYKVFGEFWPTFITWFCPWILVNHVLFVTFLL
QHTDSSMPHYDAQEWTFAKGAATIDREFGILGIIFHDI IETHVLHHYVSRI PFYHAREA
TECIKKVMGEHYRHTDENMWSLWKTWRSCQFVENHGDVYMFRCNNVGVKPKDT
```

ProtParam ۱-۴-۴

برای محاسبه خصوصیات بیوشیمیایی توالی پروتئینی می توان از سایت ProtParam استفاده کرد. پارامترهای محاسبه شده توسط این نرم افزار شامل: وزن مولکولی، PI فرضی (نقطه ایزوالکتریک)، ترکیب اسید آمینه ای، ترکیب اتمی، ضریب خاموشی، تخمین نیمه عمر، شاخص بی ثباتی، شاخص آلیفاتیک است. این آنزیم دارای ۴۱۵ آمینواسید، با وزن مولکولی ۴۷۷۷۲/۷، دارای PI ۷/۰۸ و فرمول مولکولی: $C_{2223}H_{3266}N_{552}O_{594}S_{17}$ و ضریب اتمی ۶۶۵۲ است. تعداد کل رزیدوها از نظر بار منفی $(Asp + Glu) = 36$ و از نظر بار مثبت $(Arg + Lys) = 35$ می باشد. ترکیبات اتمی در (جدول ۴-۲) مشاهده می شود.

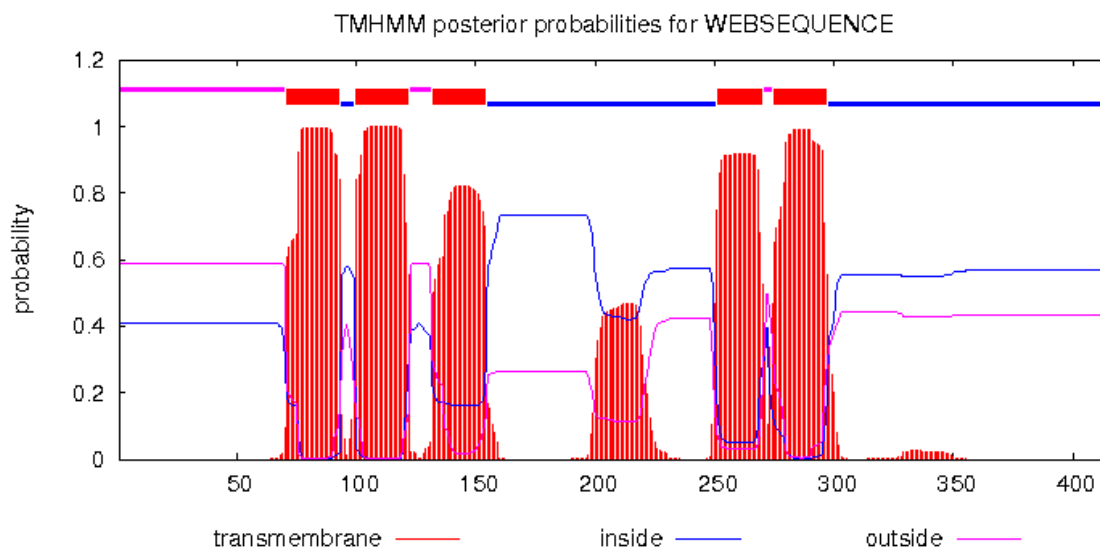
جدول ۲-۴ ترکیبات اتمی تشکیل دهنده ژن $\Delta 15de$

Carbon	Hydrogen	Nitrogen	Oxygen	Sulfur
2223	3266	552	594	17

ضریب خاموشی نشان دهنده میزان جذب نور در یک طول موج خاصی توسط یک پروتئین می باشد. میزان ضریب خاموشی این پروتئین ۱۱۵۶۵۵ محاسبه گردید. برآورد نیمه عمر یک پروتئین مقدار زمان باقی ماندن یک پروتئین در سلول پس از سنتز را نشان می دهد که این مدت زمان بستگی به انتهای N هر پروتئین دارد. این مدت زمان در مخمر ۲۰ ساعت می باشد. شاخص ناپایداری پروتئین ها بیانگر میزان پایداری آن ها در لوله آزمایش می باشد و پروتئین های با شاخص کمتر از ۴۰ جزء پروتئین های پایدار تقسیم بندی می شوند. آنزیم *دلتا ۱۵ دسچوراز* موجود در مخمر *پیکیا پاستوریس* دارای شاخص ناپایداری ۳۵/۷۵ می باشد که جزء پروتئین های پایدار محسوب می شود. شاخص آلیفاتیک ۸۰/۰۵ محاسبه گردید.

TMHMM ۲-۴-۴

بر طبق مطالعات انجام شده اکثر دسچورازها دارای هلیکس های ترانس ممبرانی می باشند. به طور مثال مطالعات انجام گرفته بر روی *دلتا ۱۲ دسچوراز* نشان دهنده وجود هلیکس های ترانس-ممبرانی در این پروتئین می باشد. بر اساس تحقیقات انجام شده بر روی ایزوفرم های مختلف *دلتا ۱۲ دسچوراز* تعداد این هلیکس ممبران ها در انواع مختلف متفاوت می باشد. نتایج حاصل از این سایت این پروتئین را جزء پروتئین های غشائی طبقه بندی می کند که دارای ۵ هلیکس ترانس ممبرانی می باشد (جدول ۳-۴ و شکل ۴-۶).



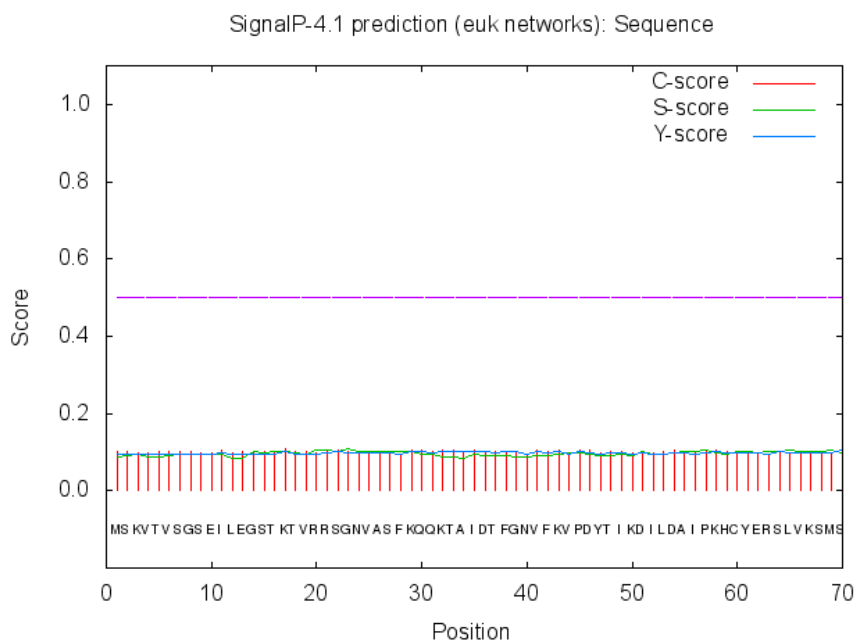
شکل ۴-۶ پیش‌بینی ترانس‌ممبران ژن *Δ15de*

جدول ۴-۳ تعداد ترانس‌ممبران‌های *Δ15de*

TMhelix	71-93	100-122	132-154	251-270	275-297
outside	1-70	123-131	271-274		
inside	94-99	155-250	298-415		

SignalP ۳-۴-۴

بر اساس داده‌های حاصل از SignalP این پروتئین فاقد سیگنال پپتید می‌باشد و یک پروتئین غشائی با دومین‌های گذرنده از غشاء می‌باشد (شکل ۴-۷).

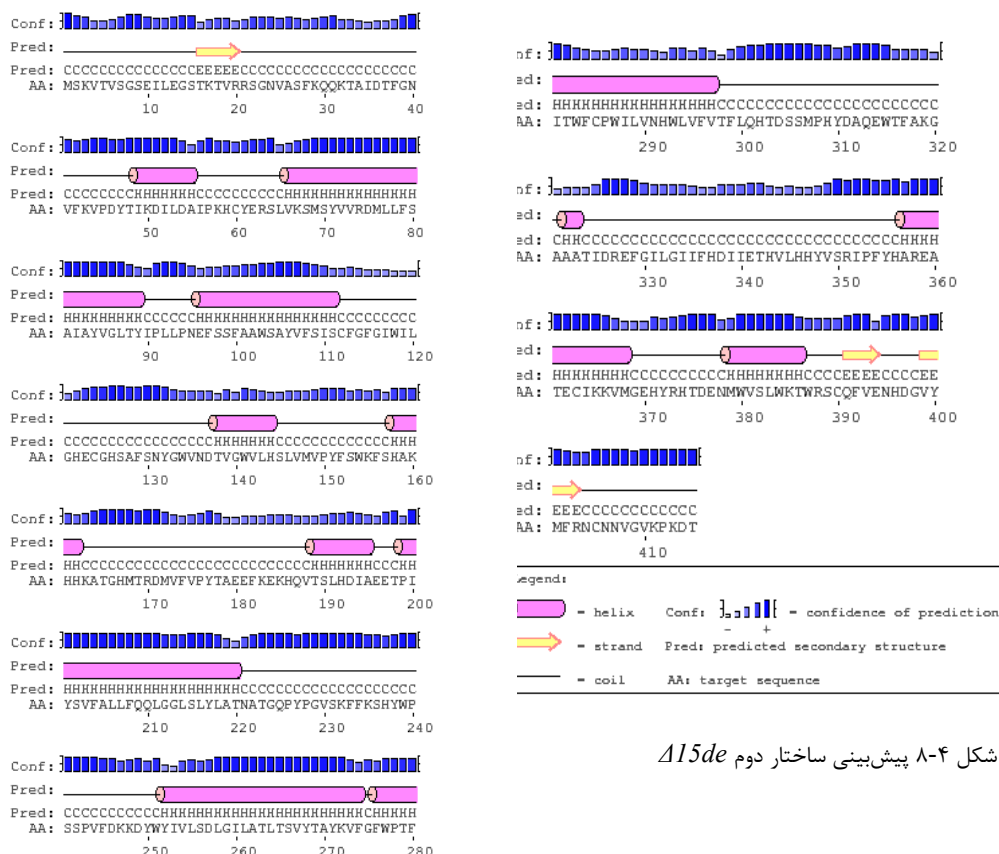


شکل ۴-۷ پیش‌بینی SignalP ژن $\Delta 15de$

۵-۴ Psipred

اطلاعات ساختاری از دسچورازهای غشائی به دلیل وجود محدودیت‌های تکنیکی در به دست آوردن مقدار پروتئین خالص و مشکلات درونی در بدست آوردن ساختار کریستالی پروتئین‌های غشائی دسچورازها در دسترس نمی‌باشد. دلتا ۹ دسچوراز تنها پروتئین محلول دسچورازی می‌باشد و تنها دسچورازی است که توسط اشعه X ساختار کریستالوگرافی آن مشخص شده است. ساختار سه بعدی دلتا ۹ دسچوراز نشان می‌دهد که در این پروتئین حامل آسیل-استرول ۱۱ آلفا هلیکس و یک پارآل بتا شیت حضور دارد. برای پیش‌بینی ساختار دوم از Psipred استفاده شد. پیش‌بینی ساختار دوم توالی پروتئین $\Delta 15de$ شامل: آلفا هلیکس، صفحات β ، لوپ‌ها می‌باشد. پیش‌بینی ساختار دوم پروتئین اولین قدم در درک ساختار سوم و در نهایت عملکرد آن است. دانستن ساختار دوم کمک به پیش‌بینی لوپ‌ها، رزیدوها می‌کند (شکل ۴-۸). این شکل آخرین آنالیزها از خروجی نمودارهای PSIPRED را نشان می‌دهد.

این نمودار توالی مورد جست وجو را با الگوی از ساختار دوم و ارزش ضریب احتمال در هر موقعیت همترازی را تفسیر می کند. ضریب احتمال را به صورت یکسری از نمودارهای نوار آبی رنگ داده شده است.



شکل ۴-۸ پیش‌بینی ساختار دوم $\Delta 15de$

طرح رامچاندران از این مدل نشان داد که ۹۸/۵٪ از رزیدوها در نواحی مجاز قرار گرفته‌اند (۷۳/۵٪ بیشترین سازگاری را دارند و ۱۵٪ در نواحی مجاز اضافی هستند) در حالی که ۱/۵٪ در سمت نواحی مجاز قرار دارند، که نشان‌دهنده یک ساختار با ثبات هستند (۳۶). شکل کلی تمامی مدل‌های دلتا ۱۵ ساچوراز شامل یک استوانه فشرده حاوی ۱۰-۱۲ α هلیکس و ۱-۲ صفحات غیر مشابه (آنتی پارالل) β هستند. در تمامی مدل‌های α هلیکس یکی کوتاه ($\alpha 1$) و یکی بلند ($\alpha 6$) است. هلیکس‌های $\alpha 2$ و $\alpha 4$ توسط یک یا دو هلیکس غیر هم‌مشکل آمینواسیدی از هم جدا شده‌اند.

Sopma ۱-۵-۴

یک روش برای پیش بینی ساختار دوم پروتئین می باشد. در این روش تا ۶۹٪ از ساختار دوم اسیدهای آمینه (مارپیچ آلفا، بتا و سوپر کویل) می توان پیش بینی کرد. نتایج پیش بینی مارپیچ آلفا، بتا و سوپر کویل های مربوط به ژن *Δ15de* مشاهده می شود. بر طبق نتایج بدست آمده دارای ۳۸.۸۰٪ آلفاهلیکس، ۷.۷۱٪ مارپیچ بتا و ۳۲.۰۵٪ از سوپر کویل می باشد شکل (الف، ب، ۴-۹).

الف

```

          10          20          30          40          50          60          70
          |          |          |          |          |          |          |
MSKVTVSGSEILEGSTKTVRRSGNVASFQKQTAIDTFGNVFKVPDYTIKDILDAI PKHCYERSLVKSMS
heeeeeccccceehhtccheeeecttceeeehhtcccchhhhttcceccccchhhhhhhccccchhhhhhhhhhh
YVVRDMLLFSAIAYVGLTYIPLLPNEFSSFAAWSAYVFSISCFGFGIWILGHECGHSAFSNYGWVNDTVG
hhhhhhhhhhhhheetcecccccthhhhhhhhhhheeeccccccccceeecccccccccteeecchhhh
WVLHSLVMVPYFWSKFKSHAKHHKATGHMTRDMVFVPTAEFEKQVTSLHDIAEETPIYSVFALLFQQ
hhhhhheeecccccccccccccttccchteeccccchhhhccthhhhhhhhhhhtcccchhhhhhhhhhh
LGGLSLYLATNATGQYPYGVSKFFKSHYWPSSPVFDKDYWYIVLSDLGILATLTSVYTAYKVFGEWPTF
ttcccccccccccccccccccccccccccccccccttccccchhhhhhhhhhhhhhhhhheetcccc
ITWFPCPWILVNHVLFVTFVFLQHTDSSMPHYDAQEWTFKAGAAATIDREFGILGII FHDIIETHVLHHYVS
eeeeectehhhhhheeeeeeccccccccchhhhhhhhhhhhhhhhhhteeeeehhhhhhhhhhhht
RIPFYHAREATECIKVMGEHYRHTDENMWVSLWKTWRSCQFVENHDGVYMFRCNNVGVKPKDT
tccccchhhhhhhhhhhhhhtccccchhhheehhhhcchheeecttteeetttttcccccccc
    
```

ب

Sequence length : 415

SOPMA :

Alpha helix	(Hh) :	161 is	38.80%
3 ₁₀ helix	(Gg) :	0 is	0.00%
Pi helix	(Ii) :	0 is	0.00%
Beta bridge	(Bb) :	0 is	0.00%
Extended strand	(Ee) :	89 is	21.45%
Beta turn	(Tt) :	32 is	7.71%
Bend region	(Ss) :	0 is	0.00%
Random coil	(Cc) :	133 is	32.05%
Ambiguous states (?)	:	0 is	0.00%
Other states	:	0 is	0.00%

شکل ۴-۹ میزان سوپر کویل ها، مارپیچ بتا و آلفاهلیکس های موجود در ژن *Δ15de*

۴-۶- بررسی دومین ژن *Δ15de* به کمک سایت pfam

دومین پروتئینی *Δ15de* از بانک اطلاعاتی pfam مورد بررسی قرار گرفت (شکل ۴-۱۰) این سایت دومین‌های توالی مورد نظر را نشان می‌دهد. ژن دلتا ۱۵ دسچوراز دارای دو دومین (یک دومین FA desaturase و یک دومین با کارکرد ناشناخته (DUF3474) Domain of unknown function) بود.



شکل ۴-۱۰ دو دومین ژن *Δ15de* ، الف: دومین ناشناخته (Domain of unknown function) ، ب: دومین FA-desaturase

مطالعاتی که توسط زینتی و همکاران به منظور بررسی اساس مولکولی اسید آلفا لینولنیک پایین و بالا، بر روی توالی‌های ژنی کد کننده ω 3 fatty acid desaturase در گیاهان مختلف انجام گرفته و ساختار پروتئینی آنزیم *Δ15de* و دومین‌های موثر در فعالیت این آنزیم مورد بررسی قرار گرفته است. نتایج آنها نشان داد که همه امگا ۳ دسچورازها دارای دو دومین (significant pfam-a) یک دومین FA desaturase و یک دومین با کارکرد ناشناخته (DUF3474) (Domain of unknown function) بودند. آنها بیان کردند که در کتان با میزان آلفا لینولنیک اسید ۵۵٪ علاوه بر دومین FA-desaturase و یک دومین با کارکرد ناشناخته، یک دومین Foamy وجود دارد. آنها بیان کردند که ممکن است دلیل افزایش ALA در کتان وجود دومین Foamy-BEL باشد/ دانه‌های کتان روغنی غنی از ALA با حساسیت بالا به اکسیداسیون تولید می‌کند. پایداری اکسیداتیو پایین استفاده آن را به عنوان روغن خوراکی محدود کرده است.

بنابراین، شاید بتوان با جلوگیری از فعالیت این دومین میزان ALA را کاهش داد. همچنین شاید بتوان از طریق مهندسی ژنتیک با انتقال این دومین به گیاهانی که میزان ALA آن پایین است میزان آن را افزایش داد. همچنین در *Perilla frutescens* با میزان آلفا لینولنیک ۵۸٪ علاوه بر دومین FA-desaturase و یک دومین ناشناخته، دو دومین FA-Desaturase و Hum-adeni-E3A نیز وجود دارد. خانواده Hum-adeno-E3A شامل تعدادی از گلیکوپروتئین‌های اولیه از adenoviruses انسانی می‌باشد. دسچوراز آنزیمی است که دو اتم هیدروژن را از اسید چرب حذف کرده و یک باند دوگانه کربن-کربن ایجاد می‌کند. از آنجا که دو دومین Hum-ADENO E3A نیز در کبچد وجود دارد ولی میزان ALA آن ۰-۵٪ است، می‌توان نتیجه گرفت وجود دو دومین FA-Desaturase و Hum-adeno-E3A به طور همزمان برای افزایش آلفا لینولنیک اسید ضروری است (۱۰۱). نتایج آنها نشان دهنده عدم ارتباط این سه دومین با دومین‌های دیگر و در نتیجه مستقل عمل کردن آنها می‌باشد. در صورتی که بخواهیم از این ناحیه کار کردی برای افزایش میزان ALA استفاده کنیم این نتایج می‌تواند مطلوب باشد. به این دلیل که برای افزایش میزان این اسید چرب دیگر نیاز به انتقال دومین‌های در واکنش با آن نیست. در نتیجه این سه دومین بدون داشتن بر همکنشی با دومین‌های دیگر به صورت اختصاصی و به تنهایی خودشان عامل ایجاد کننده میزان بالای آلفا لینولنیک اسید می‌باشند (۸۹).

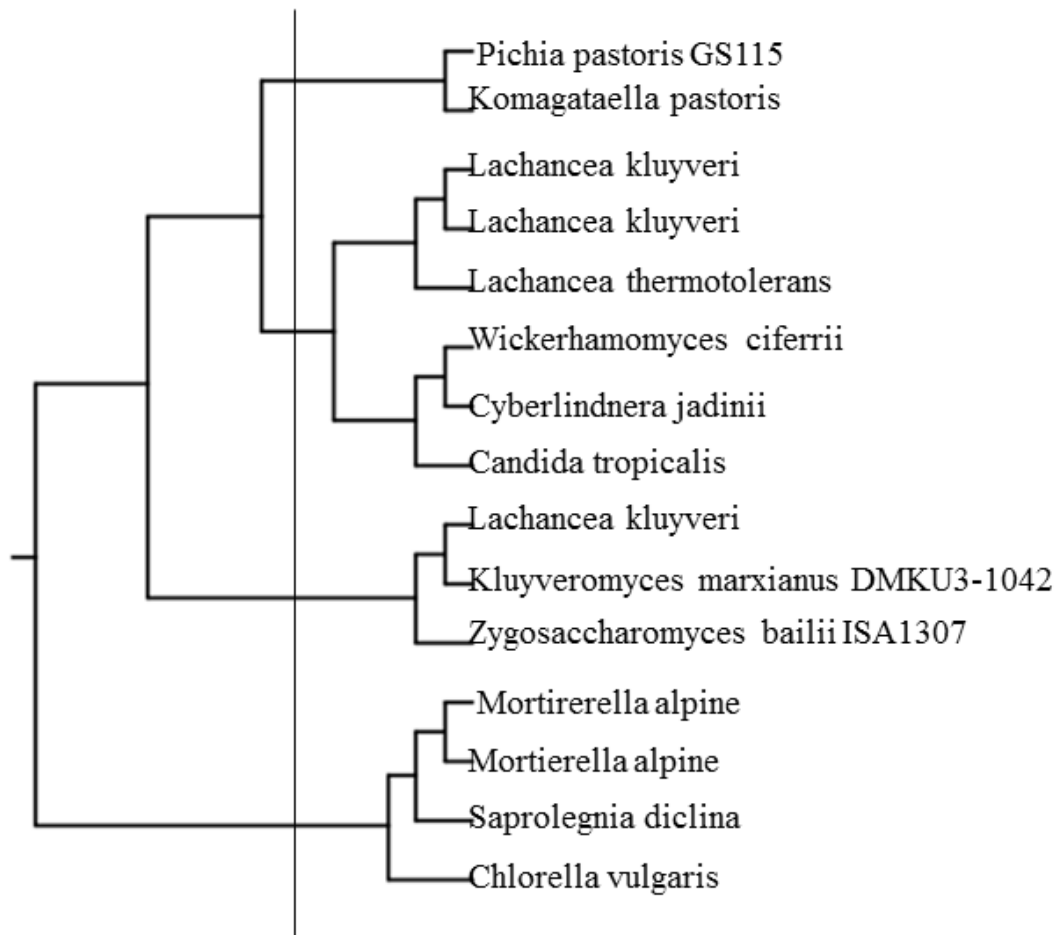
۴-۶-۱ بررسی درختچه فیلوژنتیکی

درخت فیلوژنتیک، درخت تکامل نژادی یا درخت تکاملی^۱: یک نمودار انشعابی است (که اصطلاحاً درخت (گراف) نامیده می‌شود) و روابط تکاملی در میان گونه‌های مختلف زیستی و یا حتی اشخاص را بر اساس شباهت‌ها و تفاوت‌های فیزیکی (فیلوژنتیک) و یا خصوصیات ژنتیک نشان می‌دهد. واحدهایی

که به هم در درخت متصل هستند، از یک جد مشترک جدا شده‌اند. در یک درخت تکامل نژادی ریشه‌دار، هر گره نشان دهنده جد مشترکی برای فرزندان آن گره می‌باشد، و طول یال‌ها در برخی از درختان نشان دهنده تخمین زمان است. هر گره یک واحد طبقه بندی (taxonomic) نامیده می‌شود. گره‌های داخلی عموماً واحد طبقه بندی فرضی (HTUs) نامیده می‌شوند و نمی‌توان آنها را به طور مستقیم مشاهده کرد. این درختان در زمینه‌های زیست‌شناسی مانند زیست‌شناسی تکاملی، بیوانفورماتیک، سیستماتیک و فیلوژنتیک مقایسه‌ای کاربرد دارند. بعد از توالی‌یابی ژن *Δ15de* در گونه پیکیا پاستوریس، با استفاده از نرم‌افزار BlastP در پایگاه NCBI به بررسی توالی پروتئینی *Δ15de* در گونه‌های مختلف پرداختیم. در این بررسی ۱۴ گونه با شماره دسترسی:

Pichia pastoris GS115:(VIRT26852), *Komagataella pastoris* :(ABL63813), *Lachancea kluyveri*: (ADE06664), *Lachancea kluyveri* : (BAD11952), *Lachancea thermotolerans*: (XP-002553950), *Wickerhamomyces ciferrii*: (XP_011275445), *Cyberlindnera jadinii*: (BAJ78984), *Candida tropicalis*: (ADN42964), *Lachancea kluyveri* :(BAD08375), *Kluyveromyces marxianus*:(BAO38850), *Zygosaccharomyces*:(CDH15170), *Mortierella alpine*:(BAA81754), *Mortierella lpine*: (BAD91495), *Saprolegnia diclina*: (AAR20443), *Chlorella vulgaris*: (BAB78716)

دارای درصد یکسانی بالای ۶۰٪ با این ژن بودند را انتخاب کردیم. درختچه فیلوژنتیکی حاصل (شکل ۴-۱۲) از توالی پروتئینی این ژن‌ها در این ۱۵ گونه با استفاده از نرم‌افزار ClustalW رسم شد و بر طبق نتایج بدست آمده از ژن *Δ15de* در گونه *Pichia pastoris* با ژن دسچوراز در گونه *Komagataella pastoris* در یک کلاستر قرار می‌گیرد.

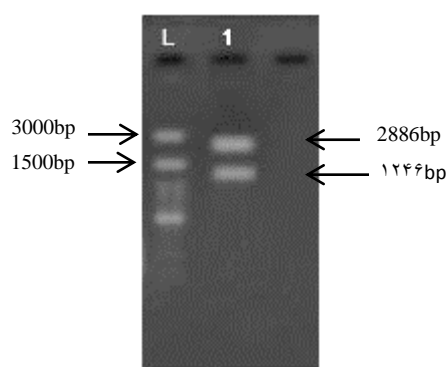


شکل ۴-۱۲ درختچه فیلوژنتیکی ژن $\Delta 15de$ توالی‌یابی شده با نمونه‌های گزارش شده در NCBI که توسط نرم‌افزار ClustalW رسم گردیده است.

۴-۶-۲ نتیجه هضم آنزیمی $pTZ57R/T$ با دو آنزیم $SacI$ و $XbaI$

به منظور همسانه‌سازی ژن $\Delta 15de$ درون ناقل pKS باید دو انتهای ژن با دو آنزیم $SacI$ و $XbaI$ برش داده شود. سایت برشی این دو آنزیم در ابتدا ۵' هر یک از آغازگرها قرار داده شده است. بعد از هضم آنزیمی $pTZ57R/T$ نو ترکیب حاوی ژن $\Delta 15de$ با این دو آنزیم برشی (شکل ۴-۱۳)، یک قطعه‌ی ۱۲۴۶ جفت بازی و ۲۸۸۶ جفت بازی بر روی ژل الکتروفورز مشاهده شد. قطعه ۱۲۴۶ جفت بازی

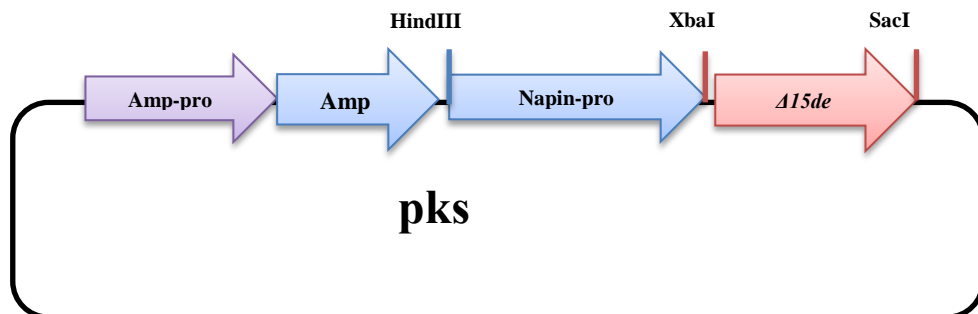
مربوط به ژن $\Delta 15de$ که بدلیل دارا بودن وزن مولکولی کمتر نسبت به قطعه پلاسمید پایین تر قرار گرفته است و قطعه ۲۸۸۶ جفت بازی مربوط به پلاسمید $pTZ57R/T$ می باشد. قطعه ۱۲۴۶ بازی از روی ژل جدا شده و مراحل خالص سازی از ژل انجام گرفت.



شکل ۴-۱۳ نتایج هضم آنزیمی $sacI$ و $XbaI$ ، قطعه ۱۲۴۶ bp مربوط به ژن $\Delta 15de$ و قطعه ۲۸۸۶ bp مربوط به پلاسمید $pTZ57R/T$ ؛ L: لدر ۳۰۰۰ جفت بازی

۴-۷ غربال گری کلون های حاوی سازه نو ترکیب $pKS:Napin + \Delta 15de$

انتقال سازه به باکتری $E. coli$ سویه DH5 α به روش شوک حرارتی صورت گرفت و پس از رشد تک کلون ها بر روی محیط کشت جامد LB حاوی آنتی بیوتیک آمپی سیلین غلظت ۵۰ mg/ml برای تایید بیشتر حضور سازه در تک کلون رشد کرد. تعدادی از تک کلون ها برای واکنش PCR با استفاده از آغازگرهای اختصاصی و داخلی استفاده شد. باکتری های تراریخت شده بر روی محیط کشت LB حاوی آمپی سیلین (با توجه به ژن مقاومت به آنتی بیوتیک در پلاسمید pKS) رشد داده شدند که شکل (۴-۱۴) کلون های تراریخت شده بر روی محیط حاوی آنتی بیوتیک را نشان می دهد.

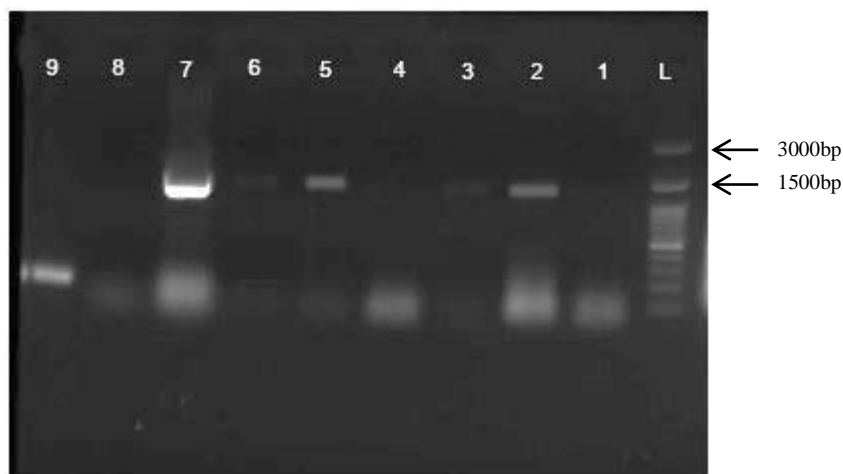


شکل ۴-۱۴ نمایی از سازه $pKS: Napin + \Delta 15de$ ژن مقاومت به آمپی سیلین (Amp) به عنوان نشانگر انتخابی است.

۴-۷-۱ تایید کلونی‌های نو ترکیب حاوی سازه ژنی $pKS: Napin + \Delta 15de$ با انجام

کلونی PCR

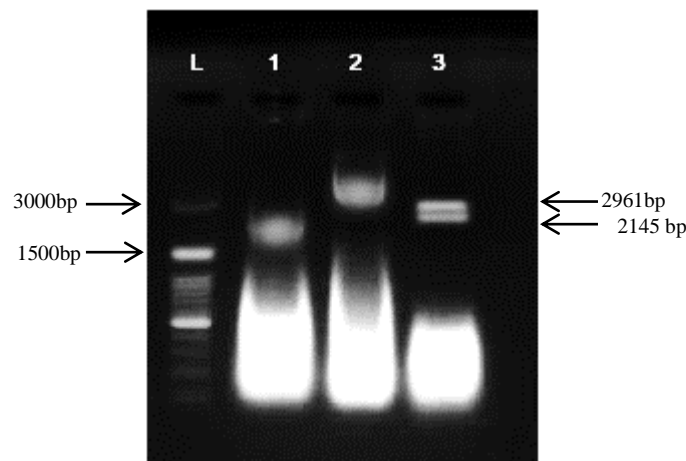
برای اطمینان بیشتر عمل PCR برای قطعات کلون شده با آغازگرهای اختصاصی و داخلی صورت گرفت و محصولات آن نیز بر روی ژل آگارز ۱٪ کنترل گردید. به ترتیب قطعات به طول ۱۲۴۶ جفت باز و ۱۲۱۰ جفت باز در شکل (۴-۱۵) مشاهده می‌شود که گویای حضور پلاسمید نو ترکیب pKS در باکتری *E. coli* می‌باشد.



شکل ۴-۱۵ نتایج کلونی PCR با پرایمرهای اختصاصی و پرایمرهای داخلی *Δ15de* و *Napin*، چاهک‌های شماره ۲۰۵ باند تکثیر شده قطعه ژنی *Δ15de*، به ترتیب چاهک ۹ و ۸ کنترل مثبت، کنترل منفی و چاهک شماره ۷ نتایج PCR با پرایمر داخلی کلونی PCR: L. لدر ۳۰۰۰ جفت بازی.

۴-۷-۲ تایید سازه از طریق هضم آنزیمی توسط دو آنزیم برشی *SacI* و *HindIII*

به منظور تایید حضور و الحاق سازه ژنی *Napin+ Δ15d* درون *pKS* و قرار گیری آن در ادامه توالی ژن ناپین هضم آنزیمی با دو آنزیم برشی *HindIII* و *SacI* انجام شد. همانطور که در شکل (۴-۱۶) مشاهده می‌شود در چاهک شماره ۳ دو باند مشاهده می‌شود که نتیجه هضم آنزیمی می‌باشد. باند پایینی مربوط به قطعه *Napin+ Δ15de* ۲۱۴۵ جفت باز است که به علت تقریباً هم وزن بودن با ناقل *pKS* در نزدیکی هم قرار گرفته‌اند. در صورتی که برش صورت نگرفته باشد باند پلاسمید طول بیشتری داشته و در روی ژل آگارز بالاتر از ناقل برش خورده قرار می‌گیرد.

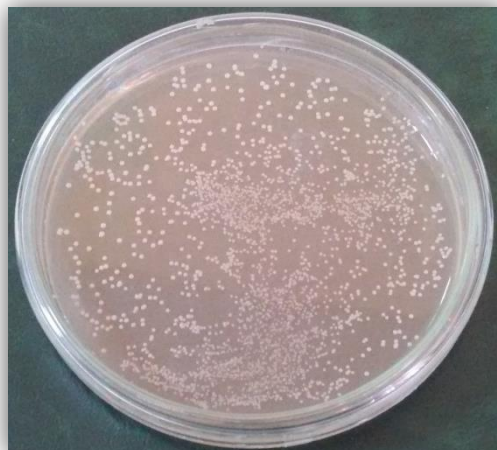


شکل ۴-۱۶ چاهک L: لدر، چاهک شماره ۱ استخراج پلاسمید غیر تراریخته، چاهک شماره ۳ استخراج پلاسمید نو ترکیب، چاهک شماره ۴ نتایج برش حاصل از هضم آنزیمی *HindIII* و *SacI* را نشان می‌دهد.

۴-۸ غربالگری کلون‌های حاوی پلاسمیدهای نو ترکیب *pBI121* در باکتری

E.coli

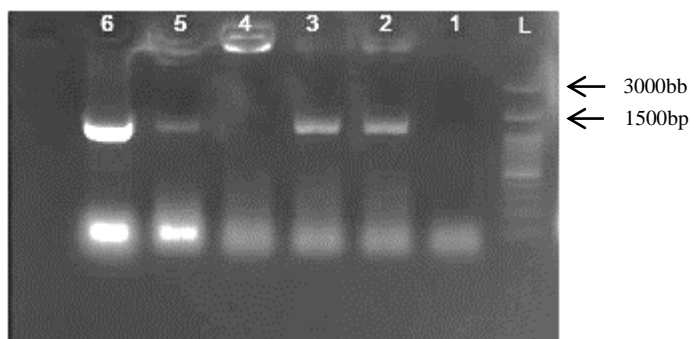
انتقال سازه به باکتری *E.coli* سویه *DH5α*، به روش شوک حرارتی صورت گرفت و پس از رشد تک کلون‌ها بر روی محیط جامد LB حاوی آنتی‌بیوتیک $50 \mu\text{g/ml}$ کانامایسین برای تایید بیشتر حضور سازه در تک کلون رشد کرده تعدادی از تک کلون‌ها برای واکنش PCR با استفاده از آغازگرهای اختصاصی و داخلی استفاده شد. باکتری‌های تراریخت شده بر روی محیط کشت LB حاوی کانامایسین (با توجه به ژن مقاومت به آنتی‌بیوتیک کانامایسین در پلاسمید *pBI121*) رشد داده شدند که شکل (۴-۱۷) تک کلون‌های تراریخت را که بر روی محیط حاوی آنتی‌بیوتیک رشد کرده‌اند را نشان می‌دهد.



شکل ۴-۱۷ رشد باکتری‌ها تراریخت بر روی محیط کشت حاوی کانامایسین

۴-۸-۱ تایید کلون‌های *E.coli* حاوی پلاسمید نو ترکیب با انجام کلونی PCR

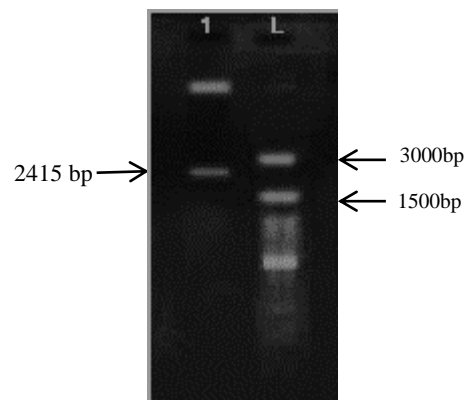
از آنجا که هر کدام از باکتری‌ها در محیط دارای دو آنتی‌بیوتیک کشت داده شدند تا حدود زیادی می‌توان به صحت کلونینگ مطمئن شد. اما برای حصول اطمینان بیشتر آزمون کلونی PCR برای قطعات کلون شده با آغازگرهای اختصاصی و داخلی انجام شد و محصولات آن نیز بر روی ژل آگارز ۱٪ الکتروفورز بررسی گردید (شکل ۴-۱۸).



شکل ۴-۱۸ نتایج کلونی PCR با پرایمرهای اختصاصی و پرایمرهای داخلی *Napin+ A15de*، چاهک‌های شماره ۲، ۳، ۵ باند تکثیر شده قطعه ژنی *A15de*، چاهک شماره ۶ نتایج PCR با پرایمر داخلی کلونی PCR، L: لدر ۳۰۰۰ جفت بازی.

۴-۸-۲ بررسی حضور سازه ژنی از طریق هضم آنزیمی با دو آنزیم *SacI* و *HindIII*

به منظور تأیید بیشتر حضور سازه ژنی *Napin+ Δ15de* را در ناقل *pBI121* هضم آنزیمی با دو آنزیم برشی *SacI* و *HindIII* انجام شد. همانطور که در شکل (۴-۱۹) نشان داده شده است؛ قطعه برش خورده به طول ۲۴۱۵ جفت باز از ناقل جدا گردید که مربوط به سازه ژنی *Napin+ Δ15de* می باشد.



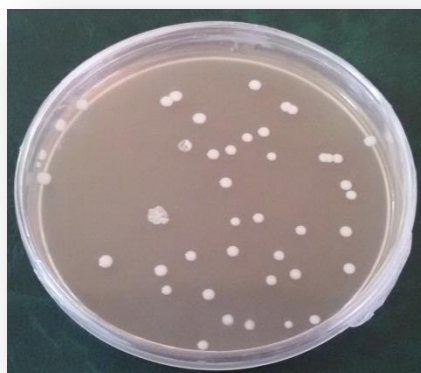
شکل ۴-۱۹ نتایج هضم آنزیمی *SacI* و *HindIII* حاصل از پلاسمید نو ترکیب *pBI121: Napin+ Δ15de*. L: لدر ۳۰۰۰bp

۴-۹ غربالگری کلون‌های حاوی پلاسمیدهای نو ترکیب *pBI121: Napin+*

Δ15de در آگروباکتریوم

انتقال سازه به باکتری آگروباکتریوم سویه LB4404، به روش انجماد و ذوب صورت گرفت و پس از رشد تک کلون‌های آگروباکتریوم به مدت ۳ روز بر روی محیط جامد LB حاوی آنتی بیوتیک ۵۰ μg/ml کانامایسین و ۵۰ μg/ml ریفامپسین برای تأیید بیشتر حضور سازه در تک کلون رشد کرده تعدادی از تک کلون‌ها برای واکنش PCR با استفاده از آغازگرهای اختصاصی و داخلی استفاده شد.

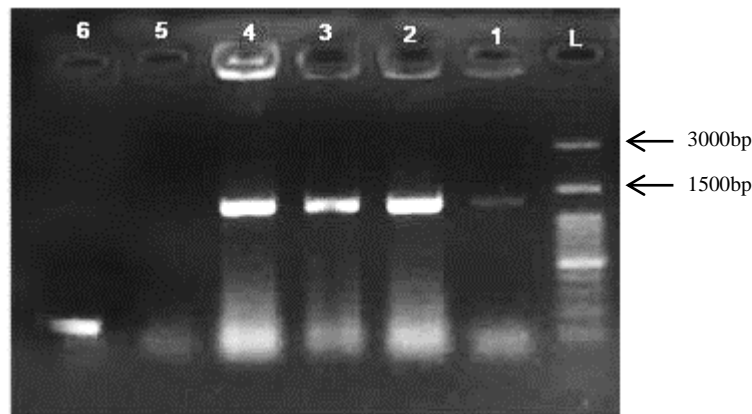
باکتری‌های تراریخت شده بر روی محیط کشت LB حاوی کانامایسین (با توجه به ژن مقاومت به آنتی‌بیوتیک در پلاسمید pBI121) رشد داده شدند که شکل (۴-۲۰) تک کلون‌های تراریخت را که بر روی محیط حاوی آنتی‌بیوتیک رشد کرده‌اند را نشان می‌دهد.



شکل ۴-۲۰، رشد آگروباکتریوم حاوی سازه *Napin+ Δ15de*: pBI 121 روی محیط انتخابی حاوی آنتی‌بیوتیک‌های کانامایسین و ریفامپیسین

۴-۹-۱ تایید کلون‌های آگروباکتریوم حاوی سازه مورد نظر با انجام کلونی PCR

به منظور تایید کلونی‌های نو ترکیب باکتری آگروباکتریوم حاوی سازه مورد نظر، برای تعدادی از کلونی‌ها PCR کلونی انجام گرفت. از پرایمرهای اختصاصی ژن *Δ15de* و پرایمرهای داخلی *Napin + Δ15de* بدین منظور استفاده گردید و محصولات آن نیز بر روی ژل آگارز ۱٪ الکتروفورز بررسی گردید که به ترتیب قطعاتی به طول ۱۲۴۶ جفت باز و ۱۲۱۰ جفت باز تکثیر گردید (شکل ۴-۲۱).



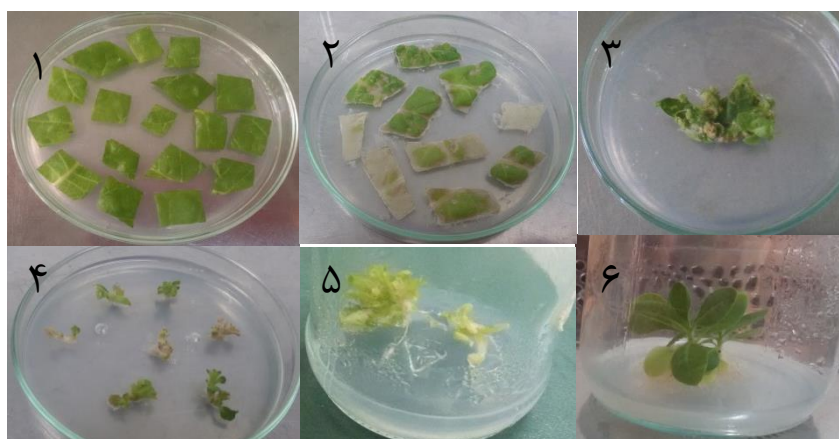
شکل ۴-۲۱ نتایج کلونی PCR با پرایمرهای اختصاصی و پرایمرهای داخلی $\Delta 15de$ و *Napin*، چاهک‌های شماره ۳ و ۲ باند تکثیر شده قطعه ژنی $\Delta 15de$ ، به ترتیب چاهک ۶ و ۵ کنترل مثبت، کنترل منفی و چاهک شماره ۴ نتایج PCR با پرایمر داخلی کلونی PCR: L. لدر ۳۰۰۰ جفت بازی.

۴-۱۰ انتقال آگروباکتریوم حاوی سازه ژنی $\Delta 15de$ + *Napin*: *pBI121* به گیاه

توتون

انتقال ژن به گیاه توتون به روش آگروباکتریوم و باززایی مستقیم ریز نمونه‌های گیاهی توسط کشت بافت در محیط انتخابی حاوی آنتی‌بیوتیک کانامایسین و سفوتاکسیم صورت گرفت. مدت زمان آلوده سازی ریزنمونه‌ها با محلول تلقیح (حاوی آگروباکتری)، اهمیت ویژه‌ای به منظور دریافت ناقل نو ترکیب توسط سلول‌های گیاهی و تراریختی آن‌ها دارد. ریزنمونه‌ها به مدت ۱۰ دقیقه در سوسپانسیون حاوی آگروباکتریوم قرار گرفتند. سپس قطعات برگ‌ها بر روی محیط هم کشتی شامل MS پایه ۰/۱ میلی گرم بر لیتر هورمون NAA و ۲ میلی گرم بر لیتر هورمون BAP منتقل شدند و به مدت دو روز در تاریکی و در دمای ۲۶ درجه سانتی‌گراد قرار گرفتند. در این آزمایش از سوسپانسیون سویه‌ی LBA4404 استفاده شد و ریز نمونه به مدت ۱۰-۵ دقیقه در ظرف حاوی باکتری قرار گرفتن و هر چند یکبار ظرف تکان داده شد. سپس روی کاغذ صافی قرار گرفتند تا میزان آلودگی بیش از حد

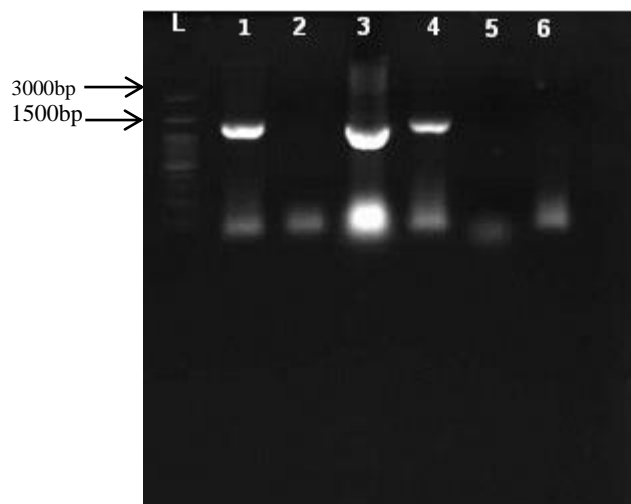
توسط باکتری، باعث از بین رفتن ریزنمونه‌ها نشود. در نهایت ریزنمونه‌ها به محیط MS حاوی ۰/۱ میلی گرم بر لیتر NAA و ۱ میلی گرم بر لیتر BAP منتقل شدند. به مدت ۴۸ ساعت در محیط تاریکی دمای ۲۴ درجه سانتی گراد قرار گرفتند. پس از گذشت این زمان ریز نمونه‌ها به محیط انتخابی حاوی هورمون‌های فوق و کانامایسین به میزان 25 mg^{-1} و 1 mgl^{-1} و 500 mgl^{-1} میلی گرم بر لیتر سفوتاکسیم منتقل شدند و به دلیل مشاهده رشد آگروباکتریوم در چند پتری دیش نمونه‌ها میزان آنتی بیوتیک سفوتاکسیم به ۵۰۰ میلی گرم بر لیتر افزایش یافت که در این غلظت آلودگی باکتریایی مشاهده نشد. هر دو هفته یکبار ریز نمونه‌ها به محیط انتخابی با ترکیبات مشابه با قبل، تنها با این تفاوت که غلظت کانامایسین به ۱۰۰ میلی گرم بر لیتر افزایش یافت، منتقل شدند. پس از اینکه ریز نمونه‌ها در اولین محیط انتخابی قرار گرفتند باززایی صورت گرفت. هر گیاهچه از بافت زیری جدا شد و به محیط جدید انتقال یافت.



شکل ۴-۲۲ به ترتیب از شکل ۱ تا ۶ مراحل برش و آلودگی گیاه توتون با آگروباکتریوم برای انتقال ژن دلتا ۱۵ دسچوراز و باززایی گیاه تراخیخت را نشان می‌دهد.

۴-۱۱ تایید DNA و cDNA بدست آمده از توتون تراریخت احتمالی

از برگ گیاه توتون تراریخت احتمالی و شاهد استخراج DNA صورت گرفت و توسط آغازگرهای اختصاصی و داخلی تکثیر صورت گرفت. همانطور که در (شکل ۴-۲۳) نشان داده شده است، چاهک شماره ۱ نتایج حاصل از PCR گیاه تراریخته احتمالی با پرایمرهای اختصاصی می باشد که قطعه‌ای به طول ۱۲۴۶ bp تکثیر شد و چاهک شماره ۲ گیاه شاهد می باشد که فاقد قطعه تکثیر شده است، که نشانگر این است ژن ما به گیاه تراریخته انتقال یافته است. چاهک شماره ۳ نتایج PCR پرایمرهای داخلی برای توالی سازه *Napin + Δ15de* است در نتیجه قطعه‌ای به طول ۱۲۱۰ bp تکثیر شده است که بیانگر انتقال درست سازه به گیاه توتون تراریخته می باشد. چاهک شماره ۶ واکنش PCR در سطح cDNA می باشد، هیچ قطعه‌ای تکثیر نشد که گویای این مطلب می باشد که پروموتور ناپین ویژه دانه بوده و در برگ فعالیت نداشته و بیان نمی شود.



شکل ۴-۲۳ نتایج PCR با پرایمرهای اختصاصی و پرایمرهای داخلی *Δ15de* و *Napin*، چاهک شماره ۱، ۴ باند تکثیر شده قطعه ژنی *Δ15de*، چاهک شماره ۲ گیاه شاهد، شماره ۴ نتایج PCR با پرایمر داخلی کلونی PCR به ترتیب چاهک ۴ و ۵ کنترل مثبت، کنترل منفی و چاهک ۶ نتایج PCR برای cDNA، L: لدر ۳۰۰۰ جفت بازی.

۴-۱۲ بحث و پیشنهادات

فعالیت آنزیم دلتا ۱۵ دسچوراز در برخی از گیاهان و میکروارگانیسم‌ها از جمله مخمر *Pichia pastoris* دیده شده است. این آنزیم اسید لینولئیک را به آلفالینولئیک اسید تبدیل می‌کند. جداسازی ژن کد کننده این آنزیم و استفاده از آن در مهندسی مسیر بیوسنتزی اسیدهای چرب می‌تواند حائز اهمیت باشد. در این پروژه، به منظور خالص‌سازی و همسانه‌سازی ژن *Δ15de* از مخمر *Pichia pastoris* سویه GS115 استخراج RNA کل و سنتز cDNA صورت پذیرفت. قطعه کد کننده ژن با استفاده از آغازگرهای طراحی شده بر اساس توالی موجود در پایگاه NCBI تکثیر گردید. قطعه تکثیر شده به طول تقریبی ۱۲۴۶bp در ناقل *pKS* حاوی سازه ژنی ناپین الحاق گردید و پلاسمید نو ترکیب به باکتری *E.coli* منتقل شد. صحت همسانه‌سازی توسط واکنش PCR و هضم آنزیمی تأیید گردید. سازه ژنی پس از انتقال به ناقل دوگانه *pBI121*، به کمک باکتری آگروباکتریوم به گیاه مدل توتون منتقل و بیان آن مورد بررسی قرار گرفت. کمبود اسیدهای چرب یکی از شایع‌ترین مشکلات تغذیه‌ای در جهان است. از آنجا که کاهش اسیدهای چرب بلند زنجیر اشباع نشده (PUFA) مزایای بسیاری در حوضه سلامت و تغذیه نشان داده است به دلیل کاهش منبع ماهی‌های دریایی و کمبود اسیدهای چرب امگا ۳ در روغن‌های گیاهی، توسعه یک منبع غذایی اصلی گیاهی غنی، حاوی اسیدهای چرب امگا ۳ از طریق اصلاح نباتات سنتی و یا روش‌های بیولوژیکی مولکولی بسیار مفید و مهم می‌باشد. دانه غلات حاوی یک سطح پایینی از آلفالینولئیک اسید است، که با توجه به سطح بیان پایین ژن *Δ15de*، عمده اسید چرب غیر اشباع موجود در این دانه‌ها لینولئیک اسید می‌باشد. در حال حاضر، منابع اصلی این اسیدهای چرب روغن ماهی و روغن‌های میکروبی هستند. بر طبق گزارشات آنها آلفالینولئیک اسید در دانه به طور عمده توسط دسچورازهای میکروزیومی سنتز می‌شود (۸۹). توصیف ویژگی‌های کارکردی ژن‌های اسیدچرب دسچوراز و پروموتور ویژه دانه، شرط لازم برای تغییر مقدار اسید چرب غیر اشباع توسط دستکاری ژنتیکی است. میزان آلفالینولئیک در روغن بسته به هدف مورد نظر می‌تواند کم یا زیاد باشد. مثلاً اگر هدف تولید روغن با پایداری زیاد باشد باید میزان آلفالینولئیک

اسید کم باشد. از سوی دیگر، محققان به دنبال دستکاری‌های ژنتیکی برای مهندسی گیاهان به منظور تولید آلفالینولنیک اسید بیشتر می‌باشند. به عنوان مثال (۸) ژن *Δ15de* را از سویا به برنج منتقل کردند و مقدار آلفالینولنیک اسید از ۲/۲٪ به تقریباً ۴۰٪ افزایش یافت. دانه‌های کتان و سویا بیش از غلات و سایر محصولات زراعی حاوی آلفالینولنیک اسید هستند، که نشانگر بیان بالای ژن *Δ15de* در این گیاهان می‌باشد (۹). همچنین ژن *Δ15de* سویا را به همراه ژن گزارشگر GUS به برنج انتقال دادند. محتوای آلفالینولنیک اسید در دانه‌های برنج تا ۳۵٪ افزایش یافت. محتوای آلفالینولنیک اسید در غذای مصرفی حاوی برنج در بزرگسالان باید بیشتر از ۸۶٪ را تشکیل دهد. این دستاورد نشان می‌دهد که امگا ۳ موجود در برنج می‌تواند کمک به کاهش مشکلات سلامتی ناشی از کمبود آلفالینولنیک اسید کند (۶۸). مشخصات اسیدهای چرب موجود در روغن‌های نباتی خوراکی نقش مهمی در خصوصیات تغذیه‌ای و کارکردی آن‌ها در صنایع غذایی دارد. ناپایداری روغن‌های حاوی مقادیر بالای اسیدهای چرب با چند پیوند دوگانه منجر به محدودیت استفاده آن‌ها در صنایع غذایی می‌شود. بهبود کارکرد روغن به قیمت کاهش کیفیت روغن و خصوصیات تغذیه‌ای آن، به دلیل ایجاد اسیدهای چرب ترانس در طی هیدروژنه جزیبی، تمام می‌شود. به کمک تغییرات هدفدار ژنتیکی می‌توان روغن‌هایی را طراحی کرد که هر دو خصوصیت تغذیه‌ای و پایداری در برابر اکسیداتیو را داشته باشند (۵۰). گزارش شده است که محتوای بالای آلفالینولنیک اسید باعث کاهش پایداری اکسیداتیو روغن می‌گردد، اما با این حال به نظر می‌رسد آلفالینولنیک اسید ذخیره شده در دانه دارای پایداری بالایی است و در دانه سویا بدون تغییر بوده و مقاوم در برابر اکسیداسیون است (۸۸). ALA پیش‌ساز ω3PUFAهای مانند EPA و DHA است (۶۰). موجب تولید EPA تا ۳٪ از کل اسیدهای چرب موجود در برگ آرابیدوپسیس تراریخت شد. (۶۸) نشان داد که امکان تولید PUFAها در کلزای تراریخته، منجر به تجمع EPA ۸٪ و DHA ۲٪ گردید. با توجه به دلایل ذکر شده، انتظار می‌رود در گیاهانی که میزان تولید آلفالینولنیک اسید در سطح بالایی می‌باشد بتوان با بیان همزمان سایر

ژن‌های دسچوراز و الانگاز قادر به تولید اسیدهای چرب غیراشباع (PUFA) در گیاهان شد (۹۵). مهندسی متابولیک دانه‌های روغنی می‌تواند یک منبع جدید و پایدار را برای PUFAها فراهم کند. به تازگی، ژن دسچورازها و الانگازهای میکروبی شناسایی و با موفقیت در دانه‌های روغنی گیاهان بیان شدند. با این حال، هنوز هم سطح تولید PUFAها به وسیله بیان این ژن‌ها در گیاهان ترانس ژنیک بسیار پایین‌تر از میزان تولید همین روغن‌ها در خود میکروارگانیسم‌ها است. اسیدهای چرب غیر اشباع نقش مهمی در حفظ غشای سلولی از طریق تنظیم سنتز کلاسترول، انتقال و تنظیم سنتز ایکوزانوئیدها ایفا می‌کند (۹۹). مطالعات اخیر نشان می‌دهد که مصرف کافی آلفالینولیک اسید در رژیم غذایی بر سلامتی انسان تاثیر گذار است (۳). آلفالینولیک اسید یک نوع امگا ۳ است که یکی از منابع غذایی اصلی روغن‌های نباتی می‌باشد. میزان آلفالینولیک اسید در گیاهان مختلف متفاوت است، مثلاً در ذرت و برنج ۰-۱٪، در سویا ۰.۸٪، در کلزا ۰.۱٪، در کتان ۰.۵۵٪ و در پیرلا ۰.۵۸٪ می‌باشد (۱۰۱، ۵۵). اطلاعات حاصل از مطالعات مولکولی و بیوشیمیایی روی بیوسنتز اسید چرب به سرعت در حال افزایش است (۲۱). مقدار آلفالینولیک اسید در گیاهان مختلف به میزان زیادی با فعالیت آنزیمی *Δ15de* همبستگی دارد (۹). این واکنش آنزیمی در غشای پلاستیدها و میکروزوم‌ها به ترتیب توسط *Δ15de* پلاستیدی و *Δ15de* میکروزومی انجام می‌شود (۸۷). گیاهان بر اساس تولید آلفالینولیک اسیدشان به منظور انجام مطالعات دقیق‌تر اساس مولکولی اسید آلفالینولیک اسید پایین و بالا، به سه گروه Low (تولید ۰ تا ۲۰ درصد آلفالینولیک اسید)، Medium (تولید ۲۰ تا ۴۰ درصد آلفالینولیک اسید) و High (تولید ۴۰ تا ۶۰ درصد آلفالینولیک اسید) تقسیم بندی شدند. مهندسی متابولیک سنتز PUFAها در دانه‌های روغنی مستلزم بیان هماهنگ از ژن‌های متعدد است. اگرچه شناخت ما از امگا ۳ دسچورازها هنوز هم ناچیز است، اما تلاش برای دستکاری و ساخت این ژن در قارچ‌ها و گیاهان روغنی هنوز وجود دارد. مخمرهای روغنی قادر به ذخیره روغن تا ۷۰٪ وزن خشک سلولی خود هستند. اما گزارشی از آن به عنوان یک منبع اصلی برای تولید PUFA وجود ندارد. به منظور مهندسی و دستکاری روغن و یا محتویات اسید چرب موجود در دانه گیاهان روغنی بهتر است

از پروموتور ویژه دانه استفاده کرد. به منظور محدود کردن تغییرات روغن و اسیدهای چرب در دانه و برای جلوگیری از تغییرات در لیپیدهای غشایی در بخش‌های دیگر گیاهان است. پروموتور اولین مرحله بیان ژن یعنی اتصال آنزیم RNA پلیمرز به DNA را تنظیم کرده و سرعت ساخته شدن mRNA را مشخص می‌کند. بنابراین مقدار پروتئین نوترکیب حاصل به مقدار زیادی به ماهیت پروموتور بستگی دارد. بیان ژن فرایند پیچیده‌ای است که به طور غیر مستقیم به خود پروموتور مربوط می‌شود. اما به هر حال بسیاری از توالی‌های اطراف پروموتور که برای القا و مهار بیان ژن مهم هستند. به منظور انتقال ژن‌های مفید به گیاهان، انتخاب پروموتور مناسب و قوی از اهمیت ویژه‌ای برخوردار است. از بین پروموتورهای موجود برای بیان ژن مطلوب در گیاهان زراعی، پروموتور CaMV35S می‌تواند بیان ژن تحت کنترل را در بافتهای مختلف (مانند برگ، شاخه، گل) و در مراحل مختلف رشدی گیاه باعث شود. یکی از مهمترین فاکتورهای محدود کننده مهندسی ژنتیک گیاهی، پایین بودن سطح بیان ژن‌های انتقال داده شده به گیاهان تراریخته است. فعالیت تنظیمی راه‌اندازها در رونویسی به طور وسیعی برای بهبود کارایی سیستم تراریخت گیاهی و رفع این مشکل مورد مطالعه قرار می‌گیرند. مهندسی ژنتیک و انتقال ژن به گیاه نیازمند وجود راه‌اندازهای اختصاصی قوی می‌باشد. در انتقال ژن جدید به گیاه، اگر راه‌انداز مورد استفاده خودی باشد ژن منتقل شده بهتر و بیشتر بیان خواهد شد (۶،۸). پروتئین‌های ذخیره‌ای دانه مانند ناپین در کلزا بخش عمده‌ای از محتوای پروتئینی دانه را تشکیل می‌دهند. این پروتئین‌ها از لحاظ فیزیولوژی وظیفه تامین مواد مغذی ضروری برای جوانه در حال رشد دانه قبل از ایجاد ظرفیت فتوسنتزی در آن را دارند. ویژگی مشترک این گروه متنوع از پروتئین‌ها محدود شدن سنتز همه آنها در دانه‌های در حال توسعه می‌باشد. پروموتور ناپین بعلاوه همولوگوس‌های 2S پروتئین آرابیدین^۱ متعلق به آرابیدوپسیس تالیانا توسط یک خانواده مولتی ژن کدگذاری می‌شوند. تنظیم سنتز فراوان و شدید پروتئین‌های ذخیره‌ای دانه باعث می‌شود که ژن‌های مربوط به آنها برای مطالعات بر روی مکانیسم‌های اختصاصی بافت و تنظیمات توسعه ژن ایدآل باشند.

¹ - Protein Rabidin 2S

چند عنصر CIS در کنترل بیان ویژه در دانه دخالت دارند. در واقع ژن پروموتورهای هر دو پروتئین ذخیره ساز در دو لپه‌ای‌ها و تک لپه‌ای‌ها در بافت‌های خاصی در توتون اصلاح شده بیان شدند. همچنین نشان داد شده است که عوامل رونویسی و حداقل تا حدی توالی اتصال‌شان بین این گروه از گیاهان حفاظت شده است. ناپین یکی از پروتئین‌های ذخیره‌ای مخصوص در رقم کلزا (*Brassica napus*(rape) است و اشکال مختلف آن در میان انواع گونه‌های Brassicaceae یافت می‌شود و همچنین در *Raphanus sativus* (radish) تربچه، (*Sinapis alba white mustard*) خردل سفید و آرابیدوپسیس تالیانا مشاهده می‌شود. ناپین توسط یک خانواده چند ژنی و چند ایزوفرم ناپین رمزگذاری می‌شود. تاکنون سه توالی از ژن‌های ناپین که شامل، NapA، pGNA و BngNAPI شناسایی شده است. نقش فیزیولوژیکی آنها در جوانه‌های در حال رشد تامین مواد غذایی ضروری را قبل از ایجاد ظرفیت فتوسنتزی در جوانه گیاه است (۲۹، ۸۶). در یک تحقیق ژن‌های دلتا ۶ دسچوراز گل‌گاوزبان و دلتا ۱۵ دسچوراز آرابیدوپسیس را در قالب یک سازه تحت کنترل پروموتور ویژه دانه در سویا بیان کردند، سویا دارای لینولئیک بالایی است، میزان تولید SDA در آن افزایش یافت. بیان *Δ15de* به تنهایی قادر به افزایش سطح آلفالینولنیک اسید در دانه حداقل از ۱۰٪ تا حداکثر ۵۳٪ می‌باشد و بیان همزمان دسچورازها منجر به افزایش سطح SDA تا اندازه ۲۵٪ می‌شود، میزان SAD بالا در دانه‌ها باعث افزایش سطح نسبی اسیدهای چرب فسفولیپید شد. همچنین ژن *Δ15de* قارچی یکی از عوامل اصلی در رسیدن به تولید موفقیت آمیز امگا ۳ در گیاهان می‌باشد. مسیر طراحی شده با استفاده از هفت ژن بیوسنتز کننده اسید چرب منجر به تجمع DHA تا ۱۵٪ در روغن بذر آرابیدوپسیس تالیانا شد، که به طور کلی میزان سطح تولیدی آن نسبت به سطح تولید آن در فرآورده‌های روغن ماهی ۱۲٪ بیشتر بود (۹۹). به تازگی، یک ارزیابی نظام‌مند وسیعی در مورد نقش سیزده ژن مختلف مربوط به دوازده ترکیب مختلف اسید چرب برای ظرفیت سنتزی ω3PUFA در آرابیدوپسیس تالیانا انجام گرفته است که نشان می‌دهد، *Δ15de* های قارچی نقش حیاتی در هدایت سنتز اسیدهای چرب به سمت تولید اسیدچرب‌های مورد نظر از جمله DHA و EPA بازی می‌کنند.

ترکیبی از فعالیت‌های بالا و سوبسترای بالای تولید شده توسط ژن‌های $\Delta 15de$ قارچی باعث می‌شود که این آنزیم‌ها به خصوص برای استفاده در گونه‌های روغنی مورد توجه قرار گیرند از این نمونه به طور گسترده به عنوان ابزاری جدید برای مطالعه مزایای اسیدهای چرب امگا-۳ و مکانیسم عمل مولکولی آن‌ها استفاده می‌شود.

برای ادامه تحقیق مورد نظر پیشنهاد می‌گردد:

(۱) انتقال سازه به گیاهان روغنی پر کاربرد مانند سویا و کلزا انجام شود. کلزا یکی از مهم‌ترین گیاهان دانه روغنی جهان به شمار می‌رود و از لحاظ تامین روغن خوراکی دارای اهمیت و مورد توجه می‌باشد.

(۲) جهت تایید تراریختی آزمون‌های تکمیلی دیگر هم چون بیان این ژن در دانه و بررسی بیان آن در گیاه ترانسفورم شده انجام شود.

(۳) ژن *Δ15desaturase* از گونه‌های دیگر نیز همسانه‌سازی و به گیاه منتقل شده و تاثیر بیان آنها در میزان محتوای اسید چرب آلفالینولنیک مورد بررسی مقایسه قرار گیرد.

منابع

فهرست منابع:

- ۱- الیاس، لیندن، (۱۹۱۴)، ترجمه آبرومند. علی (۱۳۷۸)، "بیوشیمی مواد غذایی" تهران: نشر علوم کشاورزی، فصل چهارم، صفحه ۶۵ تا ۷۴
- ۲- بهامین، ز، (۱۳۸۸)، پایان‌نامه کارشناسی ارشد، "جداسازی راه‌انداز اختصاصی بذر از گیاه آفتابگردان (*Helianthus annus L*)"، دانشگاه تبریز، چکیده
- ۳- فارسی و همکاران، (۲۰۰۹)، "استفاده از بیوتکنولوژی در اصلاح گوجه فرنگی". اولین کنگره ملی فناوری تولید و فرآوری گوجه فرنگی". صفحه ۳ تا ۷
- ۴- جواران، م. ج، مختار جلالی، قادری، قادر میرزا، شکیب، & علی محمد، (۲۰۰۴)، "بررسی پروموتور **CaMV 35S** با استفاده از ژن گزارشگر **GUS** در کلزای (*napus Brassica*) تراریخت". مجله علوم کشاورزی ایران، صفحه ۳۵
- ۵- صفری، محمد، (۱۳۸۸)، "مبانی بیوشیمی کشاورزی". تهران: انتشارات دانشگاه تهران، صفحه ۹۹ تا ۱۰۵ و ۳۴۹ تا ۳۵۹
- ۶- میر نظامی ضیابری، سید حسین، (۱۳۷۴)، "چربی‌ها و روغن‌های خوراکی"، دانشگاه تهران: انتشارات نشر مشهد، فصل دوم صفحه ۱۵ تا ۱۰
- 7- Abbadi A, Domergue F, Bauer J, Napier J, Welti R, Zähringer U, Cirpus P, Heinz E. (2004) "Biosynthesis of very-long-chain polyunsaturated fatty acids in ransgenic oilseeds: constraints on their accumulation", **The Plant Cell** 16: 2734-48.
- 8- Arondel, Vincent, et al. (1992) "Map-based cloning of a gene controlling omega-3 fatty acid desaturation in Arabidopsis", **Science** 258.5086: 1353-1355.
- 9- Anai, T., Koga, M., Tanaka, H., Kinoshita, T., Rahman, S.M., Takagi, Y.(2003) "Improvement of rice (*Oryza sativa* L.) seed oil quality through introduction of a soybean microsomal omega-3 fatty acid desaturase gene", **Plant Cell Rep**;21:988-992.
- 10- Anbu, P., D. U. Kim, E. J. Jeh, Y. S. Jeong, and B. K. Hur. (2007) "Investigation of the physiological properties and synthesis of PUFAs from *Thraustochytrids* and its electrophoretic karyotypes", **Biotechnol Bioprocess Eng** 12: 720-729
- 11- Ando A, et,al, (2009) "Establishment of *Agrobacterium tumefaciens*-mediate transformation of an oleaginous fungus, *Mortierella alpine* 1S-4, and its application for eicosapentaenoic acid producer breeding", **Appl Environ Microbiol.** 75(17):5529-5535. doi:10.1128/AEM.00648-09. [PubMed: 19581481]
- 12- Alonso, D. L., & Maroto, F. G. (2000) "Plants as 'chemical factories' for the production of polyunsaturated fatty acids", **Biotechnology advances**, 18(6), 481-497.
- 13- Beaudoin, F., Michaelson, L.V., Hey, S.J., Lewis, M.J., Shewry, P.R., Sayanova, O., and Napier, J.A. (2000) "Heterologous reconstitution in yeast of the polyunsaturated fatty acid biosynthetic pathway". **Proceedings of the National Academy of Sciences of the United States of America** 97, 6421-6426.

- 14- Blasbalg, Tanya L., et al. (2011). "Changes in consumption of omega-3 and omega-6 fatty acids in the United States during the 20th century", **The American journal of clinical nutrition** **93.5**: 950-962
- 15- Borgeson, C. E., Renobales, M., and Blomquist, G. J. (1990) "Characterization of the delta 12 desaturase in the American cockroach, *Periplaneta americana*: the nature of the substrate" **Biochim Biophys Acta**. 1047(2): 135–140.
- 16- Banilas, G., Nikiforiadis, A., Makariti, I., Moressis, A. and Hatzopoulos, P. (2007) "Discrete roles of a microsomal linoleate desaturase gene in olive identified by spatiotemporal transcriptional analysis", **Tree Physiol.** **27**: 481-490.
- 17- Brown, T. (2010) "Gene cloning and DNA analysis: an introduction", **John Wiley & Sons**.
- 18- Budziszewski, G. J., Croft, K. P., & Hildebrand, D. F. (1996) "Uses of biotechnology in modifying plant lipids", **Lipids**, *31*(6), 557-569.
- 19- Chumakov MI, Rozhok NA, Vlikov VA, Tyrnov VS, Volokhina IV. (2006) "Agrobacterium-mediated in planta transformation of maize via pistil filaments", **Russian Journal of Genetic** **42**: 893-897
- 20- Chen, R., Matsui, K., Ogawa, M., Oe, M., Ochiai, M., Kawashima, H., ... & Tanaka, Y. (2006) "Expression of $\Delta 6$, $\Delta 5$ desaturase and GLELO elongase genes from *Mortierella alpina* for production of arachidonic acid in soybean [*Glycine max* (L.) Merrill] seeds", **Plant science**, *170*(2), 399-406
- 21- Collart, M.A. and S. Oliviero (2000) "Current Protocols in Molecular Biology", 1993, Unite. 13.12.1-13.12.5 .Copyright ©by **John Wiley & Sons, Inc**.
- 22- He Y, Jones HD, Chen S, Chen XM, Wang DW, Li KX, Wang DS, Xia LQ. (2010) "Agrobacterium-mediated transformation of durum wheat (*Triticum turgidum* L. var. durum cv Stewart) with improved efficiency", **Journal of Experiment Botanic** **61**: 1567-1581.
- 23- Dijkstra, Albert J., R. J. Hamilton, and Wolf Hamm, (2008) "Fatty Acid Biosynthesis." **Trans Fatty Acids. Oxford: Blackwell Pub.** 12.
- 24- Dai , S., Zheng, P., Marmey, P., Zhang, S., Tian, W., Chen, S. and Fauquet, C. (2001) "Comparative analysis of transgenic rice plants obtained by Agrobacterium-mediated transformation and particle bombardment", **Molecular Breeding**, *7*(1), 25-33.
- 25- Damude, Howard Glenn, and Narendra S. Yadav(2012) "Delta-15 desaturase genes suitable for increasing levels of omega-3 fatty acids." **U.S. Patent Application** 13/611,554, filed September 12
- 26- Das, Undurti N. (2006) "Essential fatty acids: biochemistry, physiology and pathology", **Biotechnology journal** **1.4**: 420-439.
- 27- Domergue, F., Lerchl, J., Zahringer, U., and Heinz, E. (2002) "Cloning and functional characterization of *Phaeodactylum tricorutum* front-end desaturases involved in eicosapentaenoic acid biosynthesis", **European Journal of Biochemistry** **269**, 4105-4113.
- 28- Domergue, F., Abbadi, A., Ott, C., Zank, T.K., Zahringer, U., and Heinz, E. (2003) "Acyl carriers used as substrates by the desaturases and elongases involved in very long-chain polyunsaturated fatty acids biosynthesis reconstituted in yeast", **Journal of Biological Chemistry** **278**, 35115-35126.

- 29- Ellerström, M., Stålberg, K., Ezcurra, I., & Rask, L.(1996) "Functional dissection of a napin gene promoter: identification of promoter elements required for embryo and endosperm-specific transcription", **Plant molecular biology**, 32(6), 1019-1027.
- 30- E Ckert, H., L, Avallee , B., S Chweiger , B.J., K Inney , A.J., C Ahoon , E.B. and C Lement ,T.(2006) "Co-expression of the borage $\Delta 6$ desaturase and the Arabidops $\Delta 15$ desaturase results in high accumulation of stearidonic acid in the seeds of transgenic soybean", **Planta** **224**, 1050-1057.
- 31-Fatty Acids: "Straight-chain Saturated, Structure, Occurrence and Biosynthesis", Lipid Library – Lipid Chemistry, Biology, **Technology and Analysis**. Web. 30 Apr. 2011. http://lipidlibrary.aocs.org/lipids/fa_sat/index.htm.
- 32- Frame, B.,Shou,H., Chikwamba, R., Zhang, Z., Xiang, C., Fonger, T., Pegg, S. E., Li, B., Nettleton, D., Pei, D. and Wang, K. (2002) "Agrobacterium mediated transformation of maize embryos using a standard binary vector system", **Plant Physiol**, 129:13-22
- 33- Knutzon, D. S., Thompson, G. A., Radke, S. E., Johnson, W. B., Knauf, V. C., & -Kridl, J. C.(1992)"Modification of Brassica seed oil by antisense expression of a stearyl-acyl carrier protein desaturase gene", **Proceedings of the National Academy**
- 34- Kankaanpaa, P., Sutas, Y., Salminen, S., Lichtenstein, A., Isolauri, E.,(1999) "Dietary fatty acids and allergy", **Ann ciences**, 89(7), 2624-2628
- 35- Kang JX, Wang J, Wu L, Kang ZB.(2004) "Transgenic mice: Fat-1 mice convert n-6 to n-3 fatty acids", **Nature**. 427(6974):504-504.
- 36- Khadake, R., Khonde, V., Mhaske, V., Ranjekar, P., & Harsulkar, A. (2011) "Functional and bioinformatic characterisation of sequence variants of Fad3 gene from flax", **Journal of the Science of Food and Agriculture**, 91(14), 2689-2696.
- 37- Knutzon, D. S., Thompson, G. A., Radke, S. E., Johnson, W. B., Knauf, V. C., & Kridl, J. C. (1992) "Modification of Brassica seed oil by antisense expression of a stearyl-acyl carrier protein desaturase gene", **Proceedings of the National Academy of Sciences**, 89(7), 2624-2628
- 38- Kinney AJ, Cahoon EB, Damude HG, Hitz WD, Kolar CW, Liu ZB (2004)"Production of very long chain polyunsaturated fatty acids in oilseed plants", **International Patent Application WO** 2004/071467A2
- 39- Kainou, K., Kamisaka, Y., Kimura, K., & Uemura, H. (2006)"Isolation of $\Delta 12$ and $\omega 3$ -fatty acid desaturase genes from the yeast *Kluyveromyces lactis* and their heterologous expression to produce linoleic and α -linolenic acids in *Saccharomyces cerevisiae*", **Yeast**, **23(8)**, 605-612.
- 40- Kozak M.(1997) "Recognition of AUG and alternative initiator codons is augmented by G in position 4 but is not generally affected by the nucleotides in positions 5 and 6", **EMBO J**; 16:2482-92.
- 41- Kajikawa, M., Yamato, K. T., Kohzu, Y., Nojiri, M., Sakuradani, E., Shimizu, S., ...&Ohyama, K. (2004)" Isolation and characterization of $\Delta 6$ -desaturase, an ELO-like enzyme and $\Delta 5$ -desaturase from the liverwort *Marchantiapolyomorpha* and production of arachidonic and eicosapentaenoic acids in the methylotrophic yeast *Pichiapastoris*", **Plant molecular biology**, 54(3), 335-352.

- 42- Liu, H. L., Yin, Z. J., Xiao, L., Xu, Y. N., & Qu, L. Q. (2012) "Identification and evaluation of ω -3 fatty acid desaturase genes for hyperfortifying α -linolenic acid in transgenic rice seed", **Journal of experimental botany**, 63(8), 3279-3287
- 43- Liu, S. J., Wei, Z. M. and Huang, J. Q. (2008) "The effect of co- cultivation and selection parameters on Agrobacterium- mediated transformation of Chinese soybean varieties", **Plant Cell Rep.**, 27: 489-498
- 44- Gelvin, S. B. (2003) "Agrobacterium-mediated plant transformation: the biology behind the gene-jockeying tool", **Microbiology and molecular biology reviews**, 67(1), 16-37.
- 45- Gu, Z., Suburu, J., Chen, H., & Chen, Y. Q. (2013) "Mechanisms of omega-3 polyunsaturated fatty acids in prostate cancer prevention", **BioMed research international**
- 46- Gurr, M. I., & Harwood, J. L. (1991) "Lipid Biochemistry: An Introduction, Fourth edition", **Chapman and Hall London**.
- 47- Huang, Y.S., Chaudhary, S., Thurmond, J.M., Bobik, E.G., Yuan, L., Chan, G.M., Kirchner, S.J., Mukerji, P., and Knutzon, D.S. (1999) "Cloning of Delta 12 and Delta 6-desaturases from *Mortierella alpina* and recombinant production of gamma-linolenic acid in *Saccharomyces cerevisiae*", **Lipids** 34, 649-659.
- 48- Iba, Koh, et al. (1993) "A gene encoding a chloroplast omega-3 fatty acid desaturase complements alterations in fatty acid desaturation and chloroplast copy number of the *fad7* mutant of *Arabidopsis thaliana*", **Journal of Biological Chemistry** 268.32: 24099-24105.
- 49- Macauley-Patrick, Sue, et al. (2005) "Heterologous protein production using the *Pichia pastoris* expression system", **Yeast** 22.4: 249-270.
- 50- Marc Jakoby et al. (2002) "bZIP transcription factors in *Arabidopsis*", **TRENDS in Plant Sci.** Vol.7 No.3.
- 51- Marotoa, F. G., Jso, A., Cardenasa, G., Rodrguez, R. J., Vilches, F. M., Adamc, A. C., Polainac, J. and Alonso, D. L. (2002) "Cloning and Molecular Characterization of the delta6 desaturase from Two *Echium* Plant Species: Production of GLA by Hetrologus Expression in Yeast and Tobacco", **Lipida**, 37: 417-426
- 52- Millar, A. A., Wrischer, M. and Kunst, L. (1998) "Accumulation of very-long-chain fatty acids in membrane glycerolipids is associated with dramatic alterations in plant morphology", **Plant Cell**, 11: 1889-902
- 53- Meyer, A., Kirsch, H., Domergue, F., Abbadi, A., Sperling, P., Bauer, J., Cirpus, P., Zank, T.K., Moreau, H., Roscoe, T.J., Zahringer, U., and Heinz E. (2004) "Novel fatty acid elongases and their use for the reconstitution of docosaehaenoic acid biosynthesis", **Journal of Lipid Research** 45, 1899-1909.
- 54- Monroig, Ó., Tocher, D. R., & Navarro, J. C. (2013) "Biosynthesis of polyunsaturated fatty acids in marine invertebrates: recent advances in molecular mechanisms", **Marine drugs**, 11(10), 3998-4018.
- 55- Murata, J., Takase, H. and Hiratsuka, K. (2002) "Characterization of a novel GT-box binding protein from *Arabidopsis*", **Plant Biotech.** 19(2): 103 – 112.
- 56- Nisha, A. (2009) "Biotechnological Studies for the Production of Arachidonic Acid from *Mortierella Alpina*", **Doctoral dissertation, University of Mysore**.

- 57- Nurminen, T., and H. Suomalainen. (1971) "Occurrence of long-chain fatty acids and glycolipids in the cell-envelope fractions of baker's yeast", **Biochem. J** **125**: 963-969.
- 58- Nunber, A. N., Li, Z., Bogue, M. A., Vivekananda, J., Reddy, A. S. and Thomas, T. L. (1994) "Developmental and hormonal regulation of sunflower helianthinin genes: proximal promoter sequences confer regionalized seed expression", **Plant Cell**, 6:473- 486.
- 59- **New England Journal of Medicine February 7, 2008**; 358: e6.
- 60- Nishiuchi, T., Kodama, H., Yanagisawa, Sh. and Iba, K. (1999) "Wound-Induced Expression of the FAD7 Gene Is Mediated by Different Regulatory Domains of Its Promoter in Leaves/Stems and Roots", **Plant Physiol.** 121: 1239
- 61- Orikasa, Y., Nishida, T., Yamada, A., Yu, R., Watanabe, K., Hase, A., and Okuyama, H. (2006) "Recombinant production of docosahexaenoic acid in a polyketide biosynthesis mode in *Escherichia coli*", **Biotechnology letters**, 28(22), 1841-1847.
- 62- Oura, T., & Kajiwara, S.(2004) "Saccharomyces kluyveri FAD3 encodes an ω3 fatty acid desaturase", **Microbiology**, 150(6), 1983-1990.
- 63- Olhaft, P. M., Flagel, L. E., Donovan, C.M. and Somers, D. A. (2003) "Efficient soybean transformation using hygromycin B selection in the cotyledonary node method", **Planta**, **216**: 723-735
- 64- Pscheidt, Beate, and Anton Glieder. (2008) "Yeast cell factories for fine chemical and API production", **Microb Cell Fact** 7: 25
- 65- Park, H. (2012) "Modifying the fatty acid profile of soybean oil for nutritional and industrial applications", **Theses, Dissertations, and Student Research in Agronomy and Horticulture**. Paper 71.
- 66- Parker-Barnes, J.M., Das, T., Bobik, E., Leonard, A.E., Thurmond, J.M., Chaung, L.T., Huang Y.S., and Mukerji, P. (2000) "Identification and characterization of an enzyme involved in the elongation of n-6 and n-3 polyunsaturated fatty acids", **Proceedings of the National Academy of Sciences of the United States of America** 97, 8284-8289.
- 67- Petrie, James R., Pushkar Shrestha, Xue-Rong Zhou, Maged P. Mansour, Qing Liu, Srinivas Belide, Peter D. Nichols, and Surinder P. Singh. (2012) "Metabolic engineering plant seeds with fish oil-like levels of DHA." **e49165**.
- 68- Qi B, Fraser T, Mugford S, Dobson G, Sayanova O, Butler J, Napier J, Stobart K, Lazarus C. (2004) "Production of very long chain polyunsaturated omega-3 and omega-6 fatty acids in plants", **Nature Biotechnology** **22**: 739-45.
- 69- QIU, X., HONG, H., D ATLA, N., M ACKENZIE, S.L., T AYLOR, D.C. AND T HOMAS, T.L. (2002) "Expression of borage Δ6 desaturase in *Saccharomyces cerevisiae* and oilseed crops", **Canadian Journal of Botany** **80**, 42-49.
- 70- Janice M, Zale S, Agarwal S, Loar CM, Steber. (2009) "Evidence for stable transformation of wheat by floral dip in *Agrobacterium tumefaciens*", **Plant Cell Report** **28**: 903–913.
- 71- Jain, S. M. (2001) "Tissue culture-derived variation in crop improvement", **Euphytica**, 118(2), 153-166.

- 72- J. J. Doyle and J. L. Doyle, (1990) "Isolation of plant DNA from fresh tissue," **Focus**, vol. **12**, pp. 13-15
- 73- Riediger, N. D., Othman, R. A., Suh, M., & Moghadasian, M. H. (2009) "A systemic review of the roles of n-3 fatty acids in health and disease", **Journal of the American Dietetic Association**, *109*(4), 668-679.
- 74- Rattray, J. B., Angelo Schibeci, and Denis K. Kidby .(1975) "Lipids of yeasts" **Bacteriological reviews** **39.3**: 197
- 75- Ratledge, Colin. 2004. "Fatty acid biosynthesis in microorganisms being used for single cell oil production", **Biochimie** **86.11**: 807-815
- 76- Razzaq A, Hafize I, Mahmood I, Hussain A. (2011) "Development of in planta transformation protocol for wheat", **African Journal of Biotechnology** 740-750
- 77- Ruiz-López, N., Sayanova, O., Napier, J. A., & Haslam, R. P. (2012) "Metabolic engineering of the omega-3 long chain polyunsaturated fatty acid biosynthetic pathway into transgenic plants", **Journal of experimental botany**, *63*(7), 2397-2410.
- 78- Sperling, Petra, and Ernst Heinz. (2003) "Plant sphingolipids: structural diversity, biosynthesis, first genes and functions", **Biochimica et Biophysica Acta (BBA)-Molecular and Cell Biology of Lipids** **1632.1**: 1-15.
- 79- Sangwallek, J., Kaneko, Y., Tsukamoto, T., Marui, M., Sugiyama, M., Ono, H., and Harashima, S.(2014) "Cloning and functional analysis of HpFAD2 and HpFAD3 genes encoding Δ 12-and Δ 15-fatty acid desaturases in *Hansenula polymorpha*", **Gene**, **533**(1), 110-118
- 80- Sakuradani, E., Abe, T., Iguchi, K., & Shimizu, S. (2005) "A novel fungal ω 3-desaturase with wide substrate specificity from arachidonic acid-producing *Mortierella alpina* 1S-4", **Applied microbiology and biotechnology**, *66*(6), 648-654.
- 81- Supartana P, Shimizu T, Nogawa M, Hidenari S, Nakajima T, Haramoto N, Nozue M, Kojima M. (2006) "Development of simple and efficient in planta transformation method for wheat (*Triticum aestivum* L.) using *Agrobacterium tumefaciens*", **Bioscience and Bioengineer** *102* (2): 162-170
- 82- Supartana P, Shimizu T, Shiori H, Nogawa M, Nozue M, Kojima M. (2005) "Development of simple and efficient in planta transformation method for rice (*Oryza sativa* L.) Using *Agrobacterium tumefaciens*", **Bioscience and Bioengineer** **100**: 391-397.
- 83- Sakthivelu, G. (2009) "Genetic modification of soybean (*Glycine max* (L.) Merrill) with delta-6 desaturase gene for gamma linolenic acid production ", **Doctoral dissertation, University of Mysore**
- 84-Sohrabi, M., Zebarjadi, A., Najaphy, A., & Kahrizi, D. (2015) "Isolation and sequence analysis of napin seed specific promoter from Iranian Rapeseed (*Brassica napus* L)", **Gene**, **563**(2), 160-164.
- 85- Sayanova, Olga V., and Johnathan A. Napier (2004) "Eicosapentaenoic acid: biosynthetic routes and the potential for synthesis in transgenic plants", **Phytochemistry** **65.2**: 147-158.

- 86-Stålberg, K., Ellerström, M., Josefsson, L. G., & Rask, L. (1993) "Deletion analysis of a 2S seed storage protein promoter of Brassica napus in transgenic tobacco", **Plant molecular biology**, 23(4), 671-683.
- 87-Shanklin, J., and Cahoon, E.B., (1998) "Desaturation and related modifications of fatty acids", **Annu Rev Plant Physiol Plant Mol Biol**, 49: 611-641
- 88- Tocher, D. R., Leaver, M. J., & Hodgson, P. A. (1998) Recent advances in the biochemistry and molecular biology of fatty acyl desaturases. **Progress in lipid research**, 37(2), 73-117.
- 89- van de Loo, Frank J., and Chris Somerville. (1994) "Plasmid omega-3 fatty acid desaturase cDNA from Ricinus communis", **Plant physiology** 105.1: 443.
- 90- Vrinten, P., Hu, Z., Munchinsky, M., Rowland, G., Qiu, X. (2005) "Two FAD3 desaturase genes control the level of linolenic acid in flax seed", **Plant Physiol.**;139:7987
- 91- Venegas-Calderón, M., Sayanova, O., & Napier, J. A. (2010) "An alternative to fish oils: metabolic engineering of oil-seed crops to produce omega-3 long chain polyunsaturated fatty acids", **Progress in lipid research**, 49(2), 108-119.
- 92- Warude, D., Joshi, K., & Harsulkar, A. (2006) "Polyunsaturated fatty acids: biotechnology", **Critical reviews in biotechnology**, 26(2), 83-93.
- 93- Wada, H., Gombos, Z. and Murata, N. (1990) "Enhancement of chilling tolerance of a cyanobacterium by genetic manipulation of fatty acid desaturase", **Nature**, 347: 200-3
- 94- Wriessnegger, T., Gübitz, G., Leitner, E., Ingolic, E., Cregg, J., Bernard, J., & Daum, G. (2007) "Lipid composition of peroxisomes from the yeast Pichia pastoris grown on different carbon sources", **Biochimica et Biophysica Acta (BBA)-Molecular and Cell Biology of Lipids**, 1771(4), 455-461.
- 95- Wu, Q., Liu, H. and Zheng, G. (2009). *Unsaturated fatty acid: Metabolism, synthesis and gene regulation. Africanj. Biotech.* 8(9): 1782-1785
- 96- Wu, G.H., Truksa, M., Datla, N., Vrinten, P., Bauer, J., Zank, T., Cirpus, P., Heinz, E., and Qiu, X.(2005) "Stepwise engineering to produce high yields of very long-chain polyunsaturated fatty acids in plants", **Nature Biotechnology** 23, 1013-1017.
- 97- Yazawa, H., Iwahashi, H., Kamisaka, Y., Kimura, K., Aki, T., Ono, K., and Uemura, H. (2007) "Heterologous production of dihomogamma-linolenic acid in Saccharomyces cerevisiae", **Applied and Environmental Microbiology** 73, 6965-6971.
- 98- Yu, Ai-Qun, et al.(2012) "Knockout of fatty acid desaturase genes in Pichiapastoris GS115 and its effect on the fatty acid biosynthesis and physiological consequences", **Archives of microbiology** 194.12: 1023-1032.
- 99- Zhang, X., Li, M., Wei, D., & Xing, L. (2008) "Identification and characterization of a novel yeast ω3-fatty acid desaturase acting on long-chain n-6 fatty acid substrates from Pichia pastoris", **Yeast**, 25(1), 21-27.
- 100- Zhang, S., Sakuradani, E., Ito, K., & Shimizu, S. (2007) "Identification of a novel bifunctional Δ12/Δ15 fatty acid desaturase from a basidiomycete", **Coprinus cinereus TD# 822-2. FEBS letters**, 581(2), 315-319

101- Zinati, Z., Zamansani, F., KayvanJoo, A. H., Ebrahimi, M., Ebrahimi, M., Ebrahimie, E., & Dehcheshmeh, M. M. (2014) "New layers in understanding and predicting α -linolenic acid content in plants using amino acid characteristics of omega-3 fatty acid desaturase", **Computers in biology and medicine**, 54, 14-23.

102- Zhang, M., Barg, R., Yin, M., Gueta, D. Y., Leikin, F. A., Salts, Y., Shabtai, S. and Ben, H. G. (2005) "Modulated fatty acid desaturation via over expression of two distinct x-3 desaturases differentially alters tolerance to various abiotic stresses in transgenic tobacco cells and plants", **The Plant J.** 44:361-3

Abstract

Alpha-linolenic acid, as an important polyunsaturated fatty acid belongs to omega3 family, which is not produced in humans and, therefore, as a part of the diet should be taken into consideration to protect human health. Since The main source for this group of fatty acids is fish and because of environmental pollution, production of oilseed plants with the ability to produce high omega 3 fatty acids could provide a cheap and valuable source. The aim of this study is to clone *Δ15desaturase* gene in order to transfer oil plants to enhance the content of alpha-linolenic acid as a precursor to long-chain polyunsaturated fatty acids . In order to purification and amplification *Delta 15 desaturase* gene was reproduced, the total RNA was extracted and cDNA was synthesized from yeast *pichia pastoris* cells . *Delta 15 desaturase* gene amplification by PCR reaction with specific primers and the vector *pTZ57R / T* was cloned in *E. coli* bacteria. After selection of grown colonies on the selective medium containing the antibiotic ampicillin and cloning PCR, positive clones were selected. Digested by enzymes *XbaI* and *SacI* cutting and sequencing of cloned fragment, the existence of gene in cloning vector was confirmed. This gene construct was cloned in the recombinant vector containing *pKS* special *Napin* seed promoter was cloned. Enzymatic digestion with enzymes *HindIII* and *SacI* was performed the desired gene vector and the vector pBI121 was separated and then was cloned in *E. coli* bacteria. The grown Clones in selective medium containing the antibiotic kanamycin was selected and structural integrity *delta-15 desaturase* gene and promoter *Napin* was confirmed by performing colony PCR. The recombinant plasmid was transferred to *Agrobacterium*. After the contraction with *Agrobacterium*, for transformation of tobacco plants, the growing of explants of tobacco plants on selective medium containing different concentrations of kanamycin and cefotaxime approved their transformation. PCR with primers different transgenic tobacco plants also was confirmed in DNA level.

Keywordes: Delta15 desaturase, Alpha-linolenic acid, *Pichia pastoris*, *Napin* promoter, Fatty acid, PUFA



University Of Shahrood

Faculty of Agriculture Bastam

**Cloning of $\Delta 15$ Desaturase gene to enhance the production of Poly unsaturated fatty acid
(ALA;C18:3)**

Marzieh Hasani

Supervisor:

Dr. Shahrokh Garanjik

Advisor:

Dr.Hamid Reza samamdluiy

September 2015

